

JAIME IVÁN RODRÍGUEZ FERNÁNDEZ

**COENOSIINI NEOTROPICAIS (MUSCIDAE: DIPTERA):
TAXONOMIA, FILOGENIA E CONTRIBUIÇÃO DA
ESPECTROSCOPIA NO INFRAVERMELHO PRÓXIMO**

Tese apresentada à Coordenação do Curso de Pós-graduação em Ciências Biológicas, Área de concentração em Entomologia, da Universidade Federal do Paraná, como requisito parcial para a obtenção do Título de Doutor em Ciências Biológicas.

Orientador: Claudio José Barros de Carvalho
Co-orientador: Mauricio Oswaldo Moura

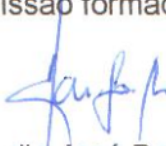
Curitiba
2008

Curitiba, 27 de fevereiro de 2008.

JAIME IVÁN RODRIGUEZ FERNÁNDEZ

“COENOSIINI NEOTROPICAIS (MUSCIDAE: DIPTERA): TAXONOMIA,
FILOGENIA E CONTRIBUIÇÃO DA ESPECTROSCOPIA NO
INFRAVERMELHO PRÓXIMO.”

Tese aprovada como requisito parcial para obtenção do grau de “Doutor em Ciências”, no Programa de Pós-graduação em Ciências Biológicas, Área de Concentração em Entomologia, da Universidade Federal do Paraná, pela Comissão formada pelos professores:


Prof. Dr. Claudio José Barros de Carvalho (Orientador)
(UFPR)


Prof. Dr. Célio Pasquini
(UNICAMP/SP)


Profa. Dra. Márcia Souto Couri
(MN/UFRJ)


Prof. Dr. José Albertino Rafael
(INPA/AM)


Prof. Dr. Mauricio Osvaldo Moura
(UNICENTRO/PR)

Dedico este trabalho esta
dedicado à memória de Gabriel
2006-2007, e Jorge 1965-2007.

**“Sueña y serás libre de espíritu,
lucha y serás libre en la vida”**

Che Guevara

AGRADECIMENTOS

Em primeiro lugar para toda minha família, mesmo de longe estão aqui.

Ao meu orientador, Dr. Claudio José Barros de Carvalho por encaminhar meu desenvolvimento acadêmico e cuidar de não me aproximar vertiginosamente aos abismos do entusiasmo.

Ao meu co-orientador Dr. Mauricio Oswaldo Moura por deixar fluir (demais) qualquer novo desafio.

Ao doutor Silvio Nihei que desde o primeiro dia que cheguei foi um grande amigo e colega de trabalho como depois o doutor Antonio Aguiar.

A Kelly Cristine.....

Especialmente agradeço a amizade de Leslie, Gregório, Juanico e Amélia, Piru, Ude e Pedro, não só nos momentos mais difíceis que passei, mas pela verdadeira amizade neste capítulo da minha vida.

A Carmen e Oswaldo, sempre de braços abertos e pelas boas salteñas.

Ao meu amigo Álvaro, um verdadeiro jilakata e toda sua família. Ao meu amigo Juan, grande músico e diretor do projeto Inti Pacha.

Ao Jaime Meruvia e os amigos dos viernes de solteros na casa do Cumpa e em geral a bolivianada de Curitiba.

Aos camaradas do Laboratório de Biodiversidade e Biogeografia de Diptera: Elaine, Peter, Mauren, Alessandre, Danilo, Jéssica (grande acroceridóloga), Cecília, Karine, Melisse e Beatriz (cientistas forenses...se preparem), Ana (como El clave bien temperado) e Lyca minha revisora e editora oficial. E desculpas pelo monopólio do computador.

Também aos amigos da sala 356 e todos os amigos e colegas do Curso de pós-Graduação em Entomologia e toda a comunidade do Departamento desde os professores sempiternos e os que não tanto, ao secretario do curso, Jorge sempre sem burocracias,

ao pessoal da biblioteca por facilitar nossas procuras, ao pessoal que chega ainda na madrugada para manter a limpeza de nosso dia a dia (como Cida e os cafezinhos quentinhos) e ao técnico Saturnino que sempre tive disposição para colaborar.

A Dra. Márcia Couri, Dra. Valeria Cid Maia e o pessoal do Museu Nacional de Rio de Janeiro pelo apoio incondicional.

SUMÁRIO

CAPÍTULO 1 - Notas de revisão sobre alguns Coenosiini Neotropicais (Diptera, Muscidae).

| | |
|------------------------------|----|
| Coenosiinae) | 1 |
| Resumo | 1 |
| Abstract..... | 2 |
| Introdução..... | 3 |
| Material e métodos | 3 |
| Resultados e discussão | 4 |
| Agradecimentos | 14 |
| Literatura citada | 15 |

CAPÍTULO 2 - Análise cladística de Coenosiini (Diptera, Muscidae): novas hipóteses

| | |
|--|----|
| sobre o relacionamento dos gêneros | 18 |
| Resumo | 18 |
| Abstract..... | 19 |
| Introdução..... | 20 |
| Material e métodos | 22 |
| Material examinado..... | 22 |
| Terminologia morfológica | 23 |
| Táxons terminais..... | 23 |
| Caracteres | 23 |
| Análise cladística | 24 |
| Resultados e discussão | 24 |
| Lista de caracteres..... | 24 |

| | |
|--|----|
| Análise cladística | 28 |
| Agradecimentos | 31 |
| Referências bibliográficas | 32 |
| CAPÍTULO 3 - Análise cladística de <i>Neodexiopsis</i> , grupo-ovata (Coenosiinae, Muscidae) | |
| | 51 |
| Resumo | 51 |
| Abstract..... | 52 |
| Introdução..... | 53 |
| Material e métodos | 55 |
| Material examinado..... | 55 |
| Terminologia morfológica | 55 |
| Táxons terminais..... | 56 |
| Caracteres | 56 |
| Análise cladística | 56 |
| Resultados e discussão | 57 |
| Lista de caracteres..... | 57 |
| Análise cladística | 58 |
| Referências bibliográficas | 61 |
| CAPITULO 4 O barcoding da vida sem DNA? Espectroscopia no infravermelho próximo e aplicações em sistemática e ecologia de Coenosiinae Neotropicais | |
| | 69 |
| Resumo | 69 |
| Abstract..... | 71 |
| Introdução | 72 |
| NIRS e taxonomia biológica | 76 |

| | |
|---|-----|
| NIRS e Entomologia..... | 76 |
| NIRS e filogenia | 77 |
| Justificativa | 78 |
| Objetivo..... | 79 |
| Objetivos específicos | 79 |
| Material e Métodos | 79 |
| Insetos | 79 |
| Instrumentação | 80 |
| Pré-processamento..... | 80 |
| Análise estatística | 80 |
| Resultados..... | 82 |
| Linhagens de Diptera | 84 |
| Muscidae/Coenosinae..... | 86 |
| Espécies de <i>Neodexiopsis</i> | 91 |
| Variabilidade geográfica..... | 96 |
| Quantificação do sinal filogenético | 97 |
| Discussão | 97 |
| Linhagens de Diptera | 98 |
| Muscidae/Coenosiinae | 98 |
| Espécies de <i>Neodexiopsis</i> | 100 |
| Variabilidade geográfica..... | 101 |
| Sinal filogenético | 102 |
| Agradecimentos. | 105 |
| Referencias bibliográficas | 105 |

LISTA DE FIGURAS

CAPITULO II

- Figura 1. Consenso estrito de 48 cladogramas com pesagem implícita 38
Figura 2. Número de espécies de Coenosiini por região Biogeográfica. 41

CAPITULO III

- Figura 1. Cladograma com pesagem implícita 66
Figura 2. Abdômen e tíbia II de *Coenosia latitibia* em vista posterior. Os mesmos padrões são observados em *Neodexiopsis sp. n.* 2. Redesenhado de Albuquerque (1957)..... 67

CAPITULO IV

- Figura 1. Espectro eletromagnético mostrando a região do infravermelho e que também corresponde as freqüências de vibração molecular. As esferas preta representam átomos de carbono e as esferas cinza representam átomos de hidrogênio (Modificado de Abrams 1992). 73

- Figura 2. Modelo quântico de vibração molecular. As esferas representam modelos de moléculas de dois átomos com distintos níveis de intensidade vibratória, quanto maior a distancia entre as moléculas, maior a vibração. A curva representa o comportamento da molécula, do lado esquerda mostra que a molécula tem um limite de compressão enquanto que do lado direito mostra que pode chegar num ponto que absorve tanta energia que o enlace é quebrado formando assim uma assintota. As linhas azuis representam os distintos níveis discretos de energia que a molécula pode absorver ou emitir. Cada um desses níveis esta relacionado com uma quantidade de energia que

| | |
|---|----|
| pode ser detectada pela NIRS, quantificada e analisada como podemos observar no diagrama da esquerda (Modificado de Abrams 1992)..... | 74 |
| Figura 3. Absorção de energia infravermelha pelos distintos modos de vibração da molécula da água. As setas azuis indicam a orientação em cada modo do movimento vibratório. Ver figura 2 para detalhes (Modificado de Abrams 1992) | 75 |
| Figura 4. Relações fenotípicas obtidas mediante NIRS entre 4 espécies de nematódeos e sua coerência com taxonomia baseada em análises filogenéticos. (modificado de Ami et al. 2004)..... | 78 |
| Figura 5. Detalhe do processo de obtenção dos espectros: a) exemplar de <i>Neodexiopsis</i> sp. b) Mesmo exemplar de <i>Neodexiopsis</i> sp. acondicionado em isopor sobre o acessório de refletância. c) Detalhe do equipamento com fibras óticas. d) Detalhe do equipamento acoplado com os computadores | 81 |
| Figura 6. Dois exemplos do perfil espectral inicial de <i>Pilispina pilitibia</i> Albuquerque, 1954 (vermelho) e <i>Mydaea plauummani</i> Snyder, 1941 (azul). Note-se a região com ruído entre 714 ate 1150 nm aproximadamente..... | 82 |
| Figura 7. Exemplos dos espectros de Odonata, Heteroptera e Diptera. O eixo x indica o cumprimento de onda em nm. Os espectros em marrom e azul claro são a mesma espécie de mosca (<i>Neodexiopsis flavipalpis</i> Albuquerque), porém de distintas localidades. O espectro cinza é uma espécie do mesmo gênero que as anteriores mais de outra espécie (<i>Neodexiopsis fulvifrontis</i>). O espectro verde é de uma mosca de um gênero diferente porem da mesma tribo (<i>Pilispina pilitibia</i> Albuquerque)..... | 83 |
| Figura 8. Diagrama da matriz inicial de espectros. Cada exemplar esta representado por uma linha colorida formada de 2113 pontos que, no eixo x, representam 2113 cumprimentos de onda distintos (em nm)..... | 84 |
| Figura 9. Relações das principais linhagens de Diptera segundo seu espetro infravermelho. O cladograma de linhas vermelhas representa as hipóteses de | |

relacionamento evolutivo em Diptera (adaptado de Yeates & Wiegmann 2005). O diagrama definido pelo PC1 e PC2 (componente principal 1 e 2 respectivamente) mostra a disposição dos exemplares segundo seu espectro infravermelho. as linhas azuis entrecortadas agrupam os distintos linhagens. Nemato=Nematocera Latreille; Vulg=*Neodexiopsis vulgaris* Couri & Albuquerque, 1979; Delia=*Delia platura* (Meigen, 1826); Phaoni=*Phaonia* sp. ; Limo=*Limnophora* sp.; Stomop=*Stomopogon* sp. *N. vulgaris*, *D. platura*, *Phaonia* sp. *Limnophora* sp. e *Stomopogon* sp. são muscoideos. Os valores entre parênteses são a contribuição de cada componente na variação total

| | |
|--|----|
| | 85 |
| Figura 10. Relação das subfamílias de ocorrência Neotropical de Muscidae segundo seu espectro infravermelho incluindo apenas Coenosiini para Coenosiinae. O dendrograma em marrom é a reconstrução da filogenia para as subfamílias de Muscidae, segundo Couri & Carvalho (2003) | 86 |
| Figura 11. Relação das subfamílias de ocorrência Neotropical de Muscidae segundo seu espectro infravermelho incluindo Coenosiini-Limnophorini para Coenosiinae. O dendrograma em marrom é a reconstrução da filogenia para as subfamílias de Muscidae, segundo Couri & Carvalho (2003). Observe-se o posicionamento de Limnophorini afastado de Coenosiini. | 87 |
| Figura 12. Relações dentro de Coenosiinae. zinça: Distintas espécies de <i>Neodexiopsis</i> ; verde: <i>Stomopogon</i> ; azul: <i>Bithoracochaeta</i> ; vermelho: Limnophorini; linha azul: <i>Bithoracochaeta</i> ; linha verde: <i>Stomopogon</i> . EMME= <i>N. emmessa</i> ; FAC= <i>N. facilis</i> ; FUL= <i>N. fulvifrontis</i> ; NEO= <i>N. neoaustralis</i> ; NIGE= <i>N. nigerrima</i> ; PARA= <i>N. paranaensis</i> ; RUS= <i>N. rustica</i> ; VULG= <i>N. vulgaris</i> ; STO= <i>Stomopogon</i> sp.; BIT= <i>Bithoracochaeta</i> sp.; LIM= <i>Limnophora</i> sp. CP1=86%; CP2=6%; CP3=2% | 89 |

| | |
|--|-----|
| Figura 13. Relações de Coenosiinae incluindo a subfamília Phaoniinae. | 90 |
| Figura 14. Discriminação de duas espécies de <i>Neodexiopsis</i> . fla= <i>N. flavipalpis</i> ; fulv= <i>N. fulvifrontis</i> | 91 |
| Figura 15. Discriminação de duas espécies de <i>Neodexiopsis</i> . nige= <i>N. nigerrima</i> ; para= <i>N. parananensis</i> | 92 |
| Figura 16. Discriminação de três espécies de <i>Neodexiopsis</i> . rust= <i>N. rustica</i> ; vulg= <i>N. vulgaris</i> ; para= <i>N. paranaensis</i> . CP1=62%; CP2=9% e CP3=5%..... | 93 |
| Figura 17. Discriminação de três espécies de <i>Neodexiopsis</i> . Fulv= <i>N. fulvifrontis</i> ; bar= <i>N. barviventris</i> ; vulg= <i>N. vulgaris</i> | 93 |
| Figura 18. Discriminação de cinco espécies de <i>Neodexiopsis</i> . vulg= <i>N. vulgaris</i> ; <i>N. nigerrima</i> ; <i>N. rustica</i> ; <i>N. neoaustralis</i> Snyder, 1957; <i>N. barviventris</i> | 94 |
| Figura 19. Diferenciação mediante NIRS de 4 populações de <i>N. flavipalpis</i> . C=Colombo; P=Ponta Grossa, F=Fênix e J=Jundiaí do Sul I..... | 96 |
| Figura 20. Representação dos distintos níveis “omicos”. Modificado de Toyoda & Wada (2004). | 104 |

LISTA DE ANEXOS

CAPITULO II

| | |
|---|----|
| Anexo I: Chave de identificação para gêneros neotropicais de Muscidae modificado de Carvalho (2002) | 39 |
| Anexo II: Lista sinonímica dos gêneros de Coenosiini..... | 43 |
| Anexo III Discussão das mudanças dos caracteres de Couri & Pont (2000). | 44 |

CAPITULO III

| | |
|---|----|
| Anexo I Mudanças na chave para espécies de <i>Noedexiopsis</i> do Brasil de Couri & Carvalho (2002). | 65 |
|---|----|

LISTA DE TABELAS

CAPITULO I

| | |
|--|----|
| Tabela 1. Principais carateres diferenciables entre <i>N. medinai</i> e <i>L. xanthogaster</i> | 8 |
| Tabela 2. Resumo histórico das mudanças taxónomicas de <i>N. medinai</i> , <i>N. cavalata</i> e <i>L. xanthogaster</i> | 9 |
| Tabela 3. Avaliação dos alguns carateres originalmente descritos por Albuquerque (1958). | 10 |

CAPITULO II

| | |
|--|----|
| Tabela 1. Matriz de dados. | 48 |
| Tabela 2. Mudanças na codificação de caracteres de Couri & Pont (2000). Indica-se o total de mudanças por caráter e por táxon (ver anexo III para detalhes) | 49 |
| Tabela 3. Codificação conflitante entre os caracteres 24, 25 e 26. 24: ia pos-sutural A: (0) presente; (1) ausente; 25: ia pos-sutural P: (0) presente; (1) ausente; 26: ia pos-sutural: (0) longa; (1) reduzida. Após a confirmação com o material tipo, o caráter 24 foi eliminado. | 50 |

CAPITULO III

| | |
|-------------------------------------|----|
| Tabela 1. Matriz de caracteres..... | 68 |
|-------------------------------------|----|

CAPITULO IV

| | |
|---|--|
| Tabela 1. Congruência em número de indivíduos e porcentagem, entre a identificação observada (última linha) e a identificação predita pela NIRS (última coluna). bar=N. | |
|---|--|

| | |
|---|-----|
| barviventris, emme=N. emmesa, fac=N. facilis, fulv=N. fulvifrontis, neo=N. neoaustralis, nige=N. nigerrima, para=N. paranaensis rus=N. rustica, vulg=N. vulgaris | 95 |
| Tabela 2. Valores de cumprimento de onda infravermelha utilizados (em nm)..... | 111 |
| Tabela 3. Reflectancia registrada para o cumprimento de onda infravermelha da tabela 2 para um individuo de <i>N. paranaensis</i> | 124 |

PREFÁCIO

O objetivo inicial deste projeto era testar a utilidade da morfometria geométrica para fornecer dados passíveis de serem usados como caracteres quantitativos em análises cladísticas. Nosso alvo inicial foi o grupo-ovata Snyder, um grupo de espécies dentro de *Neodexiopsis* Malloch (Coenosiinae, Muscidae, Diptera). Neste grupo seria feita uma análise morfométrica e depois contrastada com uma análise cladística.

Numa primeira etapa era importante conhecer com mais profundidade não só o gênero *Neodexiopsis*, mas também os gêneros filogeneticamente próximos prevendo a codificação certa dos caracteres. Nesse decorrer, foram percebidas algumas incompatibilidades entre as diagnoses de algumas espécies e os holótipos. Isso se tornou mais relevante desde que algumas dessas incompatibilidades poderiam mudar o conceito de alguns gêneros monotípicos assim como as inter-relações de gêneros próximos de *Neodexiopsis*. Assim, o primeiro capítulo apresenta as mudanças taxonômicas de algumas espécies e uma reinterpretação de alguns caracteres de interesse filogenético.

As mudanças do capítulo I foram então o subsídio para fazer uma re-leitura da filogenia da tribo Coenisiini (Couri & Pont 2000) no capítulo II com o objetivo não só de otimizar as hipótese de relacionamento dentro da tribo, mas também definir quais são as sinapomorfias que suportam *Neodexiopsis* e qual gênero é seu grupo irmão. A inclusão dessas mudanças e algumas outras sugeridas, representam uma mudança de 5% na matriz de caracteres de Couri & Pont (2000) e permitiram a resolução de algumas politomias com o aprimoramento da topologia e consequentemente, de algumas hipóteses evolutivas relacionadas.

Posteriormente foram definidos os grupos apicais utilizados para a análise cladística do grupo-ovata no capítulo III. Lamentavelmente não foi possível ter acesso a todo o material tipo mais o material foi suficiente para demonstrar que o grupo-ovata não é um grupo monofilético e foi assim, separado em três linhagens monofiléticas.

Paralelamente, durante a metade final do projeto, amadureceu a idéia de usar a espectroscopia infravermelha a partir de um primeiro artigo que utilizou esta técnica como método para estabelecer a idade cronológica na mosca comum (Perez-Mendoza et al. 2002). A recente literatura naquela época, mostrou que o caminho para usar morfometria em cladística ainda estava longe de atingir seu objetivo (MacLeod & Forey 2002) com algumas contribuições (Goloboff et al. 2006). Isto, somado com alguns imprevistos logísticos, foi acontecendo paralelamente ao paulatino interesse para explorar a utilidade da espectroscopia infravermelha.

O sucesso obtido de forma artesanal em alguns testes com o doutorando Gregório Carvajal do departamento de química da UFPR e depois com todo o suporte tecnológico fornecido pelo professor Pasquini e o doutorado Kassio Lima no laboratório de instrumentação e automatização em química analítica da UNICAMP permitiu explorar a utilidade da espectroscopia infravermelha (NIRS pela sigla em inglês) na determinação de espécies de *Neodexiopsis*, quantificando da variabilidade geográfica intraespecífica e também para testar hipóteses maiores dentro de Muscidae e Diptera, não precisando manipular diretamente a amostra, não sendo invasiva e pela rápida obtenção dos dados. Assim no capítulo IV apresenta-se os resultados do uso da NIRS propondo-se que esta técnica pode ser incluída no conceito de holomorfologia de Hennig (1968) segundo Wheeler (2008).

REFERÊNCIAS BIBLIOGRÁFICAS

- Couri, M.S. & A.C. Pont. 2000. Cladistic analysis on Coenosiini (Diptera, Muscidae, Coenosiiinae). *Systematic Entomology* 25: 373-392.
- Goloboff, P.A. 2006. Continuous characters analyzed as such. *Cladistics* 22: 589-601.
- Hennig, W. 1968. Elementos de una sistemática filogenética. Buenos Aires. Editorial Universitaria de Buenos Aires. 353 pp
- MacLeod, N. & P. Forey (eds.). 2002. Morphology, Shape and Phylogeny. Taylor and Francis, London. 308 pp.
- Perez-Mendoza, J., F.E. Dowell, A.B. Broce, J.E. Throne, R.A. Wirtz, F. Xie, J.A. Fabrick, & J.E. Baker. 2002. Chronological age-grading of house flies by using near-infrared spectroscopy. *Journal of Medical Entomology*. 39: 499-508.
- Wheeler, Q.D. 2008. Undisciplined thinking: morphology and Hennig's unfinished revolution. *Systematic Entomology*. 2008. 33: 2-7.

COENOSIINI NEOTROPICAIS (MUSCIDAE: DIPTERA): TAXONOMIA, FILOGENIA E CONTRIBUIÇÃO DA ESPECTROSCOPIA NO INFRAVERMELHO PRÓXIMO

Resumo.

Os Coenosiinae são a subfamília com maior número de espécies entre todos os Muscoidea da região neotropical. No primeiro capítulo são apresentadas as mudanças taxonômicas de algumas espécies da tribo Coenossini onde dois sinônimos, duas revalidações e uma nova combinação são propostas assim como uma reinterpretação de alguns caracteres de interesse filogenético.

As mudanças do capítulo I foram então o subsídio para fazer uma re-leitura da filogenia da tribo Coenosiini no capítulo II com o objetivo não só de aperfeiçoar as hipóteses de relacionamento dentro da tribo, mas também definir quais são as sinapomorfias que suportam *Neodexiopsis* Malloch, o gênero com mais espécies neotropicais de Coenossini, e qual gênero é seu grupo irmão. Assim, foi obtida a resolução de algumas politomias de estudos prévios com o aprimoramento da topologia e consequentemente, de algumas hipóteses evolutivas relacionadas.

Posteriormente foram definidos os grupos apicais utilizados para a análise cladística do grupo-ovata, um grupo de espécies dentro de *Neodexiopsis*, no capítulo III onde é demonstrado que o grupo-ovata não é um grupo monofilético sendo separado em duas linhagens monofiléticas.

No capítulo IV foi usada a espectroscopia no infravermelho próximo (NIRS pela abreviatura em inglês) é uma técnica não-destrutiva, rápida e que não necessita de tratamento prévio. Análises multivariadas combinadas com a técnica NIRS foram utilizadas em um conjunto de espécies de Coenosiini e outros insetos através da refletância difusa para avaliar a discriminação de espécies com distintos níveis de parentesco evolutivo, detectar sinais filogenéticos nos padrões de discriminação e detectar a variação geográfica e sexual em uma mesma espécie. Assim, O sinal filogenético parece estar presente na matriz de refletância, mas sua intensidade é variável. A variabilidade geográfica numa mesma espécie mostra-se refletida e significativamente quantificada no perfil espetrométrico. A técnica NIRS combinada com ferramentas quimiométricas através da refletância difusa de insetos mostra-se uma alternativa promissora para estudos biológicos relacionados à determinação de espécies, identificação de padrões evolutivos e detecção de variabilidade geográfica. A técnica NIRS produz uma matriz de dados espetrais e, biologicamente, a história da matriz é a história da vida.

Palavras chave: Diptera, Muscidae, Coenosiinae, Coenosiini, *Neodexiopsis*, filogenia, espectroscopia no infravermelho próximo.

CAPÍTULO I

NOTAS DE REVISÃO DE ALGUNS COENOSIINI NEOTROPICAIS (DIPTERA, MUSCIDAE, COENOSIINAE).

RESUMO

Dois sinônimos, duas revalidações e uma nova combinação são propostas para as seguintes espécies de Coenosiini neotropicais: *Pilispina differa* Couri & Carvalho, 1993 é sinônimo junior de *Pilispina pilitibia* Albuquerque 1954; *Neodexiopsis barviventris* Couri & Albuquerque 1979 é sinônimo junior de *Neodexiopsis flavipalpis* Albuquerque 1956; *Neodexiopsis medinai* Snyder, 1957 **stat. rev.**; *Pilispina xanthogaster* (Albuquerque, 1958) **stat. rev.**; *Stomopogon paula* (Couri & Pont 2000), **n. comb.** de *Pilispina* Albuquerque. O neótipo e paraneótipo são propostos para *Coenosia latitibia* Albuquerque, 1957. Alguns caracteres de importância filogenética são reavaliados em *Neodexiopsis cambuquirense* (Albuquerque, 1954), *Plumispina longipilis* Albuquerque, 1954 e *Plumispina similis* Costacurta, Carvalho & Couri 2002.

ABSTRACT

Two synonyms, two revalidations and one new combination are proposed to species of the Neotropical Coenosiini, as follows: *Pilispina differa* Couri & Carvalho, 1993 is a junior synonym of *Pilispina pilitibia* Albuquerque 1954; *Neodexiopsis barviventris* Couri & Albuquerque 1979 is a junior synonym of *Neodexiopsis flavipalpis* Albuquerque 1956; *Neodexiopsis medinai* Snyder, 1957 **stat. rev.**; *Levallonia xanthogaster* Albuquerque, 1958 **stat. rev.**; *Stomopogon paula* (Couri & Pont 2000), **n. comb.** of *Pilispina* Albuquerque. The neotype and paraneotype are proposed to *Coenosia latitibia* Albuquerque, 1957. Some characters of phylogenetic importance are re-evaluated in *Neodexiopsis cambuquirense* (Albuquerque, 1954), *Plumispina longipilis* Albuquerque, 1954 e *Plumispina similis* Costacurta, Carvalho & Couri 2002.

INTRODUÇÃO

Os Coenosiinae são a subfamília com maior riqueza de espécies entre os Muscidae catalogados na região Neotropical (Carvalho *et al.* 2005). Entre os Coenosiinae, os Coenosiini são os mais abundantes em áreas de vegetação bem preservada (Costacurta *et al.* 2003a, b). Muitos destes muscídeos são usualmente coletados sobre gramíneas ou outro tipo de vegetação de baixo porte (Snyder 1958). Também fazem parte importante dos processos de estruturação de comunidades de muscídeos neotropicais, pelo alto número de espécies e indivíduos (Rodríguez-Fernández *et al.* 2006).

Na região neotropical, a grande quantidade de espécies de Coenosiinae está inversamente correlacionada com o conhecimento de sua biologia. Por exemplo, para *Neodexiopsis*, o gênero com mais espécies não só entre os Muscidae, mas entre todos os muscóideos neotropicais, só temos duas referências relacionadas com os imaturos: Skidmore (1985) citou uma espécie de *Neodexiopsis* associada com larvas de besouros da família Scolitidae e Frank (1983) mencionou a presença de larvas de *Neodexiopsis* sp. em bromélias epífitas. Ambos os dados obtidos na América do Norte.

Depois de uma revisão de material tipo de algumas espécies de Coenosiinae neotropicais depositadas no Museu Nacional do Rio de Janeiro, são propostos alguns sinônimos e novas combinações e revalidações de algumas espécies. Também são propostos o neótido e paraneótido de *Coenosia latitibia* Albuquerque, 1957. Inclui-se também uma discussão de alguns caracteres de importância filogenética.

MATERIAL E MÉTODOS

As abreviações das instituições são as seguintes: Coleção de Entomologia Pe. J. S. Moure, Departamento de Zoologia da Universidade Federal do Paraná, Curitiba, Brasil

(DZUP); Museu Nacional, Rio de Janeiro, Brasil (MNRJ); Smithsonian Institution, United States National Museum Washington D.C., U.S.A. (USNM).

A terminologia morfológica foi baseada em McAlpine (1981) e Huckett & Vockeroth (1987) com algumas exceções indicadas em Carvalho (1989). As seguintes abreviações são utilizadas: DC, dorsocentral; P, posterior; D, dorsal; A, anterior; V, ventral; PD, pôsterior-dorsal; AV, ântero-ventral.

RESULTADOS E DISCUSSÃO

Pilispina pilitibia Albuquerque, 1954

Pilispina pilitibia Albuquerque, 1954b:180, figs. 10–18. Pont 1972:37 (cat.); Carvalho et al. 1993:132 (cat.); Lopes et al. 1997:21 (notas sobre tipos); Couri 2000:3 (chave), 6 (diagnose); Couri & Pont 2000:391 (listado); Couri & Carvalho 2002:240–241 (Região Neotropical, chave). Carvalho et al. 2005: 204 (Região Neotropical, catálogo).

Parvomusca differa Couri & Carvalho, 1993:732, figs. 7–12; Carvalho et al., 1993: 110 (catalogo). **SYN. N.**

Pilispina differa Couri & Pont 1999:99 (chave, sinônimo de *Pilispina*); Couri 2000: 3 (chave), 4 (diagnose), fig. 2 (genitália do macho); Couri & Pont 2000:391 (listado); Couri & Carvalho 2002:241 (Região Neotropical, chave). Carvalho et al. 2005: 205 (Região Neotropical, catálogo).

Comentários: O holótipo de *P. pilitibia* é um espécime assimétrico com uma e duas cerdas DC pré-suturais nos lados esquerdo e direito, respectivamente. As cerdas DC pós-suturais são três em ambos lados. O exame dos exemplares coletados na mesma

região do holótipo mostra 1+3 cerdas DC em todos os indivíduos e assume-se 1+3 como o padrão de quetotaxia das cerdas DC para a espécie.

Parvomusca differa foi descrita provisoriamente como uma espécie do gênero *Parvomusca* Medeiros (Couri & Carvalho 1993) por similaridades da quetotaxia das pernas posteriores e foi notada sua similaridade com a espécie-tipo do gênero, *Parvomusca paula* Medeiros, 1980 (ver notas taxonômicas de *Stomopogon paula* abaixo). Couri & Carvalho (1993) também discutiram as discordâncias do posicionamento de *P. differa* no gênero *Parvomusca* quando escreveram: “mas o aspecto geral não é o mesmo, *P. differa* sp.n. foi incluída neste gênero, tentativamente, até que outros estudos clarifiquem a posição dos gêneros neotropicais de Coenosiinae”.

Quando *Parvomusca* foi sinonimizado como *Pilispina* (Couri & Pont 1999), o conceito de *Pilispina* foi baseado numa interpretação errada de Albuquerque (1954b) das cerdas DC como 2+2. Couri (2000) corrigiu parcialmente o número de cerdas DC de *P. pilitibia* como 2+3. Aqui, *Pilispina differa* é sinonimizada com *Pilispina pilitibia* pelo exame da morfologia externa e também, pelas similitudes na genitália.

Adicionalmente, foi observado que o fêmur posterior de *Pilispina pilitibia* possui três cerdas preapicais e não duas, como previamente descrito.

Material tipo examinado:

Pilispina pilitibia: holótipo macho (MNRJ) etiquetado: “Itatiaia, 2000m P.Wichart, II/[19]41”; “HOLÓTIPO [etiqueta vermelha], nº4974” [escrito manualmente por Albuquerque]; “*Pilispina pilitibia*” [escrito manualmente por Albuquerque].

Parvomusca differa: holótipo macho (DZUP), parátipos machos (DZUP, MNRJ).

Localidade tipo: Brasil, Curitiba, Paraná. Distr.–Brasil.

Distribuição. Brasil: Rio de Janeiro, Paraná.

Neodexiopsis flavipalpis Albuquerque, 1956

Neodexiopsis flavipalpis Albuquerque, 1956: 198; Pont 1972: 46 (cat.); Couri & Albuquerque 1979: 504 (descrição macho/fêmea), 515 (chave); Carvalho et al. 1993: 123 (cat.); Lopes et al. 1997: 14 (notas sobre os tipos); Couri & Carvalho 2002: 222 (chave), 261 (foto). Carvalho et al. 2005: 192 (Região Neotropical, catálogo).

Neodexiopsis barbiventris Couri & Albuquerque, 1979: 502; Carvalho et al. 1993: 121 (cat.); Lopes et al. 1997: 11 (notas sobre os tipos); Couri & Carvalho 2002: 221 (chave), fig. 121 (hábito). Carvalho et al. 2005: 204 (catálogo). **SYN. N.**

Comentários: Esta é uma espécie típica do grupo *ovata* proposto por Snyder (1958) dentro do gênero *Neodexiopsis* Malloch. Machos do grupo *ovata* são facilmente separados de outros *Neodexiopsis* por ter a área anal modificada numa extensão posterior em forma de orelha ou com uma incisão pré-basal da margem posterior adjacente à área anal. Nas fêmeas, a borda do lóbulo anal é mais angular que no resto de espécies de *Neodexiopsis* (Snyder, 1958: figs. 1–3, 13). Este grupo também tem uma pequena porção lateral posterior do terceiro tergito e da parte anterior do quarto tergito brilhantes e sem polinosidade. O abdômen em vista dorsal é curto e distintamente ovóide; em vista lateral o terceiro e quarto tergitos são conspicuamente estreitos ventralmente, enquanto que o quinto é mais alongado dorsalmente, mas é do mesmo modo estreito ventralmente (Snyder, 1958).

A modificação da asa do macho (como caracterizado no grupo *ovata*), foi omitida na descrição original de *N. flavipalpis* enquanto em *N. barbiventris*, a modificação da asa foi só desenhada mas não descrita. Também, a presença de um grupo de cerdas fortes formando um pente no quarto esternito foi omitida na descrição de *N. flavipalpis*. Este caráter autapomórfico foi ressaltado na descrição de *N. barbiventris* como está

deduzido no epíteto específico *barviventris*. Pelo exame dos espécimes tipo de ambas espécies conclui-se que eles são co-específicos.

Material tipo examinado:

Neodexiopsis flavigalpis: holótipo: macho (MNRJ) etiquetado: “Itatiaia, L. [lago] Azul, E. do Rio [Estado de Rio de Janeiro], Trav. [L. Travassos], [R.] Barth, [D.] Albuquerque, [A.R.R.] Barros col., 26/IX/[1]954; nº 4755 [escrito manualmente por Albuquerque]”; “HOLÓTIPO” [etiqueta vermelha]; “*Neodexiopsis flavigalpis*” [escrito manualmente por Albuquerque].

Neodexiopsis barviventris: holótipo: macho (MNRJ) etiquetado: “Itatiaia, L. [lago] Azul, 19-21/VII/[19]55, [D.] Albuquerque, [A.R.R.] Barros, Pearson [escrito manualmente por Albuquerque]”; “HOLÓTIPO” [etiqueta vermelha]; “*Neodexiopsis barviventris* Couri & Albuquerque, 1979” [escrito manualmente por Couri].

Distribuição. Brasil: Rio de Janeiro, Paraná.

Neodexiopsis medinai Snyder, 1957 **Stat. rev.**

Neodexiopsis medinai Snyder, 1957: 223; Pont 1972: 46 (cat.).

Levallonia medinai; Couri & Albuquerque 1979: 516; Carvalho *et al.* 1993: 120 (cat.).

Pilispina medinai, Couri & Pont 1999: 99 (chave); Couri 2000: 3 (chave), 4 (diagnose), figs. 3–4 (ovipositor); Couri & Pont 2000: 391 (listado); Couri & Carvalho 2002: 240–241 (Região Neotropical, chave). Carvalho *et al.* 2005: 204 (Região Neotropical, catálogo).

Neodexiopsis cavalata Snyder, 1957: 224; Snyder 1958: 9 (listado); Pont 1972: 45 (cat.).

Comentários: Quando Couri & Pont (2000) agruparam filogeneticamente cinco gêneros, alguns monotípicos, dentro de *Pilispina*, usaram a redução no comprimento

da cerda apical escutelar como uma sinapomorfia desse agrupamento. O comprimento da cerda apical escutelar é curta em *Levallonia* e desenvolvida em *N. medinai* (tabela 1).

O exame do material tipo de *Neodexiopsis medinai* e *Levallonia xanthogaster* claramente mostra que são duas entidades biológicas distintas, uma delas diferente da descrição original (ver notas taxonômicas de *Levallonia xanthogaster* abaixo) e a outra aparentemente do gênero *Neodexiopsis*, pelos seguintes caracteres (tabela 1).

Tabela 1. Principais caracteres diferenciáveis entre *N. medinai* e *L. xanthogaster*

| Caráter | <i>N. medinai</i> | <i>L. xanthogaster</i> |
|---|------------------------------------|-------------------------------------|
| Cerdas escutelares apicais | Um pouco menores que as subbasais | Muito mais curtas que as subbasais |
| Cumprimento genal | 0,5 vezes o comprimento do flagelo | 0,75 vezes o comprimento do flagelo |
| Número de cerdas preapicais no fêmur posterior | Três | Duas |
| Listras torácicas | Presentes | Ausentes |
| Cor das pernas, principalmente do fêmur posterior | Amarelo | Marrom |
| Número de cerdas preapicais no fêmur posterior | Três | Duas |
| Número de cerdas AD no terço médio na tibia posterior | Uma | Duas |
| Número de cerdas PD no terço médio na tibia posterior | Uma | Duas |
| Número de cerdas A medianas na tibia posterior | Uma | Nenhuma |

Assim, revalida-se o status específico de *N. medinai* Snyder, 1957 (tabela 2). Do mesmo jeito, conservamos a sinonímia de *Neodexiopsis cavalata* com *Neodexiopsis medinai*.

Tabela 2. Resumo histórico das mudanças taxonômicas de *N. medinai*, *N. cavalata* e *L. xanthogaster*

| Snyder 1957 | Albuquerque 1958 | Couri & Albuquerque 1979 | Couri & Pont 1999 | Proposta atual |
|------------------------------|--------------------------------|-----------------------------|--------------------------|--------------------------------|
| <i>Neodexiopsis medinai</i> | | <i>Levallonia medinai</i> | <i>Pilispina medinai</i> | <i>Neodexiopsis medinai</i> |
| <i>Neodexiopsis cavalata</i> | | | | <i>Levallonia xanthogaster</i> |
| | <i>Levallonia xanthogaster</i> | | | |

Material tipo examinado:

Neodexiopsis medinai macho (USNM) etiquetado: "El Yunque, P.R., March 20-22, 1954 (J. Maldonado & S. Medina)". "Holotype ♂ /*Neodexiopsis medinai*/Snyder" (etiqueta vermelha escrita manualmente)

Neodexiopsis cavalata macho (USNM) etiquetado: "El Yunque, P.R., March 20-22, 1954 (J. Maldonado & S. Medina)". "Holotype ♂ /*Neodexiopsis cavalata*/Snyder" (etiqueta vermelha escrita manualmente)

Distribuição. Porto Rico.

Levallonia xanthogaster (Albuquerque, 1958) **Stat. rev.**

Levallonia xanthogaster Albuquerque, 1958:101, Pont 1972:37 (cat.); Lopes et al. 1997:24 (notas sobre os tipos).

Levallonia medinai; Couri & Albuquerque 1979: 516; Carvalho et al. 1993: 120 (cat.).

Pilispina medinai, Couri & Pont 1999: 99 (chave); Couri 2000: 3 (chave), 4 (diagnose), figs. 3–4 (ovipositor); Couri & Pont 2000: 391 (listado); Couri & Carvalho 2002:240–241 (Região Neotropical, chave). Carvalho et al. 2005: 204 (Região Neotropical, catálogo).

Comentários: Os seguintes caracteres apresentam diferenças com a descrição original de Albuquerque (1958) (tabela 3):

Tabela 3: Avaliação de alguns caracteres de *L. xanthogaster* originalmente descritos por Albuquerque (1958).

| Caráter | Segundo Albuquerque | Segundo o material tipo |
|---|---|-------------------------------|
| Forma da região apical da antena | acuminada | Arredondada |
| Cor do fêmur posterior | Negro com a base amarela | Marrom |
| Cor da polinosidade da mancha frontal (Vita frontal) | Intensamente dourada | Cinza |
| Cor da polinosidade das placas fronto-orbitais (óbitas) | Intensamente dourada | Cinza |
| Cor da polinosidade da face (facialia) | Dourada | Cinza |
| Cor da polinosidade do epistoma (peristoma) | Dourada | Cinza |
| Cor da polinosidade da gena | Dourada | Cinza |
| Cor da polinosidade da parte posterior da cabeça | Dourada | Cinza |
| Cor da polinosidade do merom (hipopleura) | Dourada | Cinza |
| Cor da polinosidade do catepisterno (esternopleura) | Dourada | Cinza |
| Cor da polinosidade do anepímero (pteropleura) | Cinzenta com polinosidade dourada com partes de intensidade dourada maior | Cinza |
| Cor da polinosidade parafacial | Cinzenta com a metade posterior intensamente polinosa dourada | Cinza |
| Cor da polinosidade do tórax | Castanha dourada | Cinza |
| Cor da polinosidade do anepisterno (mesopleura) | Cinzenta com polinosidade dourada com partes de intensidade dourada maior | Cinza |
| Tegumento | Escuro com polinosidade dourada | Escuro com polinosidade cinza |
| Listras do tórax | Esboço de três listras escuras coincidindo com as cerdas DC e os cílios acrosticais | Ausentes |

A quetotaxia na cabeça de *L. xanthogaster* é muito rara entre os Coenosiiini Neotropicais, mas parece similar com a quetotaxia de alguns outros gêneros não neotropicais de Coenosiiini como *Orchisia Rondani* e *Pygophora Schiner* notado por Albuquerque (1958) (ver também discussão do caráter).

Material tipo examinado:

Levallonia xanthogaster macho (MNRJ) etiquetado: "Petrópolis; Estado do Rio, Le Vallon, Alt. Mosella, Albuquerque, 1/II-8/III/[19]57"; "HOLÓTIPO [etiqueta vermelha], nº 5360" [escrito manualmente por Albuquerque]; "*Levallonia xanthogaster*" [escrito manualmente por Albuquerque].

Distribuição. Brasil: Rio de Janeiro.

Stomopogon paula (Medeiros, 1980), **COMB. N.**

Parvomusca paula Medeiros, 1980:29, fig. 1; Couri & Carvalho 1993:731 (notas), figs. 1 (cabeça), 2 (probóscide), 3 (tíbia posterior), 4–5 (ovipositor), 6 (espermateca); Carvalho *et al.* 1993:131 (cat.).

Pilispina paula Couri & Pont, 1999:99 (chave, sinônimo de *Pilispina*); Couri 2000c:3 (chave), 5 (diagnose); Couri & Pont 2000:391 (listado); Couri & Carvalho 2002:241 (Região Neotropical, chave). Carvalho *et al.* 2005: 205 (Região Neotropical, catálogo).

Comentários: A cerda apical escutelar de *Stomopogon paula* é forte. A descrição original de *Parvomusca paula* descreve a cerda apical escutelar como forte, mas a descrição da segunda espécie do gênero, *Parvomusca diffusa* (veja anteriormente), com cerdas escutelares apicais fortes, causou confusão na interpretação deste caráter. Uma cerda apical escutelar curta foi uma sinapomorfia para sustentar a inclusão de *Parvomusca* como sinônimo de *Pilispina* (Couri & Pont 2000).

O exame do material tipo de *Parvomusca paula* mostrou os mesmos caracteres diagnóstico de *Stomopogon* Malloch, 1930. Já que não foi possível avaliar o material tipo de outras espécies de *Stomopogon*, esta espécie é tentativamente posicionada como *Stomopogon paula* porém um posterior exame do material tipo das espécies de *Stomopogon* definirá se esta espécie é válida ou é sinônima de alguma outra espécie de *Stomopogon*.

Material tipo examinado: fêmea (MNRJ) etiquetada: “S. Bocaina 2100m Morro Boa Vista SP, maio de 1951, Dalcy & Machado col.”.

Localidade-tipo: Brasil, São Paulo.

Coenosia latitibia Albuquerque, 1957

Coenosia latitibia Albuquerque, 1957: 362. Pont 1972: 42 (cat.); Carvalho *et al.* 1993: 115 (cat.); Lopes *et al.* 1997: 16 (todos os espécimes tipo perdidos); Couri & Carvalho 2002: 217 (listado); Carvalho *et al.* 2005: 183 (Região Neotropical, catálogo).

Depois de examinar todo o material tipo descrito por Dalcy de Oliveira Albuquerque no MNRJ, confirmamos que o material tipo de *C. latitibia* está extraviado como citado em Lopes *et al.* (1997). Então, um neótipo e parátipos são propostos para esta espécie.

Material tipo examinado:

Neótipo: macho (DZUP) etiquetado: “BRASIL PR Antonina/Reserva Biol. Sapitundava/21. XII. 1987/Lev Ent. PROFAUPAR”; “*Plumispina* sp.n. 2/J.I.Rodríguez-Fernández/det. 2003”; etiqueta implementada “NEÓTIPO” [etiqueta vermelha].

Paraneótipos: “BRASIL PR Antonina/Reserva Biol. Sapitundava/21. IX. 1987 (1 macho, DZUP), 23. XI. 1987 (1 macho, DZUP), 07. XII. 1987 (1 macho, DZUP), 26. X. 1987 (1 macho, DZUP), 02. XI. 1987 (2 machos, DZUP), 12. X. 1987 (1 macho, DZUP), 14. XII. 1987 (1 macho, DZUP), 28. XII. 1987 (1 macho, DZUP), 07. IX. 1987 (1 macho, DZUP), 16. XI. 1987 (1 macho, MNRJ)/ Lev Ent. PROFAUPAR”; “*Plumispina* sp.n. 2/J.I.Rodríguez-Fernández/det. 2003”. Implementada em todos “PARANEÓTIPO” [etiqueta vermelha].

Distribuição. Brasil: Rio de Janeiro, Paraná.

Neodexiopsis cambuquirensis (Albuquerque, 1954)

Haroldopsis cambuquirensis Albuquerque, 1954a: 119; Snyder 1958: 2 (similaridade de caracteres); Pont 1972: 37 (cat.); Couri & Lopes 1986: fig. 7 (caliptra); Carvalho et al. 1993:119 (cat.); Lopes et al. 1997:12 (notas sobre os tipos).

Neodexiopsis cambuquirensis; Couri & Pont 1999: 99 (chave); Couri & Pont 2000:391 (listado), fig. 49 (placa cercal e surstilo); 373–392 (análise cladística); Couri & Carvalho 2002: 234 (listado); Carvalho et al. 2005: 190 (Região Neotropical, catálogo).

Comentários: Esta espécie foi descrita com duas cerdas preapicais no fêmur posterior e com a quetotaxia das cerdas DC 1+2. O exame do material tipo mostra o fêmur posterior com três cerdas preapicais e as DC como 1+3.

Material tipo examinado:

Haroldopsis cambuquirensis: macho (MNRJ) etiquetado: “Cambuquira, II/[19]41, Minas Gerais, Lopes, Gomes”; “HOLÓTIPO [etiqueta vermelha] nº 4986” [escrito manualmente por Albuquerque].

Distribuição. Brasil: Rio de Janeiro, Paraná.

Plumispina longipilis Albuquerque, 1954

Plumispina longipilis Albuquerque 1954d:177, figs. 1–9. Pont 1972:46 (cat.; nova combinação); Carvalho et al. 1993:124 (cat.); Couri & Pont 1999:99 (chave); Couri & Pont 2000:391 (listado); Couri & Carvalho 2002:242 (listado), figs. 137 (cabeça), 138 (perna posterior), 139 (placa cercal, surstilo e edeago). Couri & Carvalho 2002:241 (listado).

Comentários: esta espécie foi descrita como tendo o primeiro esternito setuloso, 2 cerdas preapicais no fêmur posterior e sem uma cerda AD supramediana na tíbia posterior. O exame do material tipo mostra que o primeiro esternito é nu, o fêmur posterior tem 3 cerdas preapicais e a tíbia posterior tem uma cerda AD supramediana.

As cerdas escutelares são fortes, mas as cerdas apicais são menores que o par subbasal.

Material tipo examinado: macho: (MNRJ) etiquetado: “Grajaú, Distrito Federal (Rio de Janeiro) Brasil; 9-XII-1940; Lopes & Machado col.”.

Distribuição. Brasil: Rio de Janeiro.

Plumispina similis Costacurta, Carvalho & Couri, 2002

Plumispina similis Costacurta, Carvalho & Couri, 2002:127, figs. 1-14.

Comentários: Esta espécie foi descrita com tendo o primeiro esternito setuloso mas é nu, segundo o exame do material tipo. As cerdas escutelares são fortes mas a cerda apical é menor que a subbasal.

Material tipo examinado:

macho (MNRJ) etiquetado: “Guarapuava-Paraná/Est. Sta. Clara/Brasil 08.ix.1986/Lev. Ent. PROFAUPAR/Malaise”; “HOLOTIPO” [etiqueta vermelha]; “*Plumispina similis* sp.n./Costacurta & Carvalho”.

Distribuição. Brasil: Paraná.

AGRADECIMENTOS

À professora Maria Souto Couri pelo cordial apoio no estudo dos Coenosiinae, à Dra. Valéria Cid do Museu Nacional de Rio de Janeiro, Nancy Orellana do Instituto Oswaldo Cruz pela hospitalidade e ajuda logística durante a visita ao Museu Nacional do Rio de Janeiro, e Lica Haseyama pela leitura do manuscrito em português e Ana Paula Marques pelas fotografias do material tipo de *Neodexiopsis* depositado no USNM.

LITERATURA CITADA

- Albuquerque, D. de O. 1954a. Sobre um gênero e uma espécie nova de Coenosiinae do Brasil (Diptera, Muscidae). Revista Brasileira de Biologia 14: 119-122.
- Albuquerque, D. de O. 1954b. Fauna do Distrito Federal. XV: Descrição de dois gêneros e quatro espécies novas de Coenosiinae (Diptera, Muscidae). Revista Brasileira de Biologia 14: 177-186.
- Albuquerque, D. de O. 1956. Duas espécies novas de "Neodexiopsis" Mall., 1920 (Diptera, Muscidae). Revista Brasileira de Biologia 16: 195-200.
- Albuquerque, D. de O. 1957. Um gênero e duas novas espécies de "Coenosiinae" do Brasil (Diptera, Muscidae). Revista Brasileira de Biologia 17: 359-365.
- Albuquerque, D. de O. 1958. Descrição de um gênero e uma espécie nova de "Coenosiinae" (Diptera, Muscidae). Revista Brasileira de Biologia 18: 101-104.
- Carvalho, C.J.B. de. 1989. Classificação de Muscidae (Diptera): uma proposta através da análise cladística. Revista Brasileira de Zoologia 6: 627-648.
- Carvalho, C.J.B. de, M.S. Couri, A.C. Pont, D. Pamplona & S.M. Lopes. 1993. Part II. Muscidae. In: Carvalho, C.J.B. de (Ed.). A catalogue of the Fanniidae and Muscidae (Diptera) of the Neotropical region. Sociedade Brasileira de Entomologia, São Paulo, 201 pp.
- Carvalho, C. J. B. de; M. S. Couri; A. C. Pont; D. M. Pamplona & S. M. Lopes. 2005. A Catalogue of the Muscidae (Diptera) of the Neotropical Region. Zootaxa 860: 1-282.
- Costacurta, N. do C.; C.J.B. de Carvalho & M.S. Couri. 2003a. A new species of Plumispina Albuquerque (Diptera: Muscidae) from Southern Brazil. Proceedings of the Entomological Society of Washington 105: 127-131.
- Costacurta, N. C., R. C. Marinoni, & C. J. B. de Carvalho. 2003b. Fauna de Muscidae (Diptera) em três localidades do Estado de Paraná, capturada com armadilha Malaise. Revista Brasileira de Entomologia 47: 389-397.

- Couri, M.S. 2000. A revision of the genus *Pilispina* Albuquerque (Diptera, Muscidae, Coenosiinae, Coenosiini). Boletim do Museu Nacional. Nova série, Zoologia 437: 1-8.
- Couri, M.S. & D. de O. Albuquerque. 1979. Estudos sobre *Neodexiopsis* Malloch, 1920 com notas nomenclaturais sobre Coenosiinae (Diptera, Muscidae). Revista Brasileira de Biologia 39: 499-517.
- Couri, M.S. & C.J.B. de Carvalho. 1993. *Parvomusca* Medeiros, 1980: redescrição do gênero e descrição de uma espécie nova (Diptera, Muscidae). Revista Brasileira de Entomologia, 37: 731-735.
- Couri, M.S. & C.J.B. de Carvalho 2002. Part II. Apical Groups. In: Carvalho, C.J.B. de (Ed.). Muscidae (Diptera) of the Neotropical Region: taxonomy. Editora Universidade Federal do Paraná, Curitiba. 262 p.
- Couri, M.S. & S.M. Lopes. 1986. Neotropical genera of Coenosiinae-Nomenclatural notes and key to identification (Diptera-Muscidae). Revista Brasileira de Biologia 45:589-595.
- Couri, M.S. & A.C. Pont. 1999. A key to the world genera of the Coenosiini (Diptera, Muscidae, Coenosiinae). Studia dipterologica 6: 93-102.
- Couri, M.S. & A.C. Pont. 2000. Cladistic analysis of Coenosiini (Diptera: Muscidae: Coenosiinae). Systematic Entomology 25: 373-392.
- Frank, J. H. 1983. Bromeliad phytotelmata and their biota, especially mosquitoes. p. 101-128, In Frank, J. H. & L. P. Lounibos (eds.). Phytotelmata: terrestrial plants as hosts for aquatic insect communities. New Jersey, Plexus, vii + 293 p.
- Huckett, H.C. & J.R. Vockeroth. 1987. Muscidae. In: McAlpine, J. F., B.V. Peterson, G.E. Shewell, H.J.Teskey, J.R. Vockeroth & D.M. Wood (Eds). Manual of Nearctic Diptera. Ottawa, Agriculture Canada, Research Branch, Monograph 28, vol. II. vi + 675-1332 p.
- Lopes, S.M., M.S. Couri, D. Pamplona & C.J.B. de Carvalho. 1997. Notes on Neotropical types of Diptera described by Albuquerque (Anthomyidae, Fanniidae, Muscidae, Piophilidae, Psilidae, Sapromyzidae, Scatophagidae e Stratiomyidae). Publicações Avulsas do Museu Nacional 69: 1-33.
- Malloch, J.R. 1930. Exotic Muscaridae (Diptera).- XXIX. Annals and Magazine of Natural History 10: 465-484.

- McAlpine, J.F. 1981. Morphology and terminology: adults, p. 9-63. In: McAlpine, J. F., B.V. Peterson, G.E. Shewell, H.J.Teskey, J.R. Vockeroth & D.M. Wood (Eds). Manual of Nearctic Diptera. Ottawa, Research Branch, Agriculture Canada, Monograph 27, vol. 1, VI+674p.
- Medeiros, K.F. 1980. *Parvomusca paula*, gen.n., sp.n. de Coenosiinae (Diptera, Muscidae). *Dusenia* 12: 29-31.
- Pont, A.C. 1972. 97. Family Muscidae. In: (N. Papavero ed.). A Catalogue of the Diptera of the Americas South of the United States. Museu de Zoologia. Universidade de São Paulo, 97, 111 pp.
- Rodríguez-Fernández, J.I., C.J.B. de Carvalho & M.O. Moura. 2006. Estrutura de assembléias de Muscidae (Diptera) no Paraná: uma análise por modelos nulos. *Revista Brasileira de Entomologia* 50: 93-100.
- Skidmore, P. 1985. The Biology of the Muscidae of the World. Lancaster, Junk Publishers, 550 p.
- Snyder, F.M. 1957. Puerto Rican *Neodexiopsis* (Diptera: Muscidae: Coenosiinae). *Journal of Agriculture of the University of Puerto Rico* 41: 207-229.
- Snyder, F.M. 1958. A review of New World *Neodexiopsis* (Diptera, Muscidae). The *ovata* group. *American Museum Novitates* 1892: 1-27.

CAPITULO II

ANÁLISE CLADÍSTICA DE COENOSIINI (DIPTERA, MUSCIDAE): NOVAS HIPÓTESES SOBRE O RELACIONAMENTO DOS GÊNEROS

RESUMO

É apresentada uma re-análise da tribo Coenosiini a partir de mudanças taxonômicas em vários gêneros neotropicais, alguns deles monotípicos ou com caracteres autapomórficos. A monofilia de Coenosiini é confirmada pela posição das cerdas catepisternais formando um triângulo equilátero. Os três grupos propostos por Willi Hennig para Coenosiini foram definidos filogeneticamente: o grupo-*Lispocephala* Hennig, o grupo-*Coenosia* Hennig e o grupo-*Pseudocoenosia* Hennig (parafilético). Três gêneros: *Cholomyioides* Albuquerque, *Noelia* Albuquerque e *Pectiniseta* Stein são propostos para ser revalidados. *Oxytonocera* é transferido ao grupo-*Pseudocoenosia*. Entre os grupos neotropicais observa-se 3 padrões biogeográficos: gêneros estritamente austrais no grupo-*Pseudocoenosia* e no grupo-*Coenosia*, gêneros de distribuição majoritariamente ao sul da América do Sul relacionados com dois gêneros afrotropicais, e gêneros de ampla distribuição.

ABSTRACT

Is presented a re-analysis of the tribe Coenosiini from taxonomic changes in various neotropical genera, some monotípics or with autapomorphics characters. The monophyly of Coenosiini is confirmed by the position of catepisternals setae forming an equilateral triangle. The three groups proposed by Willi Hennig for Coenosiini were defined phylogenetic: the group-*Lispocephala* Hennig, the group-*Coenosia* Hennig and the group-*Pseudocoenosia* Hennig (paraphyletic). three genera: *Cholomyioides* Albuquerque, *Noelia* Albuquerque and *Pectiniseta* Stein are proposed to be revalidated. *Oxytonocera* is transferred to the group-*Pseudocoenosia*. Among the neotropical groups is observed 3 biogeographical patterns: genera strictly Southern in the group-*Pseudocoenosia* and in the group-*Coenosia*, genera with distribution mostly to the South of South America related with two afrotropical genera, and genera of wide distribution.

INTRODUÇÃO

Muscidae é uma família distribuída em todo o mundo com aproximadamente 4000 espécies descritas (Carvalho *et al.* 1993). A filogenia da família foi estudada por Hennig (1965), Skidmore (1985), Carvalho (1989) e Schuehli *et al.* (2007).

A subfamília Coenosiinae tem a maior riqueza de espécies entre os Muscidae catalogados na região Neotropical (Carvalho *et al.* 2005). Entre os Coenosiinae, os Coenosiini podem ser os mais abundantes em número de indivíduos em áreas de vegetação com distintos graus de preservação (Costacurta *et al.* 2003).

Dentro de Muscidae, a subfamília Coenosiinae, está constituída de duas tribos: Limnophorini e Coenosiini. Verral (1891) definiu gêneros próximos de *Coenosia* por ter as cerdas DC 1+3, veias anais curtas, olhos separados e abdômen cilíndrico. Schnabl & Dziedzicki (1911) adicionaram o arranjo das três cerdas catapisternais (esternopleurais) eqüidistantes entre si, o fulcro para trás em direção ao pênis (hipândrio) e a fusão completa da placa cercal masculina. Malloch (1917) notou a ausência de cerdas cruzadas na vita frontal e deu a primeira chave para as subfamílias. Posteriormente Malloch (1934) adicionou a presença da cerda proepimeral orientada para baixo. Coenosiinae, definido assim, e seus gêneros constituintes, permaneceram virtualmente sem mudanças desde então. Embora Malloch (1934) transferisse os gêneros com dois pares de cerdas orbitais reclinadas (*Lispocephala* de Pokorny, etc.) a Phaoniinae, Emden (1940) reconstitui os Coenosiinae com base em outros caracteres. *Atherigona Rondani* foi transferido a Phaoniinae por Hennig (1965). Hennig (1955-64, 1965, 1973) fez a maior contribuição à classificação de Muscidae e a compreensão da evolução de caracteres do adulto e discutiu os inter-relacionamentos dos subgrupos de Muscidae em algum detalhe. Foi também o primeiro a reconhecer o relacionamento próximo entre Mydaeinae, Limnophorini e Coenosiini, e dar o status de tribo para Coenosiini. Hennig (1965) definiu três subgrupos dentro de Coenosiinae (Atualmente Coenosiini): o grupo-*Coenosia*, o grupo-*Lispocephala* e o grupo-*Pseudocoenosia*.

O grupo-*Coenosia* tinha somente uma cerda orbital reclinada, o ovipositor da fêmea alongado e, correlacionado com este, a modificação dos tergitos em placas emparelhadas delgadas. Neste grupo incluiu *Coenosia* e grupos próximos.

O grupo-*Lispocephala* tem diversos caracteres com estados plesiomórficos quando comparado com os tergitos do grupo-*Coenosia* e algumas sinapomorfias incluindo o epiprocto do ovipositor da fêmea ausente, os segmentos 7 e 8 do ovipositor feminino fundidos, os gonópodos (pregonitos) da terminália masculina reduzidos e a terminalia modificada, entre outras características. Sete gêneros foram incluídos neste grupo: *Lispocephala* Pokorny, *Pygophora* Schiner, *Orchisia* Rondani, *Spanochaeta* Stein, *Amicitia* Emden, *Brevicosta* Malloch e *Pectiniseta* Stein.

Finalmente, o grupo-*Pseudocoenosia*, que Hennig considerou parafilético, apresentava distribuição na região Holártica e agrupava os gêneros mais primitivos de Coenosiini: *Pseudocoenosia* Stein, *Aphanoneura* Stein, *Pentacricia* Stein, *Phyllogaster* Stein e *Limnospila* Schnabl. Entretanto, por falta do material, Hennig foi incapaz de decidir se os numerosos gêneros descritos da região Neotropical estavam próximos de *Coenosia* ou tinham seu grupo(s) irmãos em outra região. Lobanov (1984), trabalhando com a fauna Paleártica, reconheceu Coenosiinae como o grupo irmão de Limnophorinae, com as tribos Lispocephalini, Pseudocoenosiini e Coenosiini, e caracterizou-os morfologicamente e ecologicamente como um grupo que habita áreas litorâneas e pântanos. Em uma análise cladística preliminar de Muscidae, Carvalho (1989) confirmou a monofilia de Coenosiini baseado em caracteres de *Bithoracochaeta* Stein e *Neodexiopsis* Malloch e incluiu a presença de microtríquias nos esternitos 6 e 7 do ovipositor, o arranjo das cerdas do categisterno na forma de um triângulo equilátero e o haustelo parcialmente esclerotizado na probóscide. Assim, a monofilia de Coenosiinae era suportada por uma sinapomorfia, a ausência da cerda pré-alar. Caracteres adicionais incluíam a probóscide adaptada para a predação, com os dentes prestomais robustos e o premento lustroso; tíbia posterior sem calcar; fêmur médio com uma cerda pré-apical na superfície anterior; anepímero nu; um número

impar de listras escuras no escuto (três ou cinco) e manchas castanhas simétricas nos tergitos abdominais. Os caracteres que suportavam a monofilia de Coenosiini incluem o número e o arranjo das cerdas catepisternais formando um triângulo eqüilátero imaginário, a fronte dicóptica no macho, a presença de um par de cerdas orbitais reclinadas em ambos sexos (no plano basal), a presença de uma cerda AD na tibia posterior e o hipândrio alongado como um tubo. Couri & Pont (2000) confirmaram a monofilia de Coenosiini baseados na posição das três cerdas catepisternais eqüidistantes entre elas e formando os pontos de um triângulo equilátero (ver também Couri & Carvalho 2003). Schuehli et al. (2007) utilizando dados de biologia molecular estabeleceram que Phaoniinae fosse o grupo irmão de Coenosiini.

Ate o trabalho de Couri & Pont (2000), Coenosiini continha 73 nomes de gêneros reconhecidos e 29 válidos (Huckett 1965; Pont, 1972, 1977, 1980, 1986, 1989; Carvalho et al. 1993, 2005). Neste trabalho a distribuição geográfica e o número de espécies para a região são baseados em catálogos regionais publicados (Huckett 1965; Pont, 1972, 1977, 1980, 1986, 1989; Carvalho et al. 1993, 2005). Os números das espécies foram atualizados onde necessário. A finalidade principal do presente estudo é atualizar a classificação da tribo Coenosiini baseada na análise cladística e esclarecer os relacionamentos dos seus gêneros.

MATERIAL E MÉTODOS

Material examinado

O material examinado pertence as seguintes instituições (com seus respectivos acrônimos):

MNRJ - Museu Nacional do Rio de Janeiro, Brasil.

USNM - National Museum of Natural History, Washington, DC, EUA.

DZUP - Departamento de Zoologia, Universidade Federal do Paraná, Curitiba, Brasil.

INPA – Instituto Nacional de Pesquisas da Amazônia.

AMNH – American Museum of Natural History

CBF – Coleção Boliviana de Fauna

Terminologia morfológica

Para a morfologia de adultos, a terminologia empregada segue basicamente a utilizada por McAlpine (1981) e Huckett & Vockeroth (1987) com algumas exceções segundo Carvalho (1989). As seguintes abreviações são utilizadas: DC, dorsocentral; P, posterior; D, dorsal; A, anterior; V, ventral; PD, postero-dorsal; AV, antero-ventral.

Táxons terminais

Foram usados os mesmos táxons terminais de Couri & Pont (2000), onde foi representado cada gênero de Coenosiini (s.l.). Neste trabalho mantemos a representação de cada gênero por um táxon. Não foram incluídos os gêneros *Insulamyia* Couri e *Levallonia* (Albuquerque 1958) pois apenas é conhecido o holótipo de cada um e é uma fêmea.

Foram re-examinados os espécimes do material tipo da maioria dos gêneros do clado 27 da filogenia de Couri & Pont (2000). O clado 27 forma uma politomia entre vários gêneros dos quais vários são monotípicos. Quase todos os 17 gêneros envolvidos naquela politomia são endêmicos da região Neotropical.

Três espécies: *Pilispina diffra* (Couri & Carvalho, 1993), *Pilispina paula* (Medeiros, 1980) e *Pilispina medinai* (Snyder, 1957), originalmente utilizadas no trabalho de Couri & Pont (2000), não foram novamente utilizadas, pois seu status taxonômico é revisado e modificado (ver CAPITULO I). Assim, a análise foi feita com os mesmos táxons de Couri & Pont (2000) exceto *Parvomusca*.

Caracteres

Foram usados os mesmos caracteres como em Couri & Pont (2000) com algumas modificações. A reavaliação dos caracteres foi feita segundo a observação direta do

material tipo e também na literatura disponível para *Drepanocnemis* (Hennig 1965). Os caracteres alterados de Couri & Pont (2000) e sua justificativa estão no anexo III.

Análise cladística

O programa PEE-WEE versão 3.0 (Goloboff, 1993a) foi usado para a procura dos cladogramas e os caracteres foram tratados com pesagem implícita com os seguintes comandos: hold10000, mult*200, gerando uma procura heurística por ‘tree bisection-reconnection branch-swapping’ e ‘random addition sequence’, com 200 replicações.

A pesagem implícita (Goloboff, 1993b) define pesos aos caracteres simultaneamente à reconstrução de cladogramas, ou seja, ela não depende de nenhuma análise anterior, diferentemente da pesagem sucessiva. Os pesos são determinados pelo ajuste dos caracteres (fit) em um determinado cladograma, não incluindo nenhum outro cladograma (como ocorre quando se utiliza a pesagem sucessiva, a qual determina os pesos para um caráter de acordo com algum índice calculado com base em todo o conjunto de cladogramas mais parcimoniosos resultante da análise inicial com pesos iguais). O valor de fit varia de acordo com o valor previamente definido para a constante de concavidade k (ver Goloboff, 1993b, 1995; Turner & Zandee, 1995).

O programa WINCLADA (Nixon, 2002) foi usado para a visualização das árvores e a edição dos caracteres. Não foi utilizado nenhum tipo de otimização de caracteres.

RESULTADOS E DISCUSSÃO

Lista de caracteres

1. Fronte do macho: (0) holóptica; (1) intermediária; (2) dicóptica (largura e cerdas como na fêmea).
2. Comprimento individual dos cílios da arista: (0) mais longos que a largura do flagelo antenal ; (1) no máximo igual a largura do flagelo antenal ; (2) no máximo igual a largura basal da arista.

3. Cílios longos na arista: (0) presentes em todo o comprimento; (1) presentes só na metade basal.
4. Inserção da antena relativa à linha média transversal da cabeça (cabeça vista de frente): (0) próximo; (1) bem acima.
5. Comprimento do flagelo antenal: (0) curto, não atingindo o epistoma; (1) longo, atingindo o epistoma ou ultrapassando ele .
6. Número de cerdas frontais: (0) mais que 4; (1) 4 ou menos.
7. Número de cerdas orbitais reclinadas na fêmea: (0) duas; (1) uma.
8. Número de cerdas orbitais reclinadas no macho: (0) duas; (1) uma.
9. Largura da fronte: (0) tão larga quanto longa; (1) muito mais larga que longa.
10. Comprimento do triângulo frontal: (0) curto, confinado na metade superior da fronte; (1) largo e longo, mais ou menos atingindo a lúnula.
11. Desenvolvimento de cerdas ocelares: (0) longas a médias; (1) curtas como cílios.
12. Largura da gena: (0) não alargada; (1) muito alargada.
13. Dentes prestomais: (0) fracamente desenvolvidos; (1) fortemente desenvolvidos.
14. Desenvolvimento do labelo: (0) bem desenvolvido; (1) reduzido.
15. Alargamento do ápice do palpo: (0) ausente; (1) presente.
16. Sétulas na placa fronto-orbital: (0) numerosas; (1) fracas.
17. Premento da probóscide: (0) pruinoso; (1) lustroso.
18. Cor do tórax e abdome: (0) acinzentado pruinoso; (1) brilhante não pruinoso.
19. Sétulas de fundo no escuto: (0) numerosas; (1) poucas, escuto quase nu.
20. Cerda proepimeral inferior: (0) curvada para cima; (1) curvada para baixo.
21. Cerda prealar: (0) presente; (1) ausente.
22. Número de cerdas pré-suturais DC: (0) duas; (1) uma.
23. Número de cerdas pós-suturais DC: (0) 3; (1) 2.
24. Seta intra-alar pós-sutural posterior: (0) presente; (1) ausente.

25. Seta intra-alar pós-sutural: (0) longa; (1) reduzida.
26. Comprimento das cerdas escutelares sub-basais e apicais: (0) igual entre si; (1) par sub-basal menor que o par apical (2) par apical menor que o par sub-basal.
27. Setas laterais do escutelo: (0) presente; (1) ausente.
28. Disco do catepisterno: (0) com muitas sétulas de fundo; (1) com poucas sétulas de fundo ou nu.
29. Posição das cerdas catepisternais: (0) não formando um triângulo equilátero; (1) três cerdas eqüidistantes formando os pontos de um triângulo equilátero.
30. Comprimento da veia anal (A1): (0) longa; (1) curta à intermediária.
31. Comprimento da caliptra inferior: (0) alongada cerca de 1.5–2.0 vezes o comprimento da caliptra superior; (1) cerca do mesmo tamanho que a superior ou pouco maior; (2) linear (transversa), muito reduzida.
32. Tíbia anterior, com cerda posterior no terço médio: (0) ausente; (1) presente.
33. Tíbia anterior, com cerda A ou AD no terço médio: (0) ausente; (1) presente.
34. Número de cerdas no terço médio da superfície posterior da tíbia média: (0) duas; (1) uma.
35. Número de cerdas pré-apicais na superfície dorsal do fêmur posterior: (0) duas; (1) três.
36. Tíbia posterior, com cerda AD supramediana: (0) uma; (1) ausente; (2) duas.
37. Tíbia posterior, com cerda media PD: (0) ausente; (1) presente.
38. Tíbia posterior, com cerda PD supramediana: (0) ausente; (1) uma; (2) duas.
39. Tíbia posterior, cerda PD preapical no quarto apical: (0) ausente; (1) presente.
40. Tíbia posterior, cerda AD preapical: (0) ausente; (1) presente.
41. Tíbia posterior, cerda PV apical: (0) ausente; (1) presente.
42. Formato do quinto esternito masculino: (0) quadrangular; (1) triangular.
43. Formato do sexto esternito masculino: (0) com o braço esquerdo e sem o braço direito; (1) com os dois braços, mas não formando um anel; (2) sem braços; (3)

ambos os braços presentes e formando um anel composto; (4) braço esquerdo completo, anel presente, o anel direito interrompido perto da articulação.

44. Sexto tergito masculino e sintergoternito 8: (0) separado; (1) parcialmente fusionado; (2) completamente fusionado.
45. Forma do quinto esternito masculino: (0) uniformemente esclerotizado; (1) com uma área mediana mais esclerotizada transversa e sem lóbulos; (2) com uma área mais esclerotizada transversa e lóbulos quase separados; (3) com lóbulos suplementares.
46. Distribuição de cerdas sobre o quinto esternito masculino: (0) sobre a superfície inteira; (1) mais concentrada sobre os lóbulos.
47. Concavidade posterior da placa cercal masculina: (0) presente; (1) ausente.
48. Placa cercal masculina: (0) totalmente desenvolvida; (1) reduzida.
49. Formato da placa cercal masculina: (0) quadrangular; (1) retangular.
50. Formato do hipândrio masculino: (0) formando uma placa, não tubular; (1) tubular curto; (2) tubular moderado a alongado.
51. Estrutura do distifalo masculino: (0) membranoso, simples; (1) complexo e com áreas esclerotizadas.
52. Desenvolvimento do apódema do edeago: (0) reduzido; (1) grandemente alargado.
53. Desenvolvimento do gonópodo masculino (pregonito): (0) totalmente desenvolvido; (1) reduzido, i.e. absorvido dentro do hipândrio.
54. Desenvolvimento do parâmetro masculino (postgonito): (0) totalmente desenvolvido; (1) grandemente alargado/alongado.
55. Comprimento do ovipositor feminino: (0) moderadamente longo; (1) curto (segmentos 7 e 8 fusionados); (2) longo; (3) extremamente curto.
56. Microtríquias sobre os esternitos femininos 6 e 7: (0) ausente; (1) presente.
57. Espículas sobre o segmento feminino 8: (0) presente; (1) ausente.

58. Formato do cerco feminino: (0) curto e redondo; (1) médio a alongado e delgado.
59. Segmento feminino 8: (0) curvo para cima; (1) reto.
60. Segmentos 6 e 7 do ovipositor feminino: (0) não fusionados; (1) fusionados.
61. Desenvolvimento do epiprocto feminino: (0) reduzido; (1) ausente; (2) bem desenvolvido.
62. Formato do hipoprocto feminino: (0) não modificado e com cerdas; (1) alongado e com espinhos.
63. Altura do hipoprocto feminino: (0) ao menos tão alto quanto largo; (1) e vezes maior que o largo.
64. Formato dos tergitos 6 e 7 da fêmea: (0) fusionados formando um esclerito largo; (1) dois escleritos largos; (2) dois escleritos delgados a intermediários.
65. Espículas na superfície das espermatecas: (0) ausentes; (1) presentes.

Análise cladística

Depois da análise cladística baseada nos caracteres utilizados (tabela I), foram obtidos 48 árvores igualmente parcimoniosas de 305 passos (Ci: 27, Ri: 64). A árvore de consenso da figura 1 (313 passos, Ci: 26, Ri: 63) confirmou a hipótese de Couri & Pont (2000) sobre a monofilia de Coenosiini baseada numa sinapomorfia: a posição das cerdas catempisternais formando um triângulo equilátero.

A primeira dicotomia divide duas linhagens: o grupo-*Lispocephala* com 11 gêneros válidos (*Pentacricia*, *Pygophora*, *Brevicosta*, *Orchisia*, *Parvisquama*, *Cephalispa*, *Spanochaeta*, *Amicitia*, e *Lispocephala*). A segunda linhagem está formada pelo grupo-*Pseudocoenosia* (parafilético), e pelo grupo-*Coenosia*, ambos com 7 e 19 gêneros respectivamente (figura 1).

O grupo-*Lispocephala* é definido por um caráter: a tibia posterior com uma cerda PV apical.

A linhagem que agrupa o grupo-*Pseudocoenosia* e o grupo-*Coenosia* é suportada por duas sinapomorfias: o epiprocto da fêmea bem desenvolvido e os tergitos 6 e 7 da fêmea formando dois escleritos delgados à intermediários.

O grupo-*Coenosia* está suportado por quatro caracteres homoplásicos: o Comprimento individual dos cílios da arista no máximo igual à largura do flagelo antenal, a presença de uma cerda presutural DC, o comprimento da veia anal curto a intermediário e a tibia posterior, sem cerda AD supramediana.

Dentro do grupo-*Pseudocoenosia* distinguimos duas linhagens, uma linhagem suportada por duas homoplasias: a gena alargada e as caliptras com o mesmo tamanho e incluindo três gêneros neotropicais estritamente austrais (*Reynoldsia*, *Apsil* e *Raymondmyia*). A segunda linhagem é suportada por uma homoplasia: mais de 4 cerdas frontais e inclui três gêneros com distribuição na região Holártica e Australasia (*Pseudocoenosia*, *Limnospila* e *Macrorchis*) e um gênero Neotropical monotípico: *Oxytonocera*.

Dentro do grupo-*Coenosia* podemos observar duas linhagens: um grupo formado por dois pequenos gêneros Afrotropicais: *Anaphalantus* e *Microcalyptra*, e quatro gêneros Neotropicais ou com distribuição principalmente ao sul da América do Sul: *Spathipheromyia*, *Notoschoenomyza*, *Schoenomyzina* e *Schoenomyza*. O segundo grupo é estritamente Neotropical com nove gêneros (*Stomopogon*, *Bithoracochaeta*, *Cholomyioides*, *Noelia*, *Cordiluroides*, *Pilispina*, *Plumispina*, *Haroldopsis* e *Neodexiopsis*). Apenas *Bithoracochaeta* e *Neodexiopsis* têm espécies na região Neártica.

Sobre os gêneros *Cholomyioides* e *Noelia*, a topologia não suporta a sinonímia destes dois gêneros com *Pilispina*. Estes dois gêneros são monotípicos mas no caso de *Cholomyioides*, foram observadas espécies não descritas na região Neotropical que correspondem com a diagnose deste gênero. Já o material tipo de *Noelia* está muito deteriorado e não podemos fazer maiores inferências, porém podemos observar a forma da cabeça que não fica muito próxima da forma dos grupos neotropicais e sim

com a forma da cabeça de alguns gêneros do grupo-*Lispocephala*. Sendo, aparentemente, menos relacionada com os gêneros de seu clado, *Noelia* também não parece se encaixar nas diagnoses dos grupos mais próximos. Assim, também é proposta a revalidação dos gêneros *Cholomyioides* e *Noelia*.

A topologia do cladograma não sustenta a sinonímia de *Pectiniseta* com *Lispocephala* pelo que é proposta a revalidação de *Pectiniseta*. Os gêneros do grupo-*Lispocephala* têm a maior diversidade no Velho Mundo, e não estão representados no Novo Mundo, porém, a observação de algumas espécies não descritas no Novo Mundo poderia também indicar a presença deste grupo na região Neotropical.

Sobre *Macrorchis* e *Limnospila* associados com *Pseudocoenosia*, Huckett (1936) ao analisar gêneros conectantes entre Limnophorini e Coenosiini, sugere que esses três gêneros estão aparentados pela presença de vários caracteres e invalida a tribo Cheliisini de Karl (1928) onde esses gêneros eram agrupados junto com *Atherigona*. Huckett (1936) também sugeriu que *Pseudocoenosia* está representado por espécies que são aberrantes em aparência.

Uma observação particular é a presença de três cerdas pré-apicais no fêmur posterior de *Pseudocoenosia tonnoiri* (Malloch, 1938). Este caráter não foi modificado para o gênero já que não tivemos acesso às outras espécies do gênero, mas se incluída na análise, a topologia não muda.

A respeito das relações internas dos gêneros Neotropicais, Hennig (1965) escreveu:..."acerca das relações nos Coenosiini neotropicais podemos já dizer que eles não formam um grupo aparentado unitário, e sim, muitos grupos neotropicais de espécies (ou "gêneros") mantêm relações independentes com os continentes do Norte. Atualmente ainda não se sabe o número destes grupos, e com que grupos do Norte eles mantém estas relações. Ignora-se também a época em que se deu a imigração para América do Sul". Segundo o cladograma obtido, observa-se que o grupo-*Pseudocoenosia* agrupa gêneros de distribuição Austral e Holártica. Já dentro do grupo-*Coenosia* observam-se dois grupos: um grupo reúne dois gêneros Afrotropicais

com gêneros Neotropicales de distribuição ao sul da América do sul. O outro grupo inclui estritamente gêneros Neotropicais de distribuição mais abrangente e dos quais dois gêneros têm também algumas espécies nearticas.

Muitas espécies de *Coenosia* Neotropicais não Austrais, segundo o conceito atual do gênero, aparentemente pertencem ao gênero *Neodexiopsis* já que possuem o típico arranjo de três cerdas préapicais no fêmur posterior e não duas como é característico em *Coenosia*.

Coenosia é provavelmente um grupo parafilético (Hennig 1965), e como tal, o estudo dos relacionamentos entre os grupos de espécies dentro deste gênero poderiam aprimorar nossa compreensão sobre os relacionamentos entre vários gêneros Neotropicais de Coenosiini. Isto também pode ser postulado para o gênero *Neodexiopsis*. Isto é relevante desde Skidmore (1985) postulou que Coenosiinae é a subfamília mais complexa dentro de Muscidae. Recentes estudos moleculares (Schueli *et al.* 2007, Soares *et al.* em prep.) também postulam um relacionamento maior entre Coenosiinae e Phaoniinae ou Atherigoniinae contrariamente a tradicional relação de Coenosiinae com Mydaeinae.

Foi examinado também material de *Pseudocoenosia* de Nova Zelândia (*Pseudocoenosia tonnoiri* (Malloch, 1938)) pelo que a distribuição deste gênero é ampliada incluindo agora também Australasia/Oceania, além da região Holártica.

A partir do cladograma obtido, a chave de gêneros de Muscidae da região Neotropical (Carvalho 2002) foi mudada para incluir as mudanças taxonômicas propostas (Anexo I). O número de espécies de Coenosiini por região biogeográfica está representado na figura 2.

AGRADECIMENTOS

À professora Marcia Couri do Museu Nacional de Rio de Janeiro, ao Dr. Allen Norrbom e o Dr. Wayne N. Mathis do National Museum of Natural History e o Dr. Jaime

Sarmiento da Coleção Boliviana de Fauna pelas facilidades para o empréstimo de material.

REFERÊNCIAS BIBLIOGRÁFICAS

- Albuquerque, D. de O. 1958. Descrição de um gênero e uma espécie nova de "Coenosiinae" (Diptera, Muscidae). Revista Brasileira de Biologia, 18, 101-104.
- Carvalho, C.J.B. de. 1989. Classificação de Muscidae (Diptera): uma proposta através da análise cladística. Revista Brasileira de Zoologia, 6, 627–648.
- Carvalho, C.J.B. de (ed.). 2002. Muscidae (Diptera) of the Neotropical Region: Taxonomy. Curitiba, Editora Universidade Federal do Paraná, 287 p.,
- Carvalho, C.J.B. de; M.S. Couri; A.C. Pont; D.M. Pamplona & S.M. Lopes. 2005. A Catalogue of the Muscidae (Diptera) of the Neotropical Region. Zootaxa, 860, 1-282.
- Carvalho, C.J.B., M.S. Couri, ^aC. Pont, D. Pamplona & S.M. Lopes. 1993. A Catalogue of the Fanniidae and Muscidae (Diptera) of the Neotropical Region. Part II. Muscidae (ed. C. J. B.de Carvalho). Sociedade Brasileira de Entomologia, São Paulo.
- Charlat, S., E.A. Hornett, J.H. Fullard ,N. Davies, G.K. Roderick, N. Wedell & G.D.D. Hurst. 2007. Extraordinary flux in sex ratio. Science, 317, 214.
- Clegg, S.M. & I.P.F. Owens. 2002. The 'island rule' in birds: medium body size and its ecological explanation. Proceedings of the Royal Society of London series B, 269, 1359-1365.
- Costacurta, N.C.; R.C. Marinoni, & C.J.B. de Carvalho. 2003. Fauna de Muscidae (Díptera) em três localidades do Estado de Paraná, capturada com armadilha Malaise. Revista Brasileira de Entomologia, 47, 389–397.
- Couri, M.S. & A.C. Pont. 2000. Cladistic analysis of Coenosiini (Diptera: Muscidae: Coenosiinae). Systematic Entomology, 25, 373–392.

- Couri, M.S. & Carvalho, C.J.B. de. 1993. Parvomusca Medeiros, 1980: redescrição do gênero e descrição de uma espécie nova (Diptera, Muscidae). Revista Brasileira de Entomologia, 37, 731-735.
- Couri, M.S. & Carvalho, C.J.B. de. 2003. Systematic relations among *Philornis* Meinert, *Passeromyia* Rodhain & Villeneuve and allied genera (Diptera, Muscidae). Brazilian Journal of Biology, 63 (2), 223-232.
- Goloboff, P.A. 1993a. PEE-WEE, version 3.0. Program and documentation distributed by the author.
- Goloboff, P.A. 1993b. Estimating character weights during tree search. Cladistics, 9, 83-91.
- Goloboff, P.A. 1995. Parsimony and weighting: a reply to Turner & Zandee. Cladistics, 11, 91-104.
- Green, O. R. & A.C. Pont. 2003. A new record, *Pygophora apicalis* Schiner (Diptera: Muscidae: Coenosiini), established in Auckland, New Zealand Entomologist, 26, 101-104.
- Hennig, W. 1955–64. Muscidae. Die Fliegen der Palaearktischen Region, 63b (ed. E.Lindner). Schweizerbart, Stuttgart.
- Hennig, W. 1965. Vorarbeiten zu einem phylogenetischen System der Muscidae (Diptera, Cyclorrhapha). Stuttgarter Beiträge Zur Naturkunde, 141, 1–100.
- Hennig, W. 1973. 31. Ordnung Diptera (Zweiflügler). Handbuch der Zoologie. Eine Naturgeschichte der Stämme Des Tierreiches. IV. Band: Arthropoda – 2. Hälfte: Insecta. 2. Teil: Spezielles (ed. M.Beier). De Gruyter, Berlin.
- Huckett, H.C. 1936. A Revision of Connectant Forms between Coenosian and Limnophorine Genera occurring in North America (Diptera, Muscidae). Journal of the New York Entomological Society, 44, 187-223.
- Huckett, H.C. 1965. Family Muscidae. A Catalog of the Diptera of America North of Mexico (eds A.Stone, C. W.Sabrosky, W. W.Wirth, R. H.Foote&J. R.Coulson),

- pp. 869–915. Agriculture Handbook, United States Department of Agriculture, 276.
- Huckett, H.C. & J.R. Vockeroth. 1987. Muscidae. In: McAlpine, J. F., B.V. Peterson, G.E. Shewell, H.J. Teskey, J.R. Vockeroth & D.M. Wood (Eds). Manual of Nearctic Diptera. Ottawa, Agriculture Canada, Research Branch, Monograph 28, vol. II. vi + 675-1332 p.
- Huggins, D.G., P.M. Liechti & L.C. Ferrington. (eds.). 1981. Guide to the Freshwater Invertebrates of the Midwest. Biological Survey of Kansas, Technical Publication Number 11. 221 pp.
- Karl, O. 1935. Aussereuropäische Musciden (Anthomyiden) aus dem Deutschen Entomologischen Institut. Arbeiten über morphologische und taxonomische Entomologie, 2, 29-49.
- Lobanov, A.M. 1984. On the problem of the phylogeny of the Muscidae. Problems in the Evolution and Phylogeny of Flies. A Collection of Scientific Papers (ed. A. M. Lobanov), pp. 5–17. Society of Experimental Nature, Moscow (in Russian).
- Malloch, J.R. 1917. Key to the subfamilies of Anthomyiidae. Canadian Entomologist, 49, 406–408.
- Malloch, J.R. 1934. Muscidae. Diptera of Patagonia and South Chile, 7, 171–346. British Museum (Natural History), London.
- McAlpine, J.F. 1981. Morphology and terminology – adults. Manual of Nearctic Diptera, Vol. 1 (eds. J. F. McAlpine, B. V. Peterson, G. E. Shewell, H. J. Teskey, J. R. Vockeroth & D. M. Wood), pp. 9–63. Research Branch Agriculture Canada Monograph, 27.
- Medeiros, K.F. 1980. *Parvomusca paula*, gen.n., sp.n. de Coenosiinae (Diptera, Muscidae). Dusenia, 12, 29-31.
- Millien, V. 2006. Morphological evolution is accelerated among island mammals. PLoS Biology, 4, 1863-1868.

- Mullen, S.P., Mendelson, T.C., Schal, C., & K.L. Shaw. 2007. Rapid evolution of cuticular hydrocarbons in a genus of acoustically diverse Hawaiian crickets (Gryllidae: Trigonidiinae: *Laupala*). *Evolution*, 61, 223-231.
- Nixon, K.C. 2002. WINCLADA. Program and documentation distributed by the author.
- Pinder, A. M., A.H. Stuart, J.M. McRae & J.S. Russell. 2005. Occurrence of aquatic invertebrates of the wheatbelt region of Western Australia in relation to salinity. *Hydrobiologia*, 543, 1–24.
- Pont, A.C. 1972. Family Muscidae. A Catalogue of the Diptera of the Americas South of the United States, 97. Museu de Zoologia, Universidade de São Paulo, São Paulo.
- Pont, A.C. 1977. Family Muscidae. A Catalog of the Diptera of the Oriental Region, 3. Suborder Cyclorrhapha (Excluding Division Aschiza) (eds M. D.Delfinado & D. E.Hardy), pp. 451–523. University of Hawaii, Honolulu.
- Pont, A.C. 1980. Family Muscidae. Catalogue of the Diptera of the Afrotropical Region (ed. R. W.Crosskey), pp. 721–761. British Museum (Natural History), London.
- Pont, A.C. 1986. Family Muscidae. Catalogue of Palaearctic Diptera, 11. Scathophagidae-Hypodermatidae (eds Á.Soós & L. Papp), pp. 57–215. Akadémiai Kiadó, Budapest.
- Pont, A.C. 1989. Family Muscidae. Catalog of the Diptera of the Australasian and Oceanian Regions (ed. N. L.Evenhuis), pp. 675–699. Special Publications of the Bernice Pauahi Bishop Museum, 86. Bishop Museum Press. Honolulu.
- Schnabl, J.& H. Dziedzicki. 1911. Die Anthomyiden. *Nova Acta Academia Caesarea Leopoldina-Carolinae*, 95, 53–358.
- Schuehli, G. S., C.J.B. de Carvalho & B.M. Wiegmann. 2007. Molecular phylogenetics of the Muscidae (Diptera: Calypratae): new ideas in a congruence context. *Invertebrate Systematics*. 21, 263-278.
- Skidmore, P. 1985. The biology of the Muscidae of the world. Series Entomologica, 29, 1-550. Junk, Dordrecht.

- Snyder, F.M. 1957. Puerto Rican Neodexiopsis (Diptera: Muscidae: Coenosiinae). Journal of Agriculture of the University of Puerto Rico, 41, 207-229.
- Turner, H. & Zandee, R. 1995. The behaviour of Goloboff's tree fitness measure F. Cladistics. 11, 57-72.
- Verrall, G.H. 1891. Note at meeting of 14 October 1891. Bulletin Bimensuel de la Société Entomologique de France, 1891 (15), cxxxiii-cxxxiv.
- Zuk, M., J.T. Rotenberry & R.M. Tinghitella. 2006. Silent night: Adaptive disappearance of a sexual signal in a parasitized population of field crickets. Biology Letters, 2, 521-524.

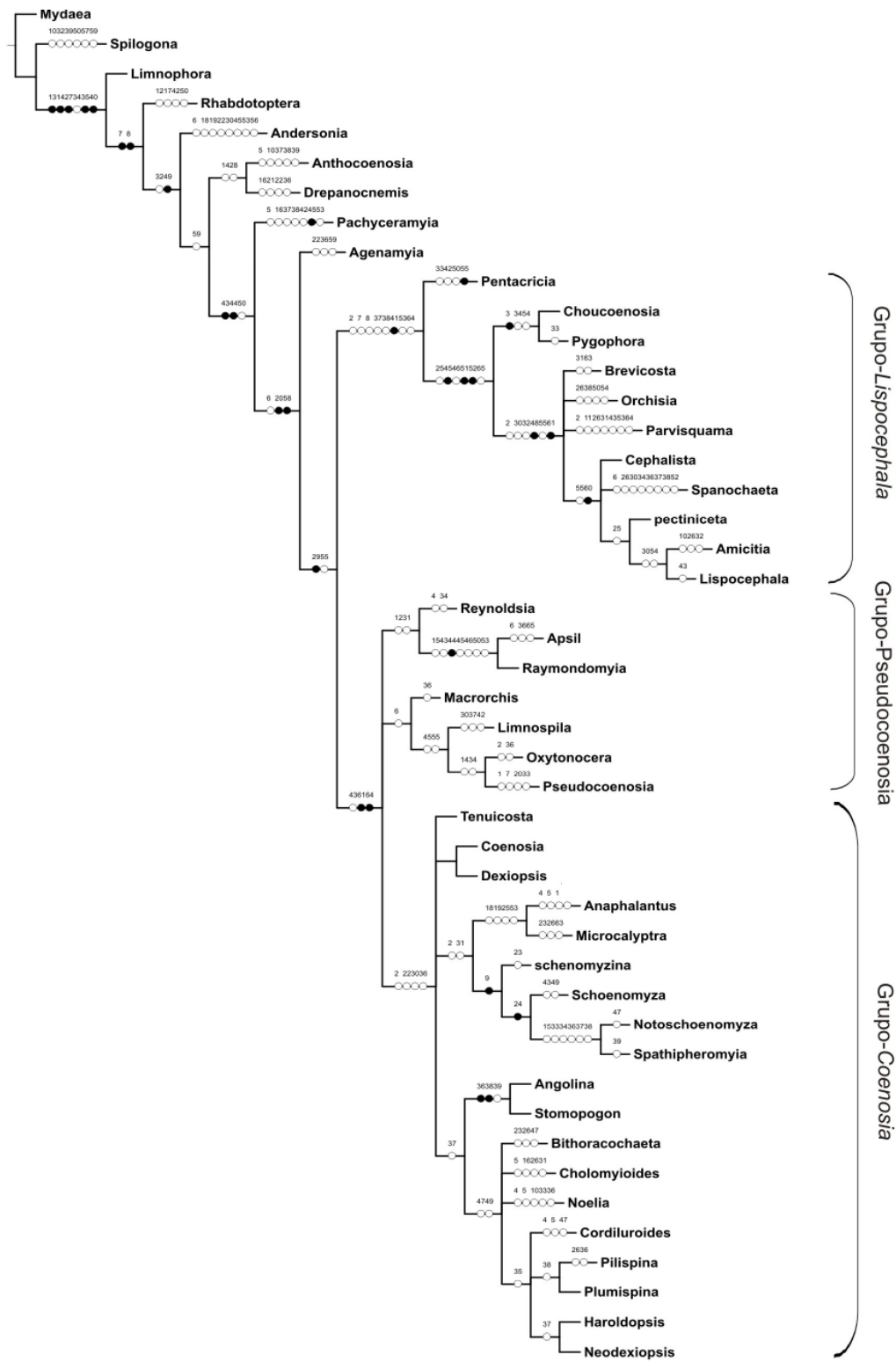


Figura 1. Consenso estricto de 48 cladogramas com pesagem implícita.

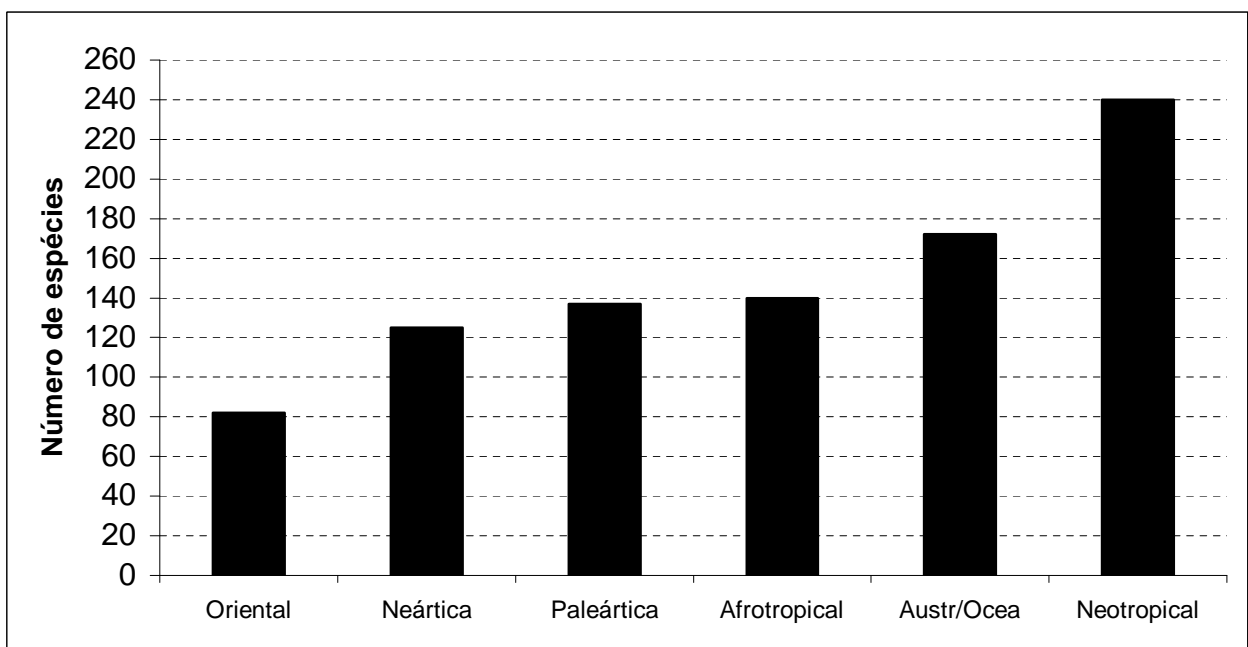


Figura 2. Número de espécies de Coenosiini por região biogeográfica.

Anexo I: Chave de identificação para gêneros neotropicais de Muscidae modificado de Carvalho (2002).

| | |
|---|---|
| 64. Wing with cilia in other veins besides vein C..... | 65 |
| Wing veins with no cilia, except vein C..... | 66 |
| 65. Sternite 1 setulose; katepisternal setae 2:2 (Guatemala, Venezuela, Colombia, Peru, Bolivia, Argentina, Chile, Juan Fernández Is.; Nearctic Region)..... | |
| <i>Lispoides</i> Malloch [Part II, page] | |
| Sternite 1 bare; katepisternal setae not 2:2 (Mexico, Colombia, Peru, Bolivia, Argentina; cosmopolitan with many species occurring in high altitudes)..... | |
| <i>Spilogona</i> Schnabl [Part II, page] | |
| 66. Dorsocentral setae 2:4; female: ovipositor with the hypoproct reduced and leaf-shaped, in lateral view, very setulose (Bahamas Is., Peru, Chile; south-eastern United States of America)..... | <i>Tetramerinx</i> Berg [Part II, page] |
| Dorsocentral setae 1-2:2-3; female: ovipositor not as above. | 66a |
| 66a Profrons projected..... | <i>Noelia</i> Albuquerque |
| Profrons not projected..... | 67 |
| 67. One strong dorsocentral presutural seta, sometimes preceded by a second short seta..... | 68 |
| Two strong dorsocentral presutural setae, more or less similar in length | 80 |
| 68. Postsutural dorsocentral setae 2..... | 69 |
| Postsutural dorsocentral setae 3 | 69a |
| 69. Basal scutellar seta shorter the apical pair; frons longer than wide; hind tibia with long median setae on anterodorsal, anteroventral, posterodorsal and sometimes posteroventral surfaces (Mexico, Jamaica, Cuba, Puerto Rico, Costa Rica, Venezuela, Guyana, Surinam, Peru, Brazil, Paraguay, Uruguay, Argentina; United States of America.) | <i>Bithoracochaeta</i> Stein [Part II, page] |
| Basal scutellar seta as long as or longer than the apical pair; frons wider than long; distribution of setae on hind tibia not as above (Peru, Argentina, Chile, Juan Fernández Is.) | <i>Schoenomyzina</i> Malloch [Part II, page] |
| 69a. Anal lobe of the wing reduced..... | <i>Cholomyioides</i> Albuquerque |

| | |
|--|---|
| Anal lobe not reduced..... | 70 |
| 70. Hind tibia with at least one anterodorsal supramedian seta in addition to the median seta..... | 71 |
| Hind tibia without any anterodorsal supramedian seta in addition to the median setae | 74 |
| 71. Hind tibia without any posterodorsal supramedian seta; frons wider than longer (Part II, Fig. 145) (Mexico, Ecuador, Peru, Argentina, Uruguay, Chile; Nearctic, Palaearctic, Afrotropical and Oriental Regions)..... | |
| <i>Schoenomyza</i> Halliday [in part] [Part II, page] | |
| Hind tibia with at least one posterodorsal supramedian seta; frons variable..... | 71a |
| 71a. Apical scutellar setae short..... | <i>Pilispina</i> Albuquerque (Brazil) |
| Apical scutellar setae strong..... | 72. |
| 72. Arista bare; lower calypter about twice as long as upper calypter (Peru, Bolivia) | |
| <i>Stomopogon</i> Malloch [Part II, page] | |
| Arista not as above; calypteres similar in size..... | 73 |
| 73. Hind tibia with preapical setae on anterodorsal and dorsal surfaces (Peru, Bolivia, Argentina, Uruguay, Chile, Juan Fernández Is.) | |
| <i>Notoschoenomyza</i> Malloch [Part II, page] | |
| Hind tibia with preapical setae on anterodorsal, dorsal and posterodorsal surfaces (Peru, Bolivia, Chile, Argentina) | <i>Spathipheromyia</i> Bigot [Part II, page] |
| 74. Katepisternal seta 0:1; disc of katepisternum with numerous setulae and hairs; lower proepimeral seta directed upwards, male: prealar seta present (Peru, Bolivia). | |
| <i>Drepanocnemis</i> Stein [Part II, page] | |
| Katepisternal setae 1:1:1; disc of katepisternum with few setulae or hairs; lower proepimeral seta directed downwards, male: prealar seta absent | 75 |
| 75. Calypteres similar in length (Mexico, Ecuador, Peru, Argentina, Uruguay, Chile; Nearctic, Palaearctic, Afrotropical and Oriental Regions) | |
| <i>Schoenomyza</i> Haliday [in part] [Part II, page] | |
| Lower calypter about twice as long as upper calypter..... | 76 |

76. Arista with plumes only on basal two-thirds; hind tibia with one supramedian posterodorsal seta (Brazil) *Plumispina* Albuquerque [Part II, page]
 Arista with plumes along its entire length or only on basal two-thirds but usually with only very short hairs; hind tibia only rarely with a supramedian posterodorsal setae . .77
77. Hind femur with 3 preapical setae, on anterodorsal, dorsal and posterodorsal to posterior surfaces..... .78
78. Antennal insertion well above mid-level of eye (Part II, Fig. 118); one pair of postsutural intra-alar setae; lower calypter transverse (Mexico, St. Vincent Is., Colombia, Peru, Bolivia, Brazil) *Cordiluroides* Albuquerque [Part II, page]
 Antennal insertion at mid-level of eye (Part II, Fig. 121); two pairs of postsutural intra-alar setae; lower calypter glossiform (Mexico, Guatemala, Costa Rica, Panama, Jamaica, Puerto Rico, St. Vincent Is., Venezuela, Colombia, Ecuador, Galápagos Is., Peru, Bolivia, Brazil, Paraguay, Uruguay, Argentina, Chile, Juan Fernández Is.; Nearctic Region)..... *Neodexiopsis* Malloch [Part II, page]
79. Gena greatly reduced, almost linear (Part II, Figs. 43a, b); female: ovipositor of medium length; tergites and sternites broad (Part II, Figs. 47-48) (Panama, Brazil)..
 *Agenamyia* Albuquerque [Part II, page]
 Gena of moderate width; female: ovipositor long; tergites and sternites long and narrow (Mexico, Venezuela, Guyana, Ecuador, Bolivia, Brazil, Uruguay, Argentina, Chile; cosmopolitan)..... *Coenosia* Meigen [Part II, page]
80. Apical scutellar setae shorter than the basal setae (Puerto Rico, Brazil).....
 *Pilispina* Albuquerque [Part II, page]
 Apical scutellar setae as long as the basal setae81
81. Fore tibia on posterior surface without setae..... *Rhabdotoptera* Stein [Part II, page]
 Fore tibia on middle of posterior surface with, at least, one seta..... .83
82. Palpus rather enlarged apically (Part II, Figs. 83-88); gena very deep; eyes reduced in size (Part II, Figs. 89-95), with few setae around vibrissae (Argentina, Chile).....
 *Apsil* Malloch [Part II, page]
 Palpus slender; gena variable; eyes not or hardly reduced, with few or many setae around vibrissae..... .84
83. Hind tibia without setae on posterodorsal surface; antennal flagellomere modified apically (Part II, Fig. 135) (Peru, Bolivia) *Oxytonocera* Stein [Part II, page]

- Hind tibia with at least a median and sometimes also a supramedian seta on posterodorsal surface; antennal flagellomere not modified apically.85
84. Katepisternal setae 2:2; arista short and enlarged basally (Part II, Fig. 56); claws and pulvilli small; male: hypandrium not tubular; female: ovipositor of moderate length, with large tergites (Part II, Figs. 60-61) (Bahamas Is., Brazil; South America; North America)..... *Pachyceramyia* Albuquerque [Part II, page]
- Katepisternal setae 1:1:1; arista long and slender; claws and pulvilli long; male: hypandrium tubular, very elongated; female: ovipositor long, with slender tergites (Argentina, Chile) *Reynoldsia* Malloch [Part II, page]

Anexo II: lista sinonímica dos gêneros de Coenosiini.

| | |
|---|---------------------------------------|
| Amicitia van Emden 1940 | Microcalyptora Stein 1919 |
| Anaphalantus Loew 1857 | Neodexiopsis Malloch 1920 |
| Lauxanacanthis Bigot 1859 | Xenocoenosia Malloch 1920 |
| Encarsiocera Czerny 1931 | Austrocoenosia Malloch (1934) |
| Apsil Malloch 1929 | Macquartiopsis Albuquerque 1949 |
| Raymondomyia Malloch (1934) | Haroldopsis Albuquerque 1954 |
| Bithoracochaeta Stein 1911 | Paradexiopsis Albuquerque 1955 |
| Cariciella Malloch 1920, nomen nudum | Noelia Albuquerque 1957, stat. rev.* |
| Brevicosta Malloch 1921 | Notoschoenomyza Malloch (1934) |
| Cephalispa Malloch 1935 | Orchisia Rondani 1877 |
| Cholomyioides Albuquerque 1954, stat. rev.* | Oxytonocera Stein 1919 |
| Coenosia Meigen 1826 | Parvisquama Malloch 1935 |
| Caricea Robineau-Desvoidy 1830 | Pectiniseta Stein 1919, stat. rev.* |
| Limosia Robineau-Desvoidy 1830 | Pentacricia Stein 1898 |
| Palusia Robineau-Desvoidy 1830 | Pilispina Albuquerque 1954 |
| Choetura Macquart 1851 | Levallonia Albuquerque 1958 |
| Oplogaster Rondani 1856 | Plumispina Albuquerque 1954 |
| Allognota Pokorny 1893 | Pseudocoenosia Stein 1916 |
| Centriocera Pokorny 1893 | Paracoenosia Ringdahl 1945 |
| Dexiopsis Pokorny 1893 | Coenosiosoma Ringdahl 1947 |
| Rhynchooenops Bezzi 1918 | Pygophora Schiner 1868 |
| Tenuicosta Stein 1919 | Macrochoeta Macquart 1851, suppressed |
| Macrocoenosia Malloch 1920 | Diplogaster Bigot 1886, preoccupied |
| Hebdomostilba Enderlein 1936 | Chouicoenosia Cui & Xue (1996) |
| Mesodiplectra Enderlein 1936 | Reynoldsia Malloch (1934) |
| Diatinoza Enderlein 1936 | Schoenomyza Haliday 1833 |
| Psephidocera Enderlein 1936 | Litorella Rondani 1856 |
| Platychiracra Enderlein 1936 | Schoenomyzina Malloch (1934) |
| Adiplectra Enderlein 1936 | Spanochaeta Stein 1919 |
| Trilasia Karl 1936 | Spathipheromyia Bigot 1884 |
| Lamprocoenosia Ringdahl 1945 | Stomopogon Malloch 1930 |
| Leucocoenosia Ringdahl 1945 | Angolia Malloch (1934) |
| Xanthorrhinia Ringdahl 1945 | Angolina Pont 1972 |
| Cordiluroides Albuquerque 1954 | Parvomusca Medeiros 1980, syn.n.* |
| Insulamyia Couri 1982 | |
| Limnospila Schnabl 1902 | |
| Aphanoneura Stein 1919 | |
| Lispocephala Pokorny 1893 | |
| Macrorchis Rondani 1877 | |

Anexo III: Discussão das mudanças dos caracteres de Couri & Pont (2000).

Neste anexo são incluídos todos os caracteres de Couri & Pont (2000) que foram mudados. O número de cada caráter aparece como em Couri & Pont (2000). Depois de cada caráter aparece a justificação para sua mudança (Ver tabela 2).

Caráter 22. Número de cerdas pré-suturais DC: (0) 2; (1) 1. Este caráter foi originalmente codificado para *Pilispina* Albuquerque como (0), ou seja, com duas DC presuturais. Depois da avaliação segundo o material tipo (ver CAPITULO I), concluímos que a codificação certa é (1), ou seja, com só uma cerda presutural DC.

Caráter 23. Número de cerdas pós-suturais DC: (0) 3; (1) 2. Para *Pilispina* e *Haroldopsis* Albuquerque, este caráter que foi codificado originalmente como (1) é agora codificado como (0) (ver CAPÍTULO II).

Caráter 27. Comprimento da cerda sub-basal escutelar: (0) tão longo quanto a cerda apical; (1) forte, porém, menor que a cerda apical; (2) reduzido à uma sétula ou ausente. Para *Bithoracochaeta* Stein, este caráter estava codificado como (1) mas esta codificação é mudada para o estado (2) por dois motivos: Primeiro, sendo o único táxon com esse estado, usar a codificação (1) seria como incluir um caráter autapomórfico. Segundo, ao comparar os desenhos 21 e 22 de Couri & Pont (2000) (figura 2), após a correção alométrica de tamanho, observamos que esses dois estados (1) e (2), são equivalentes. Assim, todos os táxons codificados como (2), incluindo *Bitoracochaeta*, agora são codificados como (1).

Caráter 28. Comprimento da cerda escutelar apical: (0) tão longo quanto o par sub-basal; (1) menor que o par sub-basal. Para *Neodexiopsis*, a codificação original foi (0) mais a recorrência do estado alternativo com cerdas menores em varias espécies, indica que este caráter tem que ser codificado como polimórfico (0, 1).

Caráter 27 e 28. O caráter 27, como entendido agora é: Comprimento da cerda sub-basal escutelar: (0) tão longo quanto a cerda apical; (1) reduzido à uma sétula ou ausente. E o caráter 28 é Comprimento da cerda escutelar apical: (0) tão longo quanto o par sub-basal; (1) menor que o par sub-basal. Observamos que o estado (0) do caráter 27 é equivalente ao estado (0) do caráter 28. Como estes dois caracteres descrevem a relação de tamanho entre as cerdas escutelares, a melhor codificação seria fusionar os dois caracteres num só caráter: Comprimento das cerdas escutelares sub-basais e apicais: (0) igual; (1) par sub-basal menor que o par apical (2) par apical menor que o par sub-basal.

Caráter 35. Tíbia anterior com A à AD cerda no terço médio. (0) ausente; (1) presente.

Para *Haroldopsis* a codificação foi trocada de (1) a (0). Aparentemente também deve mudar em *Noelia* Albuquerque, *Spathypheromyia* Bigot, *Notoschoenomyza* Malloch e *Pseudocoenosia* Stein pois segundo Couri & Pont (2000): "...the absence of a median anterior seta on fore tibia is in the ground-plan of Muscidae. This seta has arisen independently in the *Lispocephala*-group (*Pentacricia*, *Pygophora*) and in the *Coenosia*-group (*Pseudocoenosia*, *Notoschoenomyza*, *Spathypheromyia*, *Haroldopsis* and *Noelia*). Regarding characters 34 and 35, *Brevicosta*, *Cephalispa*, *Orchisia*, *Parvisquama*, *Pectiniseta*, *Spanochaeta* and *Lispocephala* have no median setae on fore tibia, only apical setae; *Haroldopsis*, *Noelia*, *Notoschoenomyza*, *Pentacricia*, *Pygophora*, *Pseudocoenosia* and *Spathypheromyia* have median setae on both anterior and posterior surfaces..."

Em algumas descrições de Dalcy de Oliveira Albuquerque, as faces posteriores do fêmur I foram descritas como faces anteriores. Como *Haroldopsis* e *Cholomyioides*, este caráter tem que ser confirmado em *Noelia* e nos outros táxons codificados como (1). Porém Couri & Lopes (2004) quando fazem a chave para espécies de *Notoschoenomyza* descrevem o gênero como possuindo uma cerda A e P mediana na tíbia anterior.

Caráter 37. Número de cerdas pré-apicais sobre as superfícies dorsais da tíbia posterior: (0) 2; (1) 3. Tanto em *Plumispina* como em *Pilispina*, o estado deste caráter foi codificado como (0) mas a observação do material tipo demonstrou que a codificação certa é (1), ou seja, com 3 cerdas pré-apicais sobre as superfícies dorsais.

Caráter 38. Tíbia posterior com cerda AD supramediana: (0) 1; (1) ausente. Para *Plumispina* observou-se que a tíbia posterior sim possui uma cerda AD supramediana pelo que a codificação certa é: (0) 1. Do mesmo jeito para *Insulamyia* a codificação foi mudada de (?) para (1) ausente.

Caráter 39. Tíbia posterior com uma cerda PD mediana: (0) ausente; (1) presente. Para *Neodexiopsis* este caráter foi representado no estado (1) presente. Segundo o conhecimento atual das espécies de *Neodexiopsis*, uma cerda PD mediana pode ou não estar presente na tíbia. Esta variação dependente da espécie indica que este caráter deve ser codificado como polimórfico (0, 1). Para *Haroldopsis* esta codificação também foi mudada de (1) presente, para (0) ausente. Snyder coloca como característica secundária do grupo ovata, a ausência da PD mediana. *Astrocoenosia* de Malloch, agrupava as espécies patagônicas de *Neodexiopsis* com uma cerda PD mediana.

Caráter 43. Tíbia posterior com uma cerda apical posteroventral: (0) ausente; (1) presente. Em *Insulamyia* este caráter foi codificado como (0), mas a descrição original mostra a existência destas cerdas, pelo que o caráter agora é codificado com (1).

Caráter 57. Comprimento do ovipositor feminino: (0) moderadamente (exageradamente?) longo; (1) curto; (2) longo; (3) extremamente curto. Em *Drepanocnemis* Stein foi codificado como (?). Hennig (1965) ao discutir sobre as relações filogenéticas dentro de Coenosiinae, discute as afinidades de *Drepanocnemis* e outros Coenosiini Neotropicais. Para *Drepanocnemis* ele faz questão de enfatizar a similaridade do ovipositor da fêmea e desenha o ovipositor. Assim, este caráter foi modificado de (?) para (2).

Caráter 59. Espículas sobre o segmento 8 da fêmea: (0) presente; (1) ausente. Em *Insulamyia* a codificação original era (?), mas segundo o exame da espécie tipo, este caráter agora é codificado como (1)

Caráter 61. Segmento 8 feminino: (0) dirigido para cima; (1) reto. Como o anterior, originalmente *Drepanocnemis* estava como (?) mais segundo Hennig (1965), a codificação muda para (1).

Caráter 63. Desenvolvimento do epiprocto feminino: (0) reduzido; (1) ausente; (2) bem desenvolvido. Em *Insulamyia* a codificação original era (0), mas segundo o exame da espécie tipo, este caráter agora é codificado como (2).

Tabela I. Matriz de dados.

Tabela 2: Mudanças na codificação de caracteres de Couri & Pont (2000). Indica-se o total de mudanças por caráter e por táxon (ver anexo III para detalhes).

| CARACTERES | 7 | 22 | 23 | 24 | 25 | 26 | 27 | 28 | 35 | 36 | 37 | 38 | 39 | 41 | 57 | 61 | TOTAL |
|------------------------|---|----|----|----|----|----|----|----|----|----|----|----|----|----|----|----|-------|
| <i>Bitoracochaeta</i> | | X | X | X | X | X | | | | | | | | X | | | 6 |
| Todos os demais | | X | X | X | X | X | | | | | | | | X | | | 6 |
| | X | | X | X | X | X | X | | | | | | | X | | | |
| <i>Levallonia</i> | | | | | | | | | | | | | | | | | 7 |
| <i>Neodexiopsis</i> | | X | X | X | X | X | | | | | | | X | X | | | 7 |
| <i>Spathypheromyia</i> | | X | X | X | X | X | X | X | | | | | | X | | | 7 |
| <i>Notoschoenomyza</i> | | X | X | X | X | X | X | X | | | | | | X | | | 7 |
| <i>Pseudocoenosia</i> | | X | X | X | X | X | X | X | | | | | | X | | | 7 |
| <i>Noelia</i> | | X | X | X | X | X | X | X | | | | | | X | X | | 8 |
| <i>Plumispina</i> | | X | X | X | X | X | | | | | | X | X | | X | | 8 |
| <i>Drepanocnemis</i> | | X | X | X | X | X | | | | | | | | X | X | X | 8 |
| <i>Pilispina</i> | | X | X | X | X | X | X | X | | | | X | X | | | X | 9 |
| <i>Haroldopsis</i> | | X | X | X | X | X | X | X | | | | | | X | X | | 9 |
| TOTAL | 1 | 1 | 2 | 13 | 13 | 13 | 12 | 12 | 5 | 1 | 3 | 2 | 2 | 13 | 2 | 1 | 99 |

Tabela 3: Codificação conflitante entre os caracteres 24, 25 e 26. 24: ia pós-sutural A: (0) presente; (1) ausente; 25: ia pós-sutural P: (0) presente; (1) ausente; 26: ia pós-sutural: (0) longa; (1) reduzida. Após a confirmação com o material tipo, o caráter 24 foi eliminado.

| Caracteres | 24 | 25 | 26 | Inconsistências caso 26 seja A | Inconsistências caso 26 seja P |
|-------------------------|----|----|----|--------------------------------|--------------------------------|
| <i>Bithoracochaeta</i> | 1 | 0 | 0 | X | |
| <i>Insulamyia</i> | 1 | 0 | 0 | X | |
| <i>Notoschoenomyza</i> | 0 | 1 | 0 | | X |
| <i>Schoenomyza</i> | 0 | 1 | 0 | | X |
| <i>Spathiphaeromyia</i> | 0 | 1 | 0 | | X |
| <i>Anaphalantus</i> | 0 | 0 | 1 | | |
| | | | | | |
| <i>Brevicosta</i> | 0 | 0 | 1 | | |
| <i>Cephalispa</i> | 0 | 0 | 1 | | |
| <i>Chouicoenosia</i> | 0 | 0 | 1 | | |
| <i>Microcalyptra</i> | 0 | 0 | 1 | | |
| <i>Orchisia</i> | 0 | 0 | 1 | | |
| <i>Parvisquama</i> | 0 | 0 | 1 | | |
| <i>Pygophora</i> | 0 | 0 | 1 | | |
| <i>Spanochaeta</i> | 0 | 0 | 1 | | |
| Os demais gêneros | 0 | 0 | 0 | | |

CAPÍTULO III

ANÁLISE CLADÍSTICA DE *NEODEXIOPSIS*, GRUPO-OVATA (COENOSIINAE, MUSCIDAE)

RESUMO

Entre todos os gêneros de Muscoidea da Região Neotropical, *Neodexiopsis* Malloch é o gênero com a maior quantidade de espécies. Apresenta-se aqui a análise cladística baseada em caracteres morfológicos de um grupo de espécies neste gênero, o grupo-ovata (Snyder 1958). A análise realizada sugere que *Neodexiopsis* e o grupo-ovata não são monofiléticos. O grupo-ovata é dividido em dois grupos: o grupo-ovata sensu stricto (*N. equator* Snyder, 1958, *N. neoaustralis* Snyder, 1957, *N. peruviana* Snyder, 1958, *N. preacuta* Snyder, 1958, *N. flavipalpis* Albuquerque, 1956, *N. arizona* Snyder, 1958, *N. cera* Snyder, 1958, *Neodexiopsis* sp.n.2 e *Neodexiopsis* sp.n.3) e o grupo-cambuquirense (*N. hydrotaeiformis* Snyder, 1958, *N. cavalata* Snyder, 1957, *N. cambuquirenensis* (Albuquerque, 1954) e *Neodexiopsis* sp.n.1).

ABSTRACT

Between all genera of Muscoidea from the Neotropical Region, *Neodexiopsis* Malloch is the genus with more species. Here is presented a cladistic analysis based in morphological characters of one group of species in this genus, the ovata-group (Snyder 1958). The analysis realized display that *Neodexiopsis* and the ovata-group aren't monophyletic groups. The ovata-group is divided in two groups: The ovata-group sensu stricto (*N. equator* Snyder, 1958, *N. neoaustralis* Snyder, 1957, *N. peruviana* Snyder, 1958, *N. preacuta* Snyder, 1958, *N. flavipalpis* Albuquerque, 1956, *N. arizona* Snyder, 1958, *N. cera* Snyder, 1958, *Neodexiopsis* sp.n.2 and *Neodexiopsis* sp.n.3) and the cambuquirenensis-group (*N. hydrotaeiformis* Snyder, 1958, *N. cavalata* Snyder, 1957, *N. cambuquirenensis* (Albuquerque, 1954) and *Neodexiopsis* sp.n.1).

INTRODUÇÃO

O gênero *Neodexiopsis* foi criado por Malloch (1920), e separado de *Cariciella* (Malloch, 1920) pelos seguintes caracteres: tórax com 4 pares de setas dorsocentrals; escutelo com 4 setas de igual comprimento; tíbia posterior com 3 setas nas faces ântero-ventral, ântero-dorsal e póstero-dorsal, sendo a seta ântero-ventral apical em relação a antero-dorsal e não basalmente como em *Cariciella*.

Coenosia Meigen, 1826 é o gênero mais abundante em áreas montanhosas da região Neártica, porém, *Neodexiopsis* substitui este na região Sudeste dos Estados Unidos (Snyder 1957). Nas regiões Paleártica e Etiópica *Coenosia*, *sensu stricto* (= *Caricea* de alguns autores), também é significativa em abundância (Snyder, 1957). Já, entre todos os Muscidae Afrotropicais, *Coenosia* é o segundo gênero com maior número de espécies (Couri 2007). *Neodexiopsis* é o gênero de Muscidae com mais espécies na região Neotropical (Carvalho 2002). Além do grande número de espécies, pode ter a maior quantidade de indivíduos na muscidocenose Neotropical em áreas de vegetação bem preservada (Costacurta *et al.* 2003, Rodríguez-Fernández *et.al.* 2006).

Neodexiopsis é exclusivo do Novo Mundo e pode ser separado dos outros gêneros do grupo-*Coenosia* (Hennig 1965), como primeiramente notado por Huckett (1934), pela presença de três setas apicais nas faces ântero-dorsal, dorsal e póstero-dorsal até posterior, em contraste com dois pré-apicais nas faces ântero-dorsal e dorsal até póstero-dorsal em outros grupos.

Neodexiopsis foi incluído em uma chave para gêneros de Coenosiini Neotropicais (Couri 1985) e do mundo (Couri & Pont 1999). Também foram descritas espécies de Porto Rico incluindo-se uma chave de identificação (Snyder 1957b; Couri & Carvalho 2002).

Snyder (1957a) descreveu várias espécies e apresentou uma chave para numerosas espécies da Argentina. Couri & Albuquerque (1979) fizeram o diagnóstico das espécies de *Neodeoxiopsis* do Museu Nacional do Rio de Janeiro. Costacurta *et al.* (2002)

descreveram várias espécies de *Neodexiopsis* e apresentaram uma chave de identificação atualizada para as espécies presentes no Brasil. Na análise cladística da tribo Coenosiini não foram encontradas sinapomorfias sustentando este gênero (Couri & Pont 2000). Atualmente, aproximadamente 40 espécies de *Neodexiopsis* estão presentes no Brasil (Couri & Carvalho 2002, Costacurta et al. 2005).

Antagonicamente à quantidade de espécies descritas, a biologia de *Neodexiopsis* é praticamente desconhecida. Baseados na etologia e morfologia característica da tribo Coenosiini (Carvalho et al. 2005), o gênero é com quase total certeza predador de outros invertebrados. Observações pessoais de *Neodexiopsis* sp. demonstram sua alimentação sobre *Drosophila melanogaster* em condições de laboratório. *Neodexiopsis emmessa* (Malloch, 1934) foi coletada sobre trilhas de formigas legionárias *Labidus predator* (Fr. Smith, 1858) e *Ecton Burchelli* (Westwood, 1842) (Snyder 1958).

Na região Neártica aparentemente existe um registro de algumas larvas de *Neodexiopsis* obtidas do microhabitat formado pelo acúmulo de água entre as folhas de bromeliáceas epífitas (Phytothelmatata) (Frank et al. 2004). Pupários obtidos da espécie tipo do gênero, *Neodexiopsis basalis* (Stein 1898), foram retirados de galerias feitas por Scolytidae em *Pinus*, sugerindo que as larvas de *N. basalis* sejam associadas com Scolytidae imaturos em baixo da casca de *Pinus* (Skidmore, 1985).

Snyder (1958) definiu o grupo-ovata, um grupo de espécies de *Neodexiopsis*, baseado principalmente nas características dos machos, pois eles têm a área anal da asa modificada numa extensão posterior em forma de orelha ou com uma incisão pré-basal na margem posterior adjacente à área anal e por ter uma pequena porção da parte inferior do terceiro e o quarto tergito sem pruinescência e brilhoso. Atualmente estão incluídas 18 espécies no grupo-ovata (*N. hydrotaeiformis* Snyder, 1958; *N. cavalata* Snyder, 1957; *N. willistoni* Snyder, 1958; *N. obtusiloba* (Malloch, 1934), *N. emmessa* (Malloch, 1934), *N. punctulata* (van der Wulp, 1896); *N. australis* (Malloch, 1934); *N. neoaustralis* Snyder,

1957; *N. magnicornis* Snyder, 1958; *N. equator* Snyder, 1958, *N. preacuta* Snyder, 1958, *N. peruviana* Snyder, 1958; *N. cera* Snyder, 1958; *N. priscipagus* Snyder, 1958; *N. ovata* (Stein, 1897); *N. peninsula* Snyder, 1958; Snyder, 1958 e *N. borea*).

Neste trabalho apresenta-se uma análise cladística das espécies do grupo-ovata de *Neodexiosis* com o objetivo de testar a monofilia do grupo visando contribuir ao conhecimento de *Neodexiopsis*.

MATERIAL E MÉTODOS

Material examinado

O material examinado pertence as seguintes instituições (com seus respectivos acrônimos):

MNRJ - Museu Nacional do Rio de Janeiro, Brasil.

USNM - National Museum of Natural History, Washington, DC, EUA.

DZUP - Departamento de Zoologia, Universidade Federal do Paraná, Curitiba, Brasil.

INPA – Instituto Nacional de Pesquisas da Amazônia.

AMNH – American Museum of Natural History

CBF – Coleção Boliviana de Fauna

Terminologia morfológica

Para a morfologia de adultos, a terminologia empregada segue basicamente a utilizada por McAlpine (1981) e Huckett & Vockeroth (1987) com algumas exceções indicadas por Carvalho (1989). As seguintes abreviações são utilizadas: DC, dorsocentral; P, posterior; D, dorsal; A, anterior; V, ventral; PD, póstero-dorsal; AV, ântero-ventral.

Táxons terminais

A maioria das espécies de *Neodexiopsis* do grupo-ovata foi incluída como táxons terminais do grupo interno, exceto: *N. willistoni*, *N. obtusiloba* (holótipo extraviado), *N. emmessa*, *N. punctulata*, *N. priscipagus*, *N. peninsula*, *N. australis*, *N. magnicornis*, *N. borea* e *N. ovata*.

Foram incluídos também na análise cinco espécies de *Neodexiopsis*: *N. pura* Costacurta, Couri & Carvalho, 2005; *N. rara* Costacurta, Couri & Carvalho, 2005; *N. paranaensis* Costacurta, Couri & Carvalho, 2005, *N. facilis* Costacurta, Couri & Carvalho, 2005 e *N. latitibia* (Albuquerque, 1957).

Para a polarização dos caracteres foi utilizado o método de enraizamento com grupo-externo (Farris, 1982; Nixon & Carpenter, 1993). O critério para seleção do grupo-externo baseou-se em hipótese filogenética previamente conhecida para o grupo-Coenosia baseado em Couri & Pont (2000) com as modificações obtidas no Capítulo II. Deste modo, foram utilizadas as seguintes espécies: *Coenosia tigrina* (Fabricius, 1775), *Bithoracochaeta leucoprocta* (Wiedemann, 1830), *Stomopogon hirtitibia* (Stein, 1911), *Plumispina longipilis* Albuquerque, 1954 e *Plilispina pilitibia* Albuquerque, 1954.

Caracteres

Foram analisados exclusivamente caracteres morfológicos de espécimes adultos machos utilizados normalmente nas descrições das espécies. Todos os caracteres foram definidos como não-ordenados. (Tabela 1).

Análise cladística

O programa PEE-WEE versão 3.0 (Goloboff, 1993) foi usado para a procura dos cladogramas e os caracteres foram tratados com pesagem implícita com os seguintes

comandos: hold10000, mult*200, gerando uma procura heurística por “tree bisection-reconnection branch-swapping” e “random addition sequence”, com 200 replicações.

A pesagem implícita (Goloboff, 1993b) define pesos aos caracteres simultaneamente à reconstrução de cladogramas, ou seja, ela não depende de nenhuma análise anterior, diferentemente da pesagem sucessiva. Os pesos são determinados pelo ajuste dos caracteres em um determinado cladograma, não incluindo nenhum outro cladograma (como ocorre quando se utiliza a pesagem sucessiva, a qual determina os pesos para um caracter de acordo com algum índice calculado com base em todo o conjunto de cladogramas mais parcimoniosos resultante da análise inicial com pesos iguais). O valor de ajuste dos caracteres varia de acordo com o valor previamente definido para a constante de concavidade k (ver Goloboff, 1993b, 1995; Turner & Zandee, 1995).

O programa WINCLADA (Nixon, 2002) foi usado para a visualização das árvores e a edição dos caracteres. Não foi utilizado nenhum tipo de otimização de caracteres.

RESULTADOS E DISCUSSÃO

Lista de caracteres

1. Forma da perna anterior: normal (0); ratorial (1).
2. Lobo anal da asa: normal (0); projetado como uma extensão estreita (1); projetado como extensão larga (2).
3. Terceiro e quarto esternito com uma pequena porção coalescente lateral com pruinescência: presente (0); ausente (1).
4. Número de setas pré-apicais no fêmur posterior: 2 (0); (1).
5. Seta PD supramediana da tíbia posterior: ausente (0); presente (1).
6. Seta AV mediana da tíbia posterior: presente (0); ausente (1).

7. Comprimento lateral do tergito 3: 2x o cumprimento dorsal (0); < 2x (1); 4x ou mais (2).
8. Comprimento lateral do tergito 4 em relação ao cumprimento D: 2-2,4x (0); >3x (2); quase indistinguível (1).
9. Tergito 5 lateralmente com a linha anterior e posterior: paralelas (1); não paralela (0).
10. Comprimento da base do quinto esternito em relação ao seu bordo posterior; 2x (0); <2 (1); >3 (2).
11. Setas proepimerais dirigidas para cima (0); dirigidas para baixo (1).
12. Setas apicais escutelares: longas (0); pequenas (1).
13. Ápice D do fêmur posterior: castanho-escuro (0); amarelo (1).
14. Coloração do flagelo: castanho-escuro com a base amarela (0); totalmente amarelo (1); totalmente castanho-escuro (2).
15. Coloração da base do palpo: amarelo (0); castanho-escuro (1).
16. Coloração da coxa anterior: amarela (0); castanho-escura (1);
17. Coloração de fundo do segundo tergito: preto (0); amarelo (1).
18. Coloração da base da arista: clara (1); escura (0).
19. Listras no tórax: presente (0); ausente (1).
Forma do arólio: redondo (0); alongado (1).
20. PD mediana no fêmur III: ausente (0); presente (1).

Análise cladística

As análises aplicando a pesagem sucessiva resultaram em um único cladograma de 58 passos ($Ci=41$; $Ri=72$) (figura 1).

No cladograma está indicada a complexa relação entre os gêneros *Plumispina*, *Pilispina*, *Neodexiopsis* e *Cordiluroides*. Este mesmo fato foi indicado por Couri & Pont (2000) e com um pouco mais de resolução, na re-análise da tribo realizada no capítulo II.

Cordiluroides foi sempre um gênero sem controvérsia sobre seu status na literatura, enquanto que *Plumispina* já foi considerado como sinônimo de *Neodexiopsis* por Pont (1972). Temos que observar também que as duas únicas espécies de *Plumispina* estão agrupadas neste gênero por modificações na quetotaxia da perna posterior. Estas modificações poderiam ser não homologas e, se reconhecermos dois padrões distintos de modificação, esses padrões podem também ser encontrados em outras espécies de *Neodexiopsis* e *Coenosia*.

O grupo ovata *sensu lato*, não forma um clado mas, duas linhagens com origens diferentes. Uma destas linhagens, indicada como grupo-cambuquirense (*N. hydrotaeiformis*, *N. cavalata*, *N. cambuquirense* e *Neodexiopsis* sp.n. 1), está sustentado por dois caracteres: a modificação do lóbulo anal da asa projetado como uma extensão larga e o comprimento lateral do tergito 3 sendo 4 vezes maior que o cumprimento dorsal. Na base deste clado observamos que *N. cavalata* é a espécie com menor afinidade dentro deste grupo. É preciso lembrar que *N. cavalata* foi descrita de material de coletado em Porto Rico, um arquipélago no Mar Caribe. Como foi mencionado no capítulo II, habitats insulares aceleram processos de especiação e diversificação morfológica com exemplos para mamíferos Millien (2006), aves Clegg & Owens (2001) e insetos com alguns exemplos dramáticos em grilos (Zuk *et al.* 2006, Mullen *et al.* 2007) e borboletas (Charlat *et al.* 2007). Em Muscidae, especificamente em Coenosiini insulares, Snyder (1957b) percebeu que peculiaridades morfológicas atípicas podem surgir como resultado de tendências evolutivas extremas em populações insulares isoladas. Assim, podemos justificar as particularidades morfológicas de *N. cavalata* como resultado do isolamento

geográfico. Já as outras três espécies (*N. hydrotaeiformis*, *N. cambuquirensis* e *Neodexiosis* sp.n. 1) têm vários caracteres em comum que suportam seu relacionamento. A segunda linhagem que corresponde ao grupo-ovata *sensu stricto* (*N. equator*, *N. neoaustralis*, *N. peruviana*, *N. preacuta*, *N. flavipalpis*, *N. arizona*, *N. cera* e *Neodexiopsis* sp.n.3), está sustentada por três sinapomorfias: a modificação da asa do macho projetada como uma extensão estreita, pela relação de comprimento do tergito 3 e pela perda de listras no tórax. Este grupo inclui as espécies com os caracteres descritos por Snyder (1958) em relação ao abdômen, pois todas elas apresentam uma região no abdômen entre o terceiro e quarto tergitos sem pruinescência e brilhante, além de distintas modificações dos tergitos abdominais que em conjunto dão a aparência de abdômen ovalado.

O grupo-ovata s.s. e o grupo-cambuquirensis parecem formar parte de um clado maior que inclui os gêneros *Pilispina* e *Plumispina*. Este clado agrupa todas aquelas espécies que possuem a tíbia posterior com abundante pilosidade ou com muitas setas.

O fato de usar vários caracteres que provavelmente têm um forte componente de dimorfismo sexual pode ser suficientemente aceitável desde que uma arquitetura genética conservada comum dentro dos grupos de espécies possa orientar a convergência evolutiva deste dimorfismo (Bonduriansky 2006).

Enquanto não seja feito um estudo integral das espécies de *Neodexiopsis* e *Coenosia* não podemos fazer maiores conjecturas sobre o possível fato de *Neodexiopsis* não ser um grupo monofilético. Temos que chamar mais uma vez a atenção que várias espécies de *Coenosia* da região Neotropical, principalmente fora da área Austral, poderiam pertencer a *Neodexiopsis*, pois o caracter das três setas pré-apicais no fêmur posterior (presente nestas espécies), não era o principal critério na época de sua descrição.

REFERÊNCIAS BIBLIOGRÁFICAS

- Albuquerque, D. de O. 1956. Redescrição de *Caricea plumiseta* (Stein, 1911) e descrição de duas espécies novas de *Austrocoenosia* Mall., 1934 (Diptera-Muscidae). *Revista Brasileira de Entomologia* 5: 71-80.
- Albuquerque, D. de O. 1957. Um gênero e duas novas espécies de "Coenosiinae" do Brasil (Diptera, Muscidae). *Revista Brasileira de Biologia* 17: 359-365.
- Bonduriansky, R. 2006. Convergent evolution of sexual shape dimorphism in Diptera. *Journal of Morphology* 267: 602-611.
- Carvalho, C.J.B. de. (ed.). 2002. *Muscidae (Diptera) of the Neotropical Region: Taxonomy*. Curitiba, Editora Universidade Federal do Paraná, 287 p.
- Carvalho, C.J.B. de. 1989. Classificação de Muscidae (Diptera): uma proposta através da análise cladística. *Revista Brasileira de Zoologia* 6: 627-648.
- Charlat, S., E.A. Hornett, J.H. Fullard ,N. Davies, G.K. Roderick, N. Wedell & G.D.D. Hurst. 2007. Extraordinary flux in sex ratio. *Science* 317 :214.
- Clegg, S.M. & I.P.F. Owens. 2002. The 'island rule' in birds: medium body size and its ecological explanation. *Proceedings of the Royal Society of London series B*, 269: 1359-1365.
- Costacurta, N.C., M.S. Couri & C.J.B. de Carvalho. 2005. Descriptions of new species with a key to the identification of the genus *Neodexiopsis* Malloch (Diptera, Muscidae) in Brazil. *Revista Brasileira de Entomologia* 49: 353-366.
- Costacurta, N.C., R.C. Marinoni & C.J.B. de Carvalho. 2003. Fauna de Muscidae (Díptera) em três localidades do Estado de Paraná, capturada com armadilha Malaise. *Revista Brasileira de Entomologia* 47: 389-397.
- Couri, M.S. & C.J.B. de Carvalho. 2002. Part II. Apical Groups, p. 133-262. In: Carvalho, C. J. B. de (ed.). *Muscidae (Diptera) of the Neotropical Region: taxonomy*. Curitiba, Editora Universidade Federal do Paraná, 287 p.

- Couri, M.S. 2007. Key to the Afrotropical genera of Muscidae (Diptera). *Revista Brasileira de Zoologia* 24: 175-184.
- Couri, M.S. & S.M. Lopes. 1985. Neotropical genera of Coenosiinae - nomenclatural notes and key to the identification (Diptera, Muscidae). *Revista Brasileira de Biologia* 45: 589-595.
- Couri, M.S. & A.C. Pont. 2000. Cladistic analysis of Coenosiini (Diptera: Muscidae: Coenosiinae). *Systematic Entomology* 25: 373-392.
- Couri, M.S. & D. de O. Albuquerque. 1979. Estudos sobre *Neodexiopsis* Malloch, 1920 com notas nomenclaturais sobre Coenosiinae (Diptera, Muscidae). *Revista Brasileira de Biologia* 39: 499-517.
- Couri, M.S. & A.C. Pont. 1999. A key to the world genera of the Coenosiini (Diptera, Muscidae, Coenosiinae). *Studia dipterologica* 6: 93-102.
- Couri, M. S. & C.J.B. de Carvalho. 2002. Part II. Apical Groups. In Carvalho, C.J.B. de (Ed) *Muscidae (Diptera) of the Neotropical Region: taxonomy*. Editora Universidade Federal do Paraná, Curitiba, p.133-262.
- Farris, J.S. 1982. Outgroups and parsimony. *Systematic Zoology*, 31: 328-334.
- Frank, J.S., P.J. Sreenivasan & M.A. Benshoff. 2004. Invertebrate animals extracted from native tillandsia (Bromeliales: Bromeliaceae) in Sarasota County, Florida. *Florida Entomologist* 87: 176-185.
- Goloboff, P.A. 1993a. PEE-WEE, version 3.0. Program and documentation distributed by the author.
- Goloboff, P.A. 1993b. Estimating character weights during tree search. *Cladistics*. 9: 83-91.
- Goloboff, P.A. 1995. Parsimony and weighting: a reply to Turner & Zandee. *Cladistics*. 11: 91-104.

- Huckett, H.C. & J.R. Vockeroth. 1987. Muscidae. In: McAlpine, J. F., B.V. Peterson, G.E. Shewell, H.J.Teskey, J.R. Vockeroth & D.M. Wood (Eds). Manual of Nearctic Diptera. Ottawa, Agriculture Canada, Research Branch, Monograph 28, vol. II. vi + 675-1332 p.
- Huckett, H.C. 1934. A revision of the North American species belonging to the genus Coenosia Meigen and related genera (Diptera: Muscidae). Part I. The subgenera Neodexiopsis, Coenosia, Hoplogaster and related genera Allognota, Bithoracochaeta and Schoenomyza. Transactions of the American Entomological Society 60: 57-119.
- Malloch, J.R. 1920. Descriptions of new North American Anthomyiidae. Transactions of the American Entomological Society 46: 133-196.
- McAlpine, J.F. 1981. Morphology and terminology – adults. Manual of Nearctic Diptera, Vol. 1 (eds J. F. McAlpine, B. V. Peterson, G. E. Shewell, H. J. Teskey, J. R. Vockeroth & D. M. Wood), pp. 9–63. Research Branch Agriculture Canada Monograph, 27.
- Millien, V. 2006. Morphological evolution is accelerated among island mammals. PLoS Biology 4: 1863-1868.
- Mullen, S.P., Mendelson, T.C., Schal, C., & K.L. Shaw. 2007. Rapid evolution of cuticular hydrocarbons in a genus of acoustically diverse Hawaiian crickets (Gryllidae: Trigonidiinae: *Laupala*). Evolution 61: 223-231.
- Nixon, K.C. & Carpenter, J.M. 1993. On outgroups. Cladistics 9: 413-326.
- Pont, A.C. 1972. Family Muscidae. In: A Catalogue of the Diptera of the Americas South of the United States, Museu de Zoologia, Universidade de São Paulo, 97, 111 pp.
- Rodríguez-Fernández, J.I., C.J.B. de Carvalho & M.O. Moura. 2006. Estrutura de assembléias de Muscidae (Diptera) no Paraná: uma análise por modelos nulos. Revista Brasileira de Entomologia 50: 93-100.

- Skidmore, P. 1985. The biology of the Muscidae of the world. Series Entomologica, 29, 1–550.
- Snyder, F. M. 1957a. Notes and Descriptions of some Neotropical Muscidae (Diptera). Bulletin of the American Museum of Natural History 113: 437–490.
- Snyder, F.M. 1957b. Puerto Rican Neodexiopsis (Diptera: Muscidae: Coenosiinae). Journal of Agriculture of University of Puerto Rico. 41: 207-229.
- Snyder, F.M. 1958. A Review of New World Neodexiopsis (Diptera, Muscidae). The ovata group. American Museum Novitates. 1892: 1-27.
- Tuner, H. & R. Zandee. 1995. The behaviour of Goloboff's tree fitness measure F. Cladistics. 11: 57-72.
- Zuk, M., J.T. Rotenberry & R.M. Tinghitella. 2006. Silent night: Adaptive disappearance of a sexual signal in a parasitized population of field crickets. Biology Letters 2: 521-524.

ANEXO I. Mudanças na chave para espécies de *Noedexiopsis* do Brasil de Couri & Carvalho (2002).

1. Male with anal angle of the wing forming a prominent lobe (Carvalho & Couri 2002: figs. 126-134); female with anal angle truncated 1a
 - Both sexes with rounded anal angle 1d
- 1a Thumb-like extension of the anal area of wing relatively short and broad 1b
 - Thumb-like extension of the anal area of wing relatively long and slender 1c
- 1b Fore femora swollen on basal 0,66. fore tibia with a basoventral concavity which has short, thornlike, AV and PV setulae *N. cambuquirensis*
 - Fore femora not swollen or curved *Neodexiopsis* sp.n.1
- 1c Hind tibia with abundant long setae *Neodexiopsis* sp.n.2
 - Hind tibia without abundant long setae 2
2. Palpus yellow with the basal half darker; antenna brown with apex of pedicel and base of flagellomere yellow; sternite 5 with a row of long setae, forming a tuft (Couri & Carvalho 2002: fig. 121) [Brazil] *N. barbiventris* Couri & Albuquerque
 - Not as above 3
3. Palpus yellow 4
 - Palpus brown 6
4. Legs yellow with the apical third of fore, mid and hind femora brown. Male: antenna with pedicel brown and flagellum brown on basal third and yellow on apical two thirds. Female: antenna entirely yellow [Costa Rica, Panama, Venezuela, Brazil] *N. emmessa* Malloch
 - Legs entirely yellow; antenna different from above *Neodexiopsis* sp.n.3

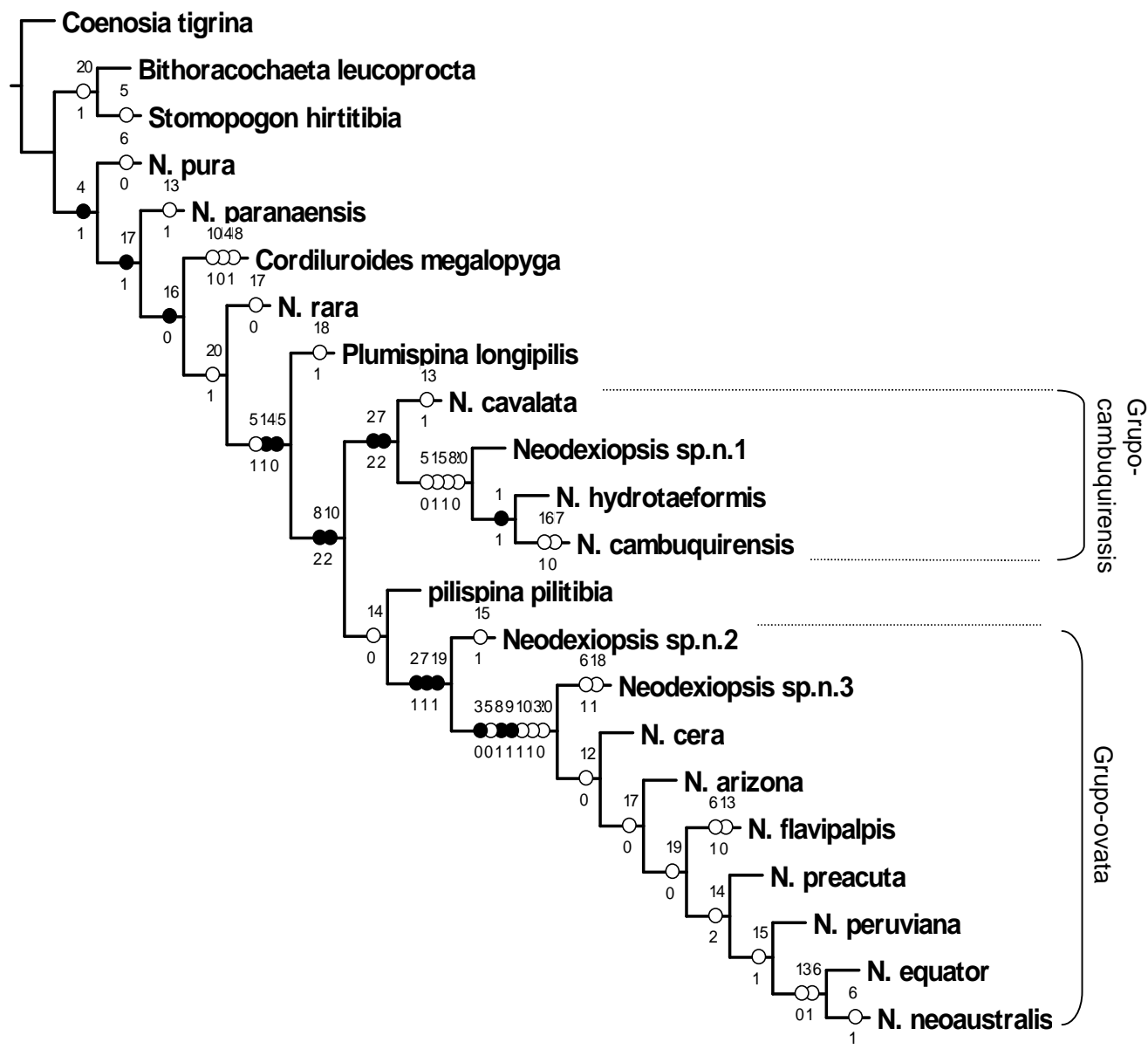


Figura 1. Cladograma com pesagem implícita.

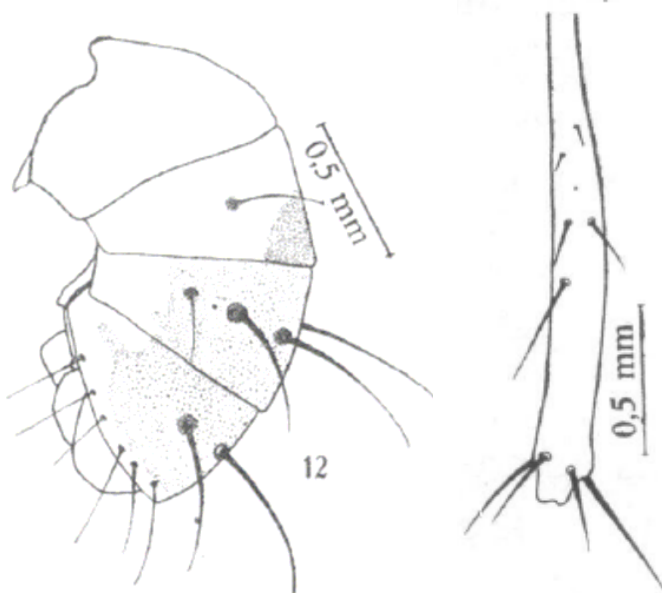


Figura 2. Abdômen e tibia II de *Coenosia latitibia* em vista P. Os mesmos padrões são observados em *Neodexiopsis sp.n. 2*. Redesenhado de Albuquerque (1957).

Tabela 1. Matriz de caracteres

| Terminal taxa | 1 | 2 | 3 | 4 | 5 | 6 | 7 | 8 | 9 | 10 | 11 | 12 | 13 | 14 | 15 | 16 | 17 | 18 | 19 | 20 |
|------------------------------------|---|---|---|---|---|---|---|---|---|----|----|----|----|----|----|----|----|----|----|----|
| <i>Coenosia tigrina</i> | 0 | 0 | 1 | 0 | 0 | ? | 0 | 0 | 0 | 0 | 1 | 0 | 1 | 2 | 1 | 1 | 1 | 0 | 0 | 0 |
| <i>Bithoracochaeta leucoprocta</i> | 0 | 0 | 1 | 0 | 0 | 1 | ? | ? | ? | ? | 1 | 0 | 0 | 2 | 1 | 1 | 1 | 0 | 0 | 1 |
| <i>Stomopogon hirtitibia</i> | 0 | 0 | 1 | 0 | 1 | 1 | ? | ? | ? | ? | 1 | 0 | 0 | 2 | 1 | 1 | 1 | 0 | 0 | 1 |
| <i>pilispina_pilitibia</i> | 0 | 0 | 1 | 1 | 1 | 0 | 0 | 2 | 0 | 2 | 1 | 1 | 0 | 0 | 0 | 0 | 1 | 0 | 0 | 1 |
| <i>Plumispina longipilis</i> | 0 | 0 | 1 | 1 | 1 | 1 | 0 | 0 | 0 | 0 | 1 | 0 | 0 | 1 | 0 | 0 | 1 | 1 | 0 | 1 |
| <i>C megalopyga</i> | 0 | 0 | 1 | 1 | 0 | 1 | 0 | 0 | 0 | 1 | 1 | 0 | 0 | 0 | 1 | 0 | 1 | 1 | 0 | 0 |
| <i>Neodexiopsis arizona</i> | 0 | 1 | 0 | 1 | 0 | 0 | 1 | 1 | 1 | 1 | 1 | 0 | 1 | 0 | 0 | 0 | 0 | 0 | 1 | 0 |
| <i>Neodexiopsis cambuquirensis</i> | 1 | 2 | 1 | 1 | 0 | 1 | 2 | 2 | 0 | 2 | 1 | 0 | 0 | 1 | 1 | 1 | 0 | 1 | 0 | 0 |
| <i>Neodexiopsis cavalata</i> | 0 | 2 | 1 | 1 | 1 | 0 | 2 | 2 | 0 | 2 | 1 | 1 | 1 | 1 | 0 | 0 | 1 | 0 | 0 | 1 |
| <i>Neodexiopsis cera</i> | 0 | 1 | 0 | 1 | 0 | 0 | 1 | 1 | 1 | 1 | 1 | 0 | 1 | - | 0 | 0 | 1 | 0 | 1 | 0 |
| <i>Neodexiopsis equator</i> | 0 | 1 | 0 | 1 | 0 | 0 | 1 | 1 | 1 | 1 | 1 | 0 | 0 | 2 | 1 | 1 | 0 | 0 | 0 | 0 |
| <i>Neodexiopsis flavipalpis</i> | 0 | 1 | 0 | 1 | 0 | 1 | 1 | 1 | 1 | 1 | 1 | 0 | 0 | 0 | 0 | 0 | 0 | 0 | 0 | 0 |
| <i>Neodexiopsis hydrotaeformis</i> | 1 | 2 | 1 | 1 | 0 | 1 | 2 | 2 | 0 | 2 | 1 | 0 | 0 | ? | ? | 0 | 1 | ? | 0 | 0 |
| <i>Neodexiopsis neoaustralis</i> | 0 | 1 | 0 | 1 | 0 | 1 | 1 | 1 | 1 | 1 | 1 | 0 | 0 | 2 | 1 | 1 | 0 | 0 | 0 | 0 |
| <i>Neodexiopsis paranaensis</i> | 0 | 0 | 1 | 1 | 0 | 1 | 0 | 0 | 0 | 0 | 0 | 1 | 0 | 1 | 2 | 1 | 1 | 1 | 0 | 0 |
| <i>Neodexiopsis peruviana</i> | 0 | 1 | 0 | 1 | 0 | 0 | 1 | 1 | 1 | 1 | 1 | 0 | 1 | 2 | 1 | 0 | 0 | - | 0 | 0 |
| <i>Neodexiopsis preacuta</i> | 0 | 1 | 0 | 1 | 0 | 0 | 1 | 1 | 1 | 1 | 1 | 0 | 1 | 2 | 0 | 0 | 0 | 0 | 0 | 0 |
| <i>Neodexiopsis pura</i> | 0 | 0 | 1 | 1 | 0 | 0 | 0 | 0 | 0 | 0 | 1 | 0 | 0 | 2 | 1 | 1 | 0 | 0 | 0 | 0 |
| <i>Neodexiopsis rara</i> | 0 | 0 | 1 | 1 | 0 | 0 | 0 | 0 | 0 | 0 | 1 | 0 | 0 | 2 | 1 | 0 | 0 | 0 | 0 | 1 |
| <i>Neodexiopsis sp.n.1</i> | 0 | 2 | 1 | 1 | 0 | 1 | 2 | 2 | 0 | 2 | 1 | 0 | 0 | 1 | 1 | 0 | 1 | 1 | 0 | 0 |
| <i>Neodexiopsis sp.n.2</i> | 0 | 1 | 1 | 1 | 1 | 0 | 1 | 2 | 0 | 2 | 1 | 1 | 0 | 0 | 1 | 0 | 1 | 0 | 1 | 1 |
| <i>Neodexiopsis sp.n.3</i> | 0 | 1 | 0 | 1 | 0 | 1 | 1 | 1 | 1 | 1 | 1 | 1 | 1 | 1 | 0 | 0 | 0 | 1 | 1 | 0 |

CAPÍTULO IV

O BARCODING DA VIDA SEM DNA? ESPECTROSCOPIA NO INFRAVERMELHO PRÓXIMO E APLICAÇÕES EM SISTEMÁTICA E ECOLOGIA DE COENOSIINAE NEOTROPICAIAS (MUSCIDAE, DIPTERA)

RESUMO

A determinação de uma espécie requer a participação de um especialista para a identificação, fato que pode necessitar de um tempo relativamente longo devido à grande quantidade de espécies existentes e a grande semelhança existente entre elas. Na atual crise da biodiversidade, constantemente procura-se alternativas para incrementar a velocidade de conhecimento sobre a biodiversidade do planeta. A espectroscopia no infravermelho próximo (NIRS pela abreviatura em inglês) é uma técnica não-destrutiva, rápida e não necessita de tratamento prévio. Análises multivariadas combinadas com a técnica NIRS foram utilizadas em um conjunto de espécies de insetos através da refletância difusa para avaliar a discriminação de espécies com distintos níveis de parentesco evolutivo, detectar sinais filogenéticos nos padrões de discriminação e detectar a variação geográfica e sexual em uma mesma espécie. 237 amostras de insetos da família Muscidae e outras famílias de Diptera, assim como outras ordens de insetos (Hymenoptera, Lepidoptera, Hemiptera) foram investigadas. As espécies foram posicionadas diretamente sob o acessório de refletância difusa do espectrofotômetro NIRS (Bomem MB 160), para o registro dos espectros. Foi utilizado o software Unscrambler® 9.6 na construção dos modelos multivariados. O pré-processamento utilizado nos espectros foi a 1^a derivada Savitzky-Golay (Janela de 21 pontos e polinômio de 2^a ordem) e como validação para os modelos multivariados empregou-se a técnica de validação cruzada. Os escores das análises multivariadas refletem uma grande resolução na discriminação correta das espécies, gêneros e subfamílias. O sinal filogenético parece estar presente na matriz de refletância, mas sua intensidade é variável. A variabilidade geográfica numa mesma espécie mostra-se refletida e significativamente quantificada no perfil spectrométrico. A

técnica NIRS combinada com ferramentas quimiométricas através da refletância difusa de insetos mostra-se uma alternativa promissora para estudos biológicos relacionados à determinação de espécies, identificação de padrões evolutivos e detecção de variabilidade geográfica. A técnica NIRS produz uma matriz de dados espectrais e, biologicamente, a história da matriz é a história da vida.

ABSTRACT

The determination of a species requires the participation of an expert for identification, a fact that might require a relatively long time due to the large amount of existing species and the great similarity between different species. In the current crisis of biodiversity, looking up constantly alternatives to increase the speed of knowledge on biodiversity of the planet. The near-infrared spectroscopy (NIRS by the abbreviation in English) is a non-destructive technique, quick and no requires prior treatment. Multivariate Analysis combined with the NIRS technique were used in a number of species of insects through reflectance diffuse to evaluate the discrimination of different species with different levels of kinship rolling, detect signals on phylogenetic patterns of discrimination and, detect the geographical variation in a same species. A total of 237 samples of insects of the family Muscidae and other families of Diptera, as well as other orders of insects (Hymenoptera, Lepidoptera, Hemiptera) were investigated. The species have been placed directly under the reflectance diffuse enhancement of the NIRS spectrophotometer (Bomem MB 160), for the record of the spectra. We used the software Unscrambler ® 9.6 in the construction of the multivariate models. The pre-processing spectra was used in the 1 st derivative Savitzky-Golay (Window of 21 points and polynomial of order 2 nd) and as validation for the multivariate models used to the technique of cross-validation. The scores reflect multivariate analyses of a wide discrimination in the correct resolution of species, genera and subfamilies. The phylogenetic signal seems to be present in the matrix of refletânce, but its intensity varies. The geographical variability in the same kind it is reflected in the profile and significantly quantified espectrometrically. The technique combined with NIRS chemiometric tools through diffuse reflectance of insects is a promising alternative for biological studies related to determination of species, identification of evolutionary patterns and detection of geographical variability. The NIRS technique produces an array of spectral data, and biologically, the history contained in the matrix is the history of life.

INTRODUÇÃO

A história da espectroscopia no infravermelho próximo (NIRS pela abreviação em inglês) começa com Isaac Newton (1642-1727), que realizou uma experiência na qual um feixe de luz solar passava pelo buraco de uma janela numa habitação escura. Colocando um prisma no meio do caminho da luz, Isaac Newton mostrou que a luz branca é composta de diferentes cores. A luz violeta ficava na região mais alta, enquanto a luz vermelha se posicionava na parte mais baixa. Este fato era conhecido antes de Newton, mas ele foi o primeiro a descrevê-lo adequadamente.

Posteriormente, Herschel realizou uma experiência para descobrir a contribuição de cada uma das cores dispersas que chegam na luz branca solar no aumento da temperatura das substâncias expostas a eles. Herschel não parou verificando o que acontecia com a temperatura quando chegava ao final da região da cor vermelha visível da luz dispersada. Contrariamente ao senso comum, ele continuou observando o que acontecia com a temperatura, colocando o termômetro para além desse ponto. Surpreendentemente, ele observou que a temperatura continuou aumentando. Herschel utilizou termômetros com bulbo preto e prismas de vidro que são transparentes para radiação de onda curta do infravermelho próximo e relatou suas realizações referindo-se a essa região como "raios calóricos" encontrados depois do vermelho visível. Esta região foi mais tarde nomeada infravermelho, utilizando o prefixo grego "infra", que significa "abaixo". A primeira parte não visível do espectro electromagnético, havia sido então reportada ao redor do ano 1800 (Pasquini 2003)

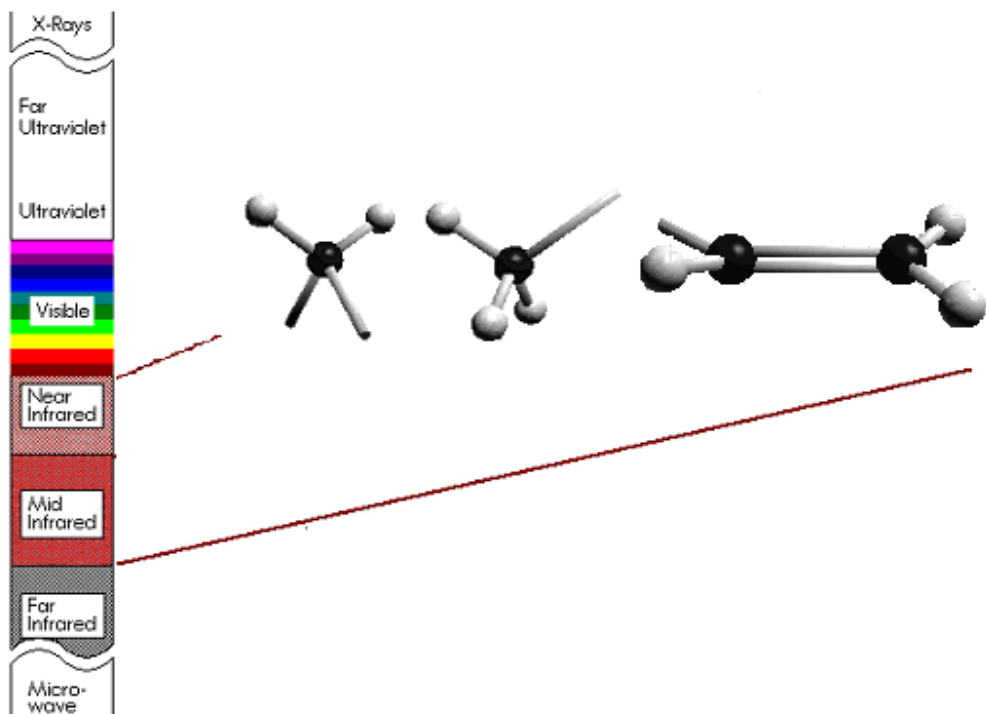


Figura 1. Representação do espectro eletromagnético mostrando a região do infravermelho e que também corresponde às freqüências de vibração molecular. As esferas pretas representam átomos de carbono e as esferas cinzas representam átomos de hidrogênio. (Modificado de Abrams 1992).

A parcela infravermelha do espectro eletromagnético é dividida em três regiões; infravermelho próximo, infravermelho médio e infravermelho longínquo. Os nomes estão relacionados com suas posições em respeito ao espectro visível (figura 1). O infravermelho distante, aproximadamente $10\text{-}400 \text{ cm}^{-1}$ ($1000\text{-}30 \mu\text{m}$) encontrando-se junto à região das microondas, tem a energia baixa e pode ser usado na espectroscopia rotatória (relacionada com a rotação das moléculas). O infravermelho médio, aproximadamente $400\text{-}4000 \text{ cm}^{-1}$ ($30\text{-}1.4 \mu\text{m}$) e o infravermelho próximo aproximadamente $4000\text{-}14000 \text{ cm}^{-1}$ ($1.4\text{-}0.8 \mu\text{m}$) podem ser usados para estudar as vibrações moleculares e a estrutura rotatória-vibratória associada respectivamente. Os

nomes e as classificações destas sub-regiões são meramente convenções. Não existem divisões estritas nem estão baseadas em propriedades moleculares ou eletromagnéticas exatas. A radiação na região do infravermelho (nm) corresponde às freqüências de vibração molecular (figura 1).

Segundo os modelos da mecânica quântica que explicam a vibração molecular, uma molécula pode ganhar ou perder pacotes discretos de energia e vibrar, assim, com maior ou menor intensidade respectivamente. Os pacotes de energia absorvidos ou emitidos podem ser quantificados pela NIRS (figura 2).

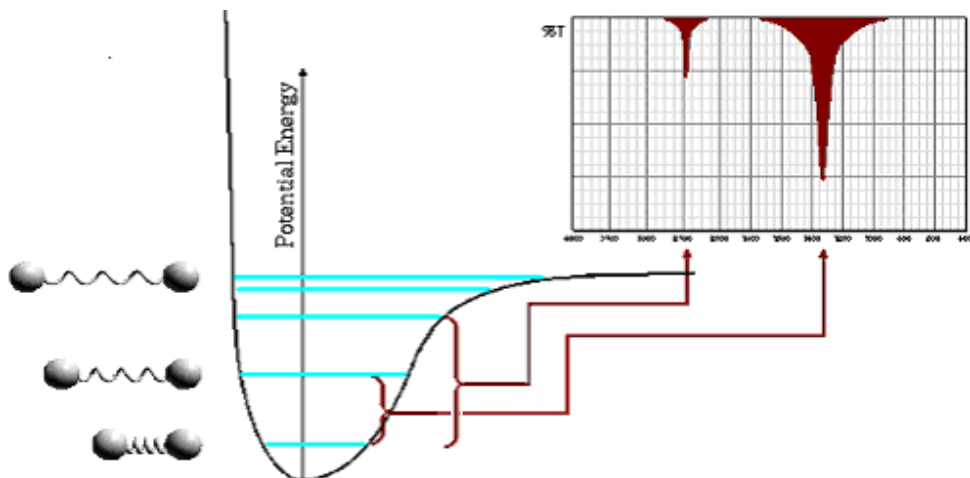


Figura 2. Modelo quântico de vibração molecular. As esferas representam modelos de moléculas de dois átomos com níveis distintos de intensidade vibratória, sendo que quanto maior a distância entre os átomos, mais intensa é a vibração. A curva representa o comportamento da molécula. Do lado esquerdo é mostrado que a molécula tem um limite de compressão, enquanto que do lado direito mostra que pode chegar num ponto que absorve tanta energia que a ligação é quebrada formando assim uma assíntota. As linhas azuis representam os distintos níveis discretos de energia que a molécula pode absorver ou emitir. Cada um desses níveis está relacionado com uma quantidade de energia que pode ser detectada pela NIRS, quantificada e analisada, como podemos observar no diagrama da esquerda (Modificado de Abrams 1992).

Por exemplo, na molécula de água podemos observar três tipos distintos de vibração molecular e cada tipo tem distintas quantidades de energia que podem ser absorvidas ou emitidas. Assim, cada mudança de nível pode ser quantificada, sendo possível saber, apenas pelo perfil infravermelho se essa molécula é ou não uma molécula de água (figura 3).

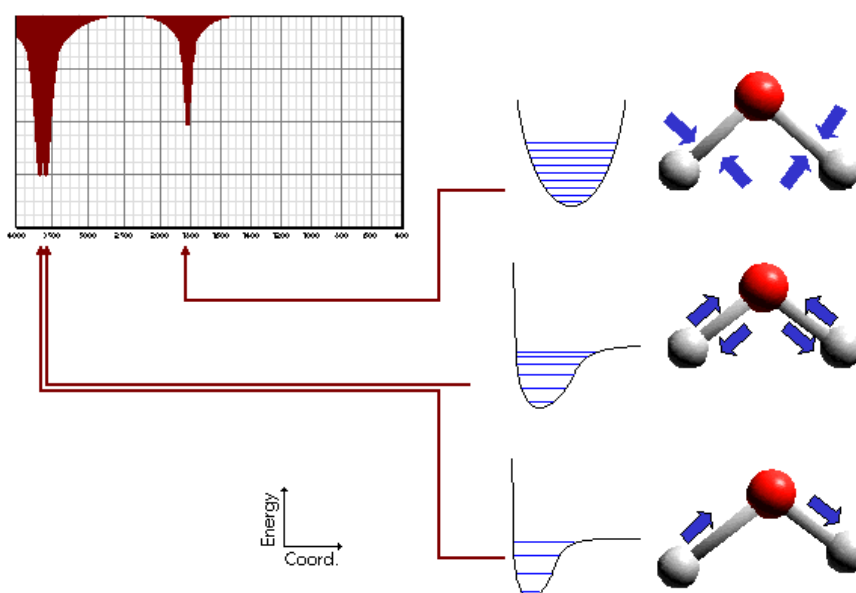


Figura 3. Absorção de energia infravermelha pelos distintos modos de vibração da molécula da água. As setas azuis indicam a orientação em cada modo do movimento vibratório. Ver figura 2 para detalhes (Modificado de Abrams 1992).

Aplicações da NIRS como ferramenta de análise podem ser encontradas em praticamente todas as áreas, desde astronomia, indústria, controle de qualidade, meio ambiente, taxonomia, medicina, etc. Um artigo muito interessante é o artigo intitulado: *an average day (or how near infrared affects daily life)* (Flinn 2005), (ver também outros artigos nesse número).

Pasquini (2003), além de uma revisão geral da técnica demonstra até essa data, quais áreas têm desenvolvido aplicações usando NIRS no Brasil.

A crescente aplicação do NIRS em todas as áreas do conhecimento é o resultado da combinação das seguintes características: A NIRS é um método muito rápido (aproximadamente uma leitura espectral completa por segundo), não gera resíduos sólidos, líquidos ou gasosos, sendo uma tecnologia limpa (ambiental ou ecologicamente correta), requer pouca quantidade da amostra, pode ser implementada *in situ*, geralmente dispensa o tratamento prévio da amostra e principalmente não é invasivo nem destrutivo (Pasquini 2003, Munck 2007).

NIRS e taxonomia biológica

Como ferramenta taxonômica em biologia a NIRS tem sido estudada em distintos taxa desde vírus (Benedict 1955), algas (Chopin et al. 1999), plantas terrestres (Senna et al. 1994, Kim et al. 2004), fungos (Timmings et al. 1998, Wenning et al. 2002, 2006, Zhao et al. 2006), bactérias (Nauman et al 2000, Oberreute et al. 2002, Maquelin et al. 2002, Stackebrandt 2002, Lai et al. 2004, Winder et al. 2004), nematódeos (Ami et al. 2004) (figura 4) e determinação da origem geográfica de plantas (Dharmaraj et al. 2006). Um exemplo particular é a da determinação da correlação genética e da NIRS em relação às mudanças fenotípicas de linhagens de trigo (Jacobsen et al. 2005, Munck 2007).

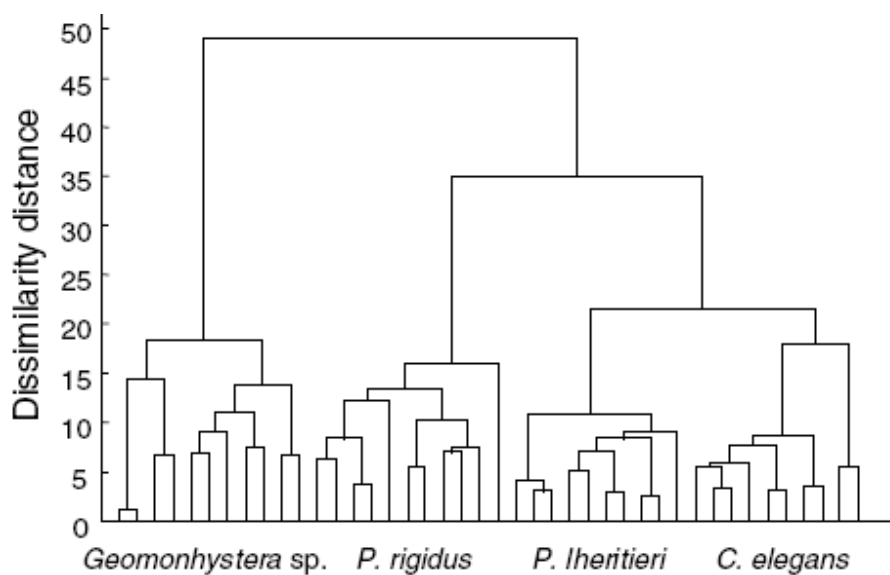
NIRS e Entomologia

Podemos encontrar umas poucas aplicações da NIRS em entomologia, como a determinação *in vivo* da quantidade de sangue ingerida por mosquitos (Hall et al 1990), determinação da idade cronológica em dípteros (Perez-Mendoza et al. 2002) e besouros (Perez-mendoza et al. 2004), a identificação/quantificação do número de fragmentos de insetos em produtos alimentícios de exportação (Perez-Mendoza et al. 2003),

identificação de espécies a partir de adultos de besouros (Dowell et al. 1999), cupins (Aldrich et al. 2007), identificação de pupas de vespas (Cole et al. 2003) e de pupas de algumas espécies de besouros dentro de grãos de trigo (Paliwal et al, 2004), assim como a separação sexual de pupas de dípteros (Dowell, 2005). Duas pesquisas feitas na Itália por Micks & Benedict (1953) e Micks & Scrollini (1954) fizeram possivelmente a primeira aplicação da espectroscopia no infravermelho em insetos. Pelas limitações técnicas daquela época o método ainda era destrutivo e muito intuitivo, mas forneceu resultados suficientemente satisfatórios. Depois, houve um silêncio de 50 anos até os próximos trabalhos usando NIRS em entomologia. O ressurgimento da NIRS possivelmente está relacionado com avanços técnicos e analíticos desenvolvidos recentemente. Mesmo já existindo alguns trabalhos na literatura mostrando a possibilidade da aplicação da NIRS para identificação de insetos, todos os trabalhos usam poucas espécies e nenhum deles avança para um enfoque sistemático ou investigando as relações que possam existir entre a filogenia biológica e os dados obtidos pela NIRS.

NIRS e filogenia

Apenas um trabalho com nematódeos (Ami et al. 2004) tentam fazer intuitivamente uma correspondência entre os dados fornecidos pelo NIRS e hipóteses filogenéticas (figura 4). Os trabalhos de Munck et al. (2004), Jacobsen et al. (2005) e Munck (2007) estudando a correspondência entre o fenótipo avaliado pela NIRS e o genótipo de diferentes linhagens de trigo podem ser incluídos neste item.



| Order | Suborder | Family | Genus, species |
|--------------|--------------|-----------------|--------------------------------|
| Monhysterida | Monhysterina | Monhysteridae | <i>Geomonhystera</i> sp. |
| Rhabditida | Tylenchina | Panagrolaimidae | <i>Panagrolaimus rigidus</i> |
| Rhabditida | Rhabditina | Diplogasteridae | <i>Pristionchus lheritieri</i> |
| Rhabditida | Rhabditina | Rhabditidae | <i>Caenorhabditis elegans</i> |

Figura 4. Relações fenotípicas obtidas mediante NIRS entre quatro espécies de nematódeos e sua coerência com taxonomia baseada em análises filogenéticas. (Modificado de Ami et al. 2004).

JUSTIFICATIVA

Na atual crise da biodiversidade é determinante definir as melhores ferramentas que permitam otimizar o uso dos recursos humanos e financeiros. Os poucos trabalhos que utilizam NIRS em entomologia fornecem evidência sobre um novo tipo de dados biológicos obtidos de maneira limpa, não invasiva e não destrutiva, e principalmente rápida. Sendo assim, a NIRS adquire a relevância necessária para ser avaliada como ferramenta complementar aos estudos morfológicos e moleculares de Insecta.

OBJETIVO

Testar a NIRS como ferramenta taxonômica aplicada na identificação de padrões relacionados com a ecologia e sistemática de dípteros muscoideos principalmente em espécies de *Neodexiopsis* Malloch (Muscidae: Diptera).

Objetivos específicos

Avaliar a NIRS como ferramenta para a identificação das relações filogenéticas em Diptera.

Medir o grau de precisão simultânea na identificação múltipla de espécies de Diptera utilizando NIRS.

Determinar a capacidade da NIRS para reproduzir possíveis padrões fenotípicos e/ou espaciais de isolamento geográfico em populações de dípteros muscoídeos.

Quantificar o sinal filogenético dos dados obtidos pela NIRS em linhagens monofiléticas de Diptera.

MATERIAL E MÉTODOS

Insetos

Foram investigadas 345 amostras de insetos da família Muscidae e outras famílias de dípteros, assim como outras ordens de insetos.

Na medida da disponibilidade uniformizou-se a amostragem dos exemplares segundo sexo ou localidade.

Instrumentação

Todos os espectros foram obtidos usando um espectrofotômetro FT-NIR BOMEM MB-160 (ABB, Canadá) equipado com uma fonte de luz de tungstênio-halogênio e um detector InGaAs operando na região de 800 até 2500 nm usando software próprio.

Na literatura, pode se encontrar trabalhos que obtêm o espectro NIR de insetos utilizando acessórios baseados no uso de fibras óticas. Numa primeira tentativa para a obtenção das amostras disponíveis, o uso de fibras óticas acopladas com o NIRS apresentou um sinal muito fraco de forma que foi usado um acessório de refletância.

A média de 50 espectros foi obtida de cada indivíduo e a medição foi repetida geralmente quatro vezes na maioria dos exemplares em distintas posições sobre o acessório para garantir a obtenção de um sinal adequado e representativo. O tempo médio de cada leitura foi de aproximadamente um minuto para 50 varreduras em cada exemplar.

Pré-processamento

O pré-processamento dos espectros foi a 1^a derivada Savitzky-Golay (Janela de 21 pontos e polinômio de 2^a ordem) e alisamento (janela de 7 pontos).

Regiões com “ruído” foram detectadas e eliminadas mediante a visualização dos espectros previamente às análises estatísticas.

Análise estatística

Em todas as análises usou-se a mesma estratégia mudando apenas os grupos analisados: foram construídos modelos multivariados SIMCA (*soft independent modelling of class analogy*) (Tominaga 1988) que são um tipo particular de componentes principais

(PCA) mediante o software Unscrambler 9.6. Como validação para os modelos multivariados empregou-se a técnica de validação cruzada (Hubert & Engelen 2007).

Para quantificar o grau de sucesso na identificação simultânea de múltiplas espécies de *Neodexiopsis*, os autovalores do SIMCA foram avaliados mediante uma análise discriminante. Assim é possível obter as distâncias de Mahalanobis e pode-se usar então a estatística Kappa (Landis & Koch 1977) para avaliar o grau de certeza entre a classificação conhecida e a classificação proposta pela NIRS.

Em todos os casos indica-se abaixo da figura a contribuição de cada eixo na variação total.

Finalmente construiu-se uma matriz de distâncias filogenéticas e uma matriz de distâncias espectrais das espécies do grupo ovata e mediante o teste de Mantel, quantificou-se a presença de um sinal filogenético nos dados espectrais.

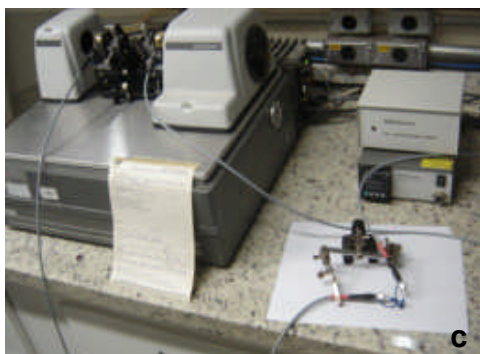
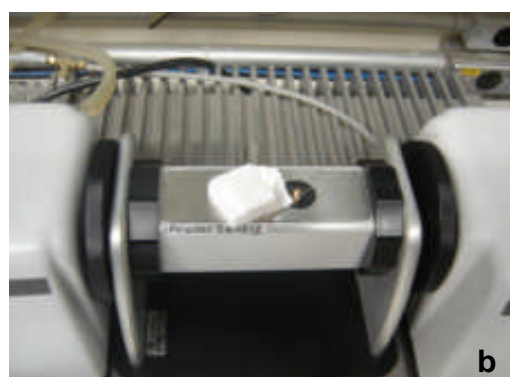


Figura 5. Detalhe do processo de obtenção dos espectros: a) exemplar de *Neodexiopsis* sp. b) Mesmo exemplar de *Neodexiopsis* sp. acondicionado em isopor sobre o acessório de refletância. c) Detalhe do equipamento com fibras óticas. d) Detalhe do equipamento acoplado com os computadores.

RESULTADOS

O primeiro resultado importante é a capacidade de obter um sinal espectrométrico (figura 5). A faixa espectral relevante após a eliminação do ruído foi de 1150 até - 2500 nm.

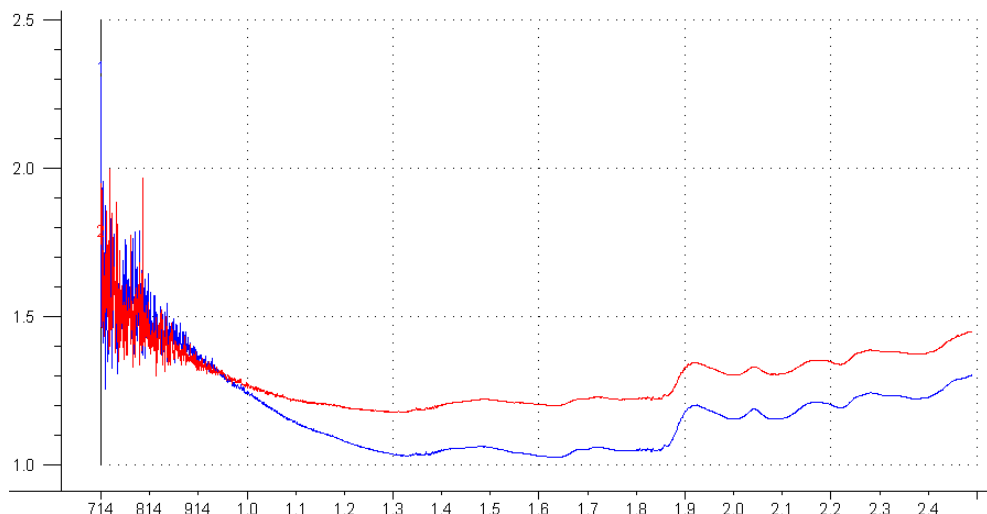


Figura 6. Dois exemplos do perfil espectral inicial de *Pilispina pilitibia* Albuquerque, 1954, (vermelho) e *Mydaea plauummani* Snyder, 1941 (azul). Note-se a região com ruído entre 714 até 1150 nm aproximadamente.

Pode-se observar que os perfis espetrais de distintas ordens de insetos têm um padrão similar. Isto é mais evidente quando observa-se os espectros apenas dos muscídeos depois de ter feito o corte das regiões que só apresentam ruído (figuras 6 e 7).

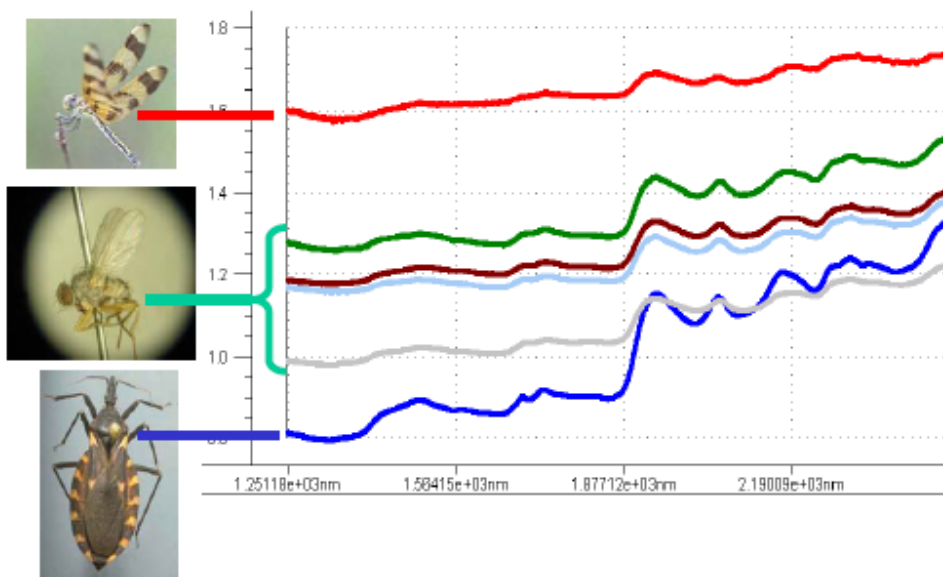


Figura 7. Exemplos dos espectros de Odonata, Heteroptera e Diptera. O eixo x indica o cumprimento de onda em nm. Os espectros em marrom e azul claro são a mesma espécie de mosca (*Neodexiopsis flavipalpis* Albuquerque, 1956) porém de distintas localidades. O espectro cinza é uma espécie do mesmo gênero que as anteriores mas de outra espécie (*Neodexiopsis fulvifrontis* Couri & Albuquerque, 1979). O espectro verde é de uma mosca de um gênero diferente porém da mesma tribo (*P. pilitibia*) .

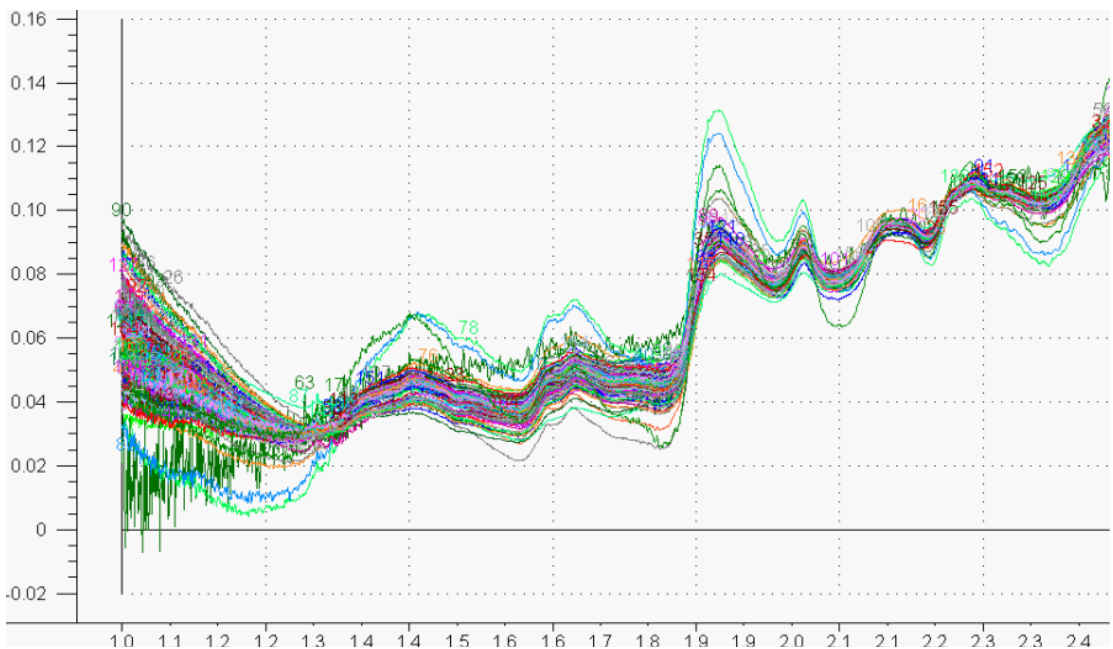


Figura 8. Espectros de refletância originais. Cada exemplar está representado por uma linha colorida formada de 2113 pontos que, no eixo x, representam 2113 cumprimentos de onda distintos (em nm).

Linhagens de Diptera

Quando avalia-se os padrões dos espectros de algumas linhagens maiores dentro de Diptera usando análises multivariadas, observa-se que as duas principais linhagens dentro de Diptera, as subordens Nematocera e Brachycera, são os grupos que melhor podem ser discriminados. O diagrama formado pelos dois primeiros componentes principais, além de representar 91 % da informação total dos espectros (81+10%), praticamente divide em duas partes o diagrama, do lado superior os nematóceros e o lado inferior os braquíceros (fig. 8).

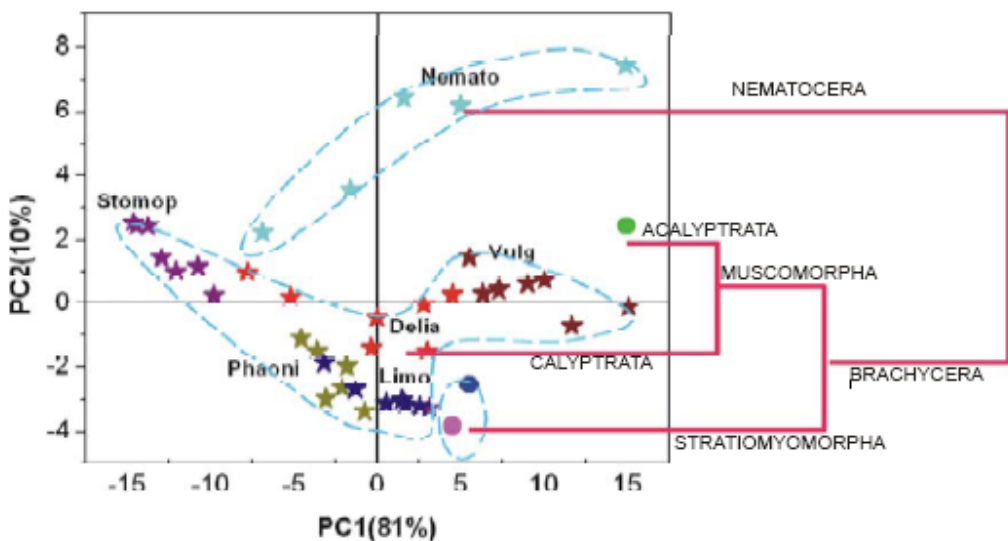


Figura 9. Relações das principais linhagens de Diptera segundo a análise de componentes principais de seus espectros no infravermelho próximo. O cladograma de linhas vermelhas representa as hipóteses de relacionamento evolutivo em Diptera (adaptado de Yeates & Wiegmann 2005). O diagrama definido pelos PC1 e PC2 (componente principal 1 e 2 respectivamente) mostra a disposição dos exemplares segundo seu espectro infravermelho. As linhas azuis entrecortadas agrupam as distintas linhagens. Nemato=Nematocera Latreille; Vulg=*Neodexiopsis vulgaris* Couri & Albuquerque, 1979; Delia=*Delia platura* (Meigen, 1826); Phaoni=*Phaonia* sp.; Limo=*Limnophora* sp.; Stomop=*Stomopogon* sp. *N. vulgaris*, *D. platura*, *Phaonia* sp. *Limnophora* sp. e *Stomopogon* sp. são muscoídeos. Os valores entre parênteses são a contribuição de cada componente na variação total.

Ressalta também a disposição dos muscoídeos dentro deste diagrama: Observa-se que a distribuição dos indivíduos de cada um destes grupos quase não está sobreposta com a distribuição dos outros grupos próximos dentro do diagrama.

Em geral vê-se que existe uma correspondência entre o padrão detectado pela NIRS e o padrão evolutivo de diversificação em Diptera.

Muscidae/Coenosinae

Quando se usa alguns exemplares de cada subfamília neotropical de Muscidae, pode-se observar que cada subfamília tem um perfil particular. O único perfil sobreposto entre outros é o perfil de Phaoniinae sobreposto em pequena proporção com Mydaeinae e Musciinae (figuras 9 e 10). Observa-se que pode-se refazer parcialmente a hipótese de relacionamento das subfamilias de Muscidae proposto por Couri & Carvalho (2003) (figuras 9 e 10).

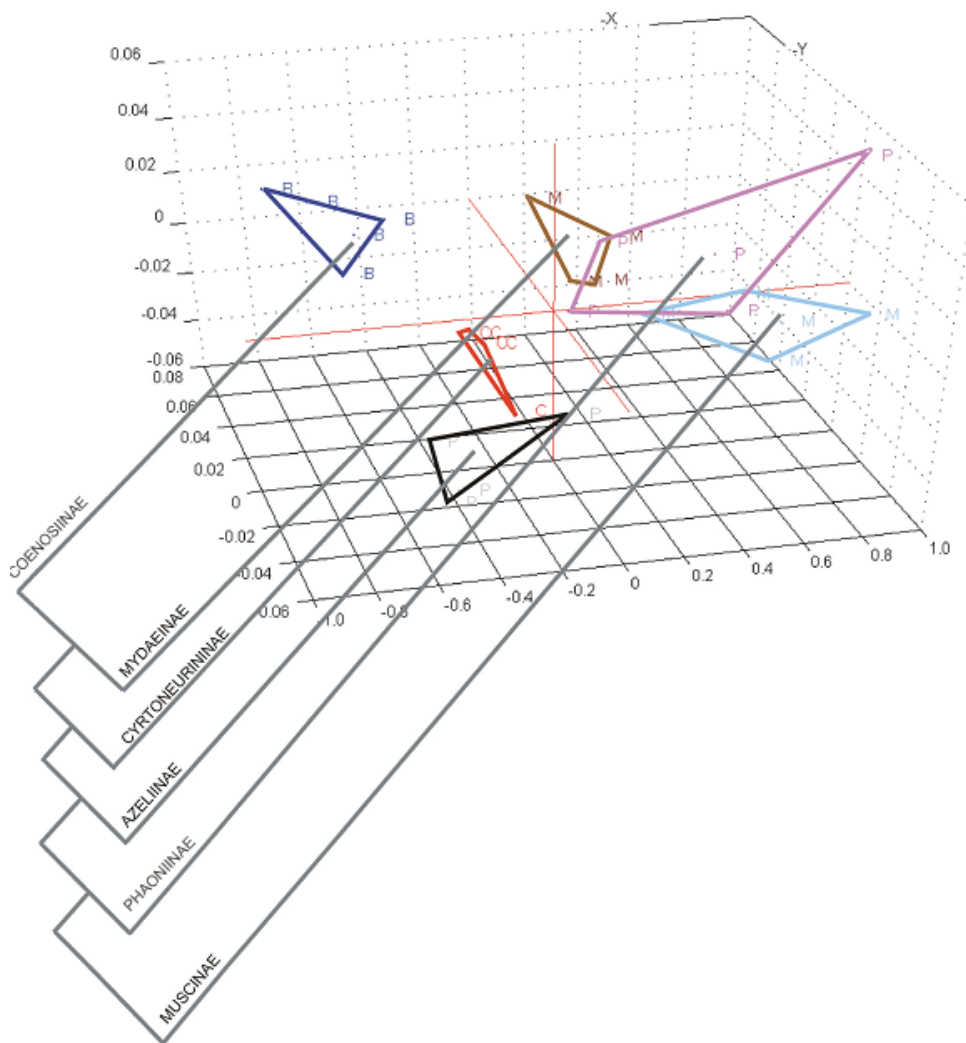


Figura 10. Relação das subfamílias de ocorrência neotropical de Muscidae segundo seu espectro infravermelho incluindo apenas Coenosiini para Coenosiinae. O dendrograma em marrom é a reconstrução da filogenia para as subfamílias de Muscidae segundo Couri & Carvalho (2003).

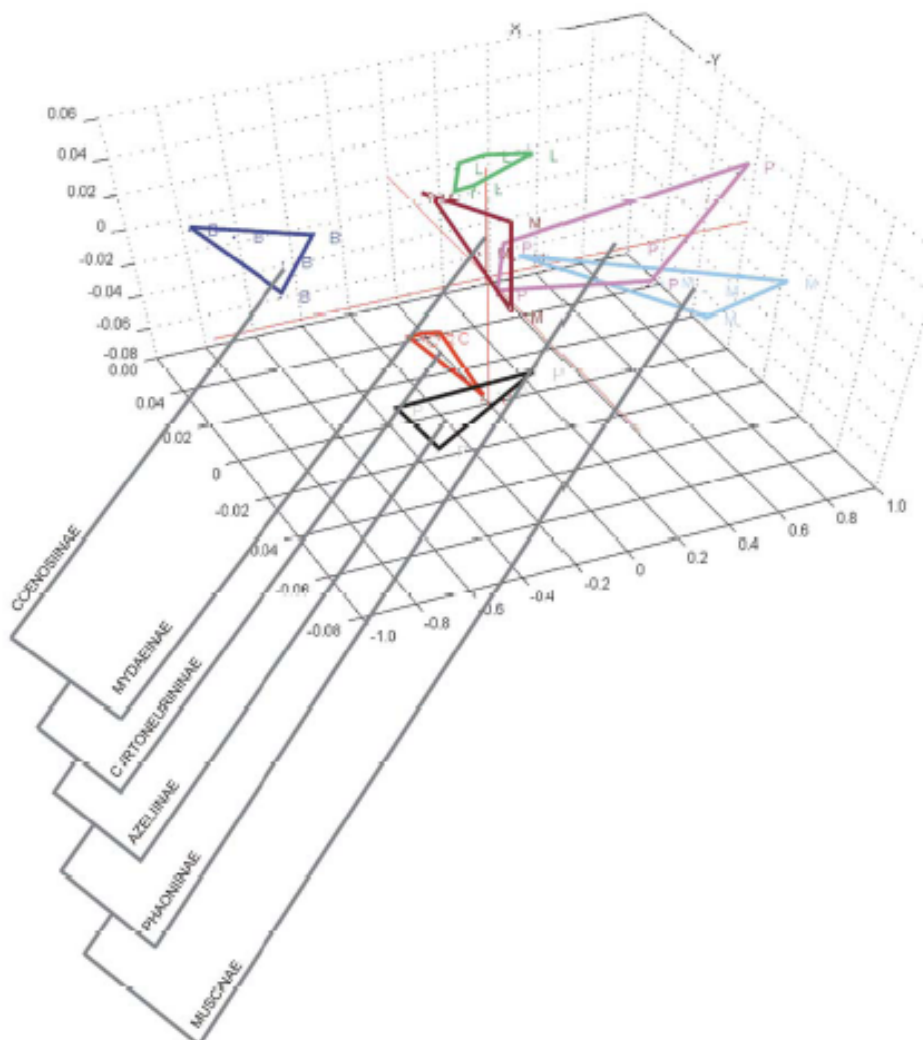


Figura 11. Relação das subfamílias de ocorrência neotropical de Muscidae segundo seu espectro infravermelho incluindo Coenosiini-Limnophorini para Coenosiinae. O dendrograma em marrom é a reconstrução da filogenia para as subfamílias de

Muscidae segundo Couri & Carvalho (2003). Observe-se o posicionamento de Limnophorini (em verde) afastado de Coenosiini.

Um fato muito particular é observado quando refaz-se a análise não apenas utilizando representantes da tribo Coenosiini para a subfamília Coenosiinae mas também representantes da tribo Limnophoriini e observa-se que, Coenosiini e Limnophoriini têm perfis pouco similares (figura 10). O perfil de Coenosiini permanece distanciado dos perfis das outras subfamílias enquanto o perfil de Limnophorini fica próximo dos perfis de Mydaeinae e Phaoniinae. A distância entre os perfis das duas tribos é maior que a distância entre qualquer um de ambos perfis com outras subfamílias. Isto fica claro quando observamos sua distribuição no eixo X que representa mais do 90% da variação total. Sobre o eixo X as duas tribos estão numa distância maior entre elas que em relação com outras subfamílias. A aparente topologia da distribuição das subfamílias no diagrama factorial muda muito pouco com a inclusão/exclusão de Limnophoriini na análise (figuras 9 e 10).

Quando avalia-se o poder do NIRS dentro da subfamília Coenosiinae podemos observar que em geral é possível separar os exemplares de qualquer uma das duas tribos de Coenosiinae: Limnophoriini ou Coenosiini (figura 11).

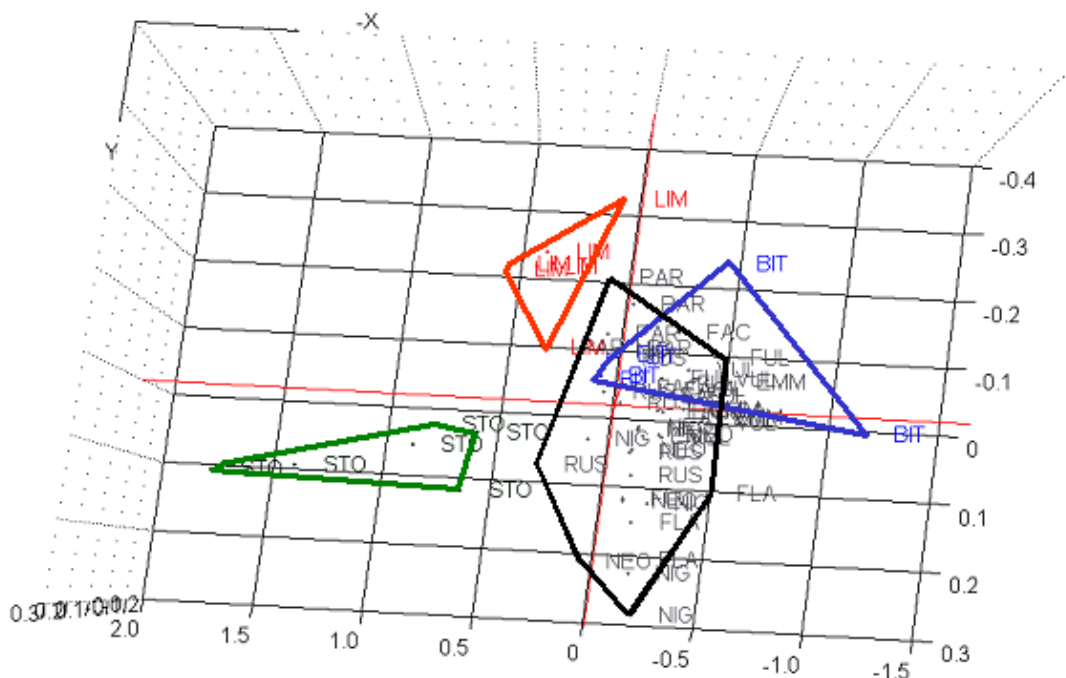


Figura 12. Relações dentro de Coenosiinae. zinça: Distintas espécies de *Neodexiopsis*; verde: *Stomopogon*; azul: *Bithoracochaeta*; vermelho: Limnophorini; linha azul: *Bitoracochaeta*; linha verde: *Stomopogon*. EMME=*N. emmesa*; FAC=*N. facilis*; FUL=*N. fulvifrontis*; NEO=*N. neoaustralis*; NIGE=*N. nigerrima*; PARA=*N. paranaensis*; RUS=*N. rustica*; VULG=*N. vulgaris*; STO=*Stomopogon* sp.; BIT=*Bitoracochaeta* sp.; LIM=*Limnophora* sp. CP1=86%; CP2=6%; CP3=2%.

A sobreposição entre as duas tribos é marginal. É importante também mostrar que além de distinguir as duas tribos mediante o NIRs, dentro da tribo Coenosiini, *Stomopogon* sempre apresenta-se menos relacionado com as espécies de *Neodexiopsis* e *Bithoracochaeta* como acontece na filogenia da tribo (Couri & Pont 2000) (figuras 11 e 12 e capítulo II). Finalmente *Bithoracochaeta* e as várias espécies de *Neodexiopsis* aparentemente estão sobrepostas. No entanto, um exame minucioso mostra que todos os

exemplares de *Bithoracochaeta* são marginais ao espaço compreendido pelas espécies de *Neodexiopsis* (figura 11).

Pode-se observar que dependendo da combinação de grupos obtém-se maior resolução na definição dos grupos, como é o caso quando elimina-se *Bithoracochaeta* da análise e ainda depois elimina-se *Limnophora* (dados não apresentados).

Quando incorpora-se exemplares da subfamília Phaoniinae na análise (figura 12), eles posicionam-se no meio dos Coenosiinae contrariamente ao esperado, pois supunha-se que Coenosiini e Limnophorini fizessem parte de uma subfamília monofilética que não é o grupo irmão de Phaoniinae desde Hennig (1965).

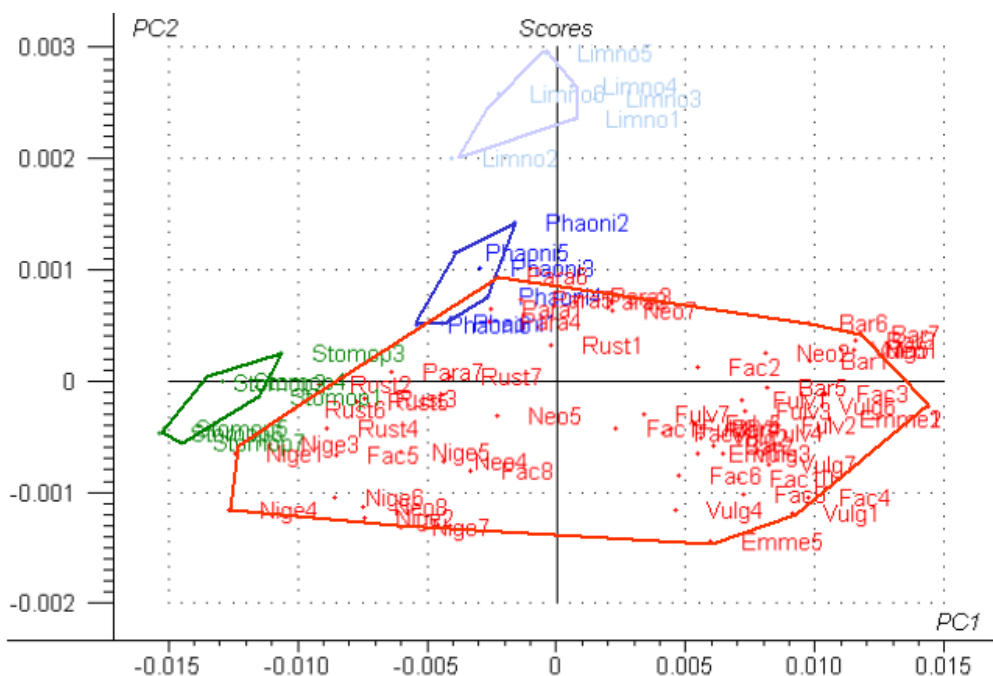


Figura 13. Relações de Coenosiinae incluindo a subfamília Phaoniinae.

espécies de *Neodexiopsis*

No caso de identificação de espécies, pode-se observar que enquanto o número de espécies é pequeno, discrimina-se visualmente a identidade de cada espécie. Assim,

quando utiliza-se apenas duas espécies para definir sua identidade, pode-se obter uma resolução do 100%: *N. flavipalpis*, *N. fulvifrontis* e *N. paranaensis* Costacurta, Couri & Carvalho, 2005 com *N. nigerrima* (Malloch, 1934) (figuras 13 e 14).

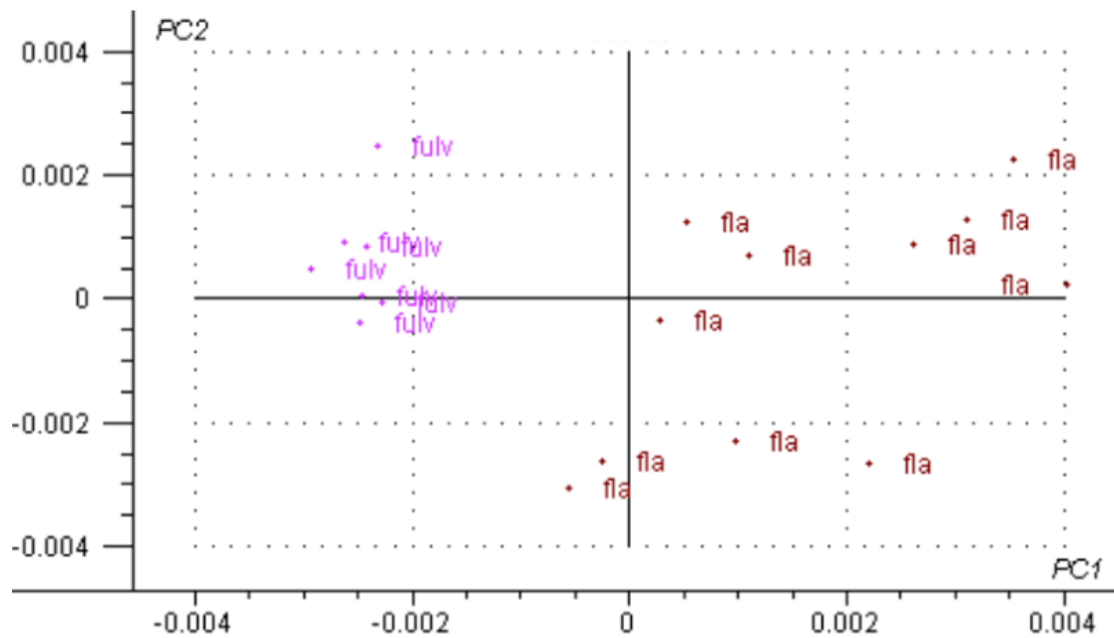


Figura 14. Discriminação de duas espécies de *Neodexiopsis*. fla= *N. flavipalpis*; fulv= *N. fulvifrontis*. CP=42%; CP2=20%.

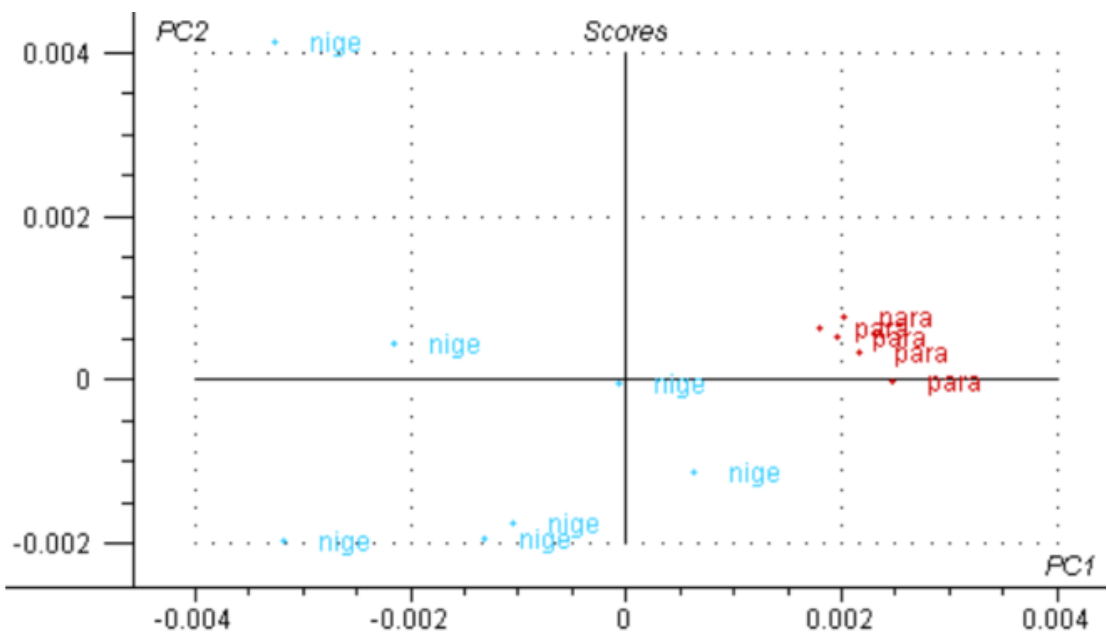


Figura 15. Discriminação de duas espécies de *Neodexiopsis*. nige=*N. nigerrima*; para=*N. parananensis*. CP1=46%; CP2=28%.

Com três espécies do mesmo gênero na mesma análise também podemos obter 100% de resolução: *N. paranaensis*, *N. rustica* (Albuquerque, 1956), *N. vulgaris* Couri & Albuquerque, 1979 e, *N. barviventris*, *N. vulgaris*, *N. fulvifrontis* (figuras 15 e 16).

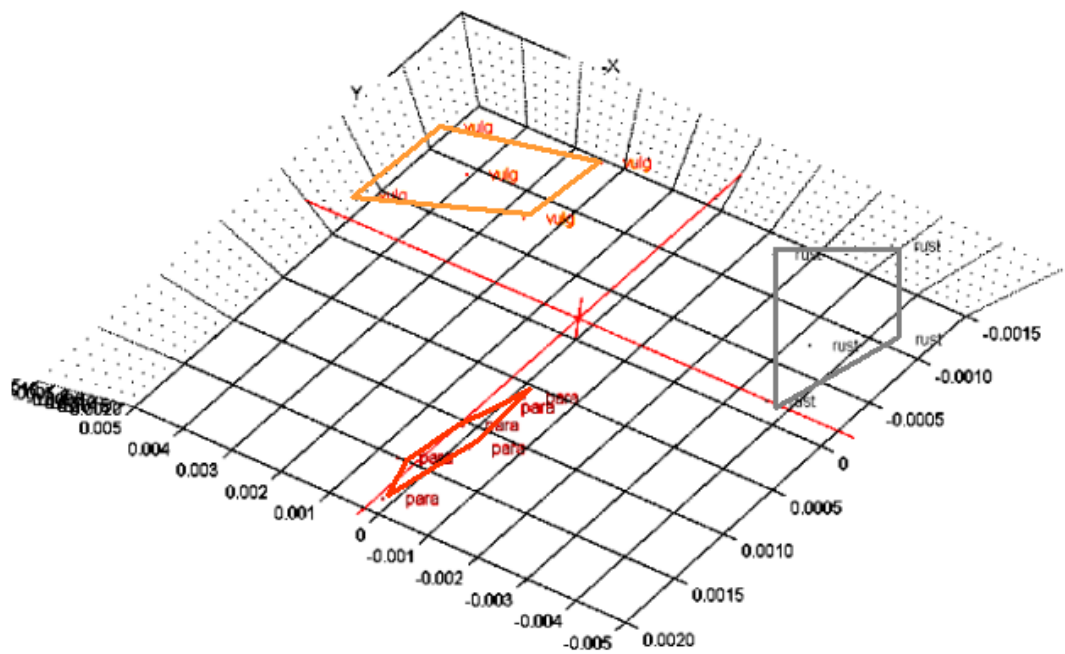


Figura 16. Discriminação de três espécies de *Neodexiopsis*. rust=N. *rustica*; vulg=N. *vulgaris*; para=N. *paranaensis*. CP1=62%; CP2=9% e CP3=5%

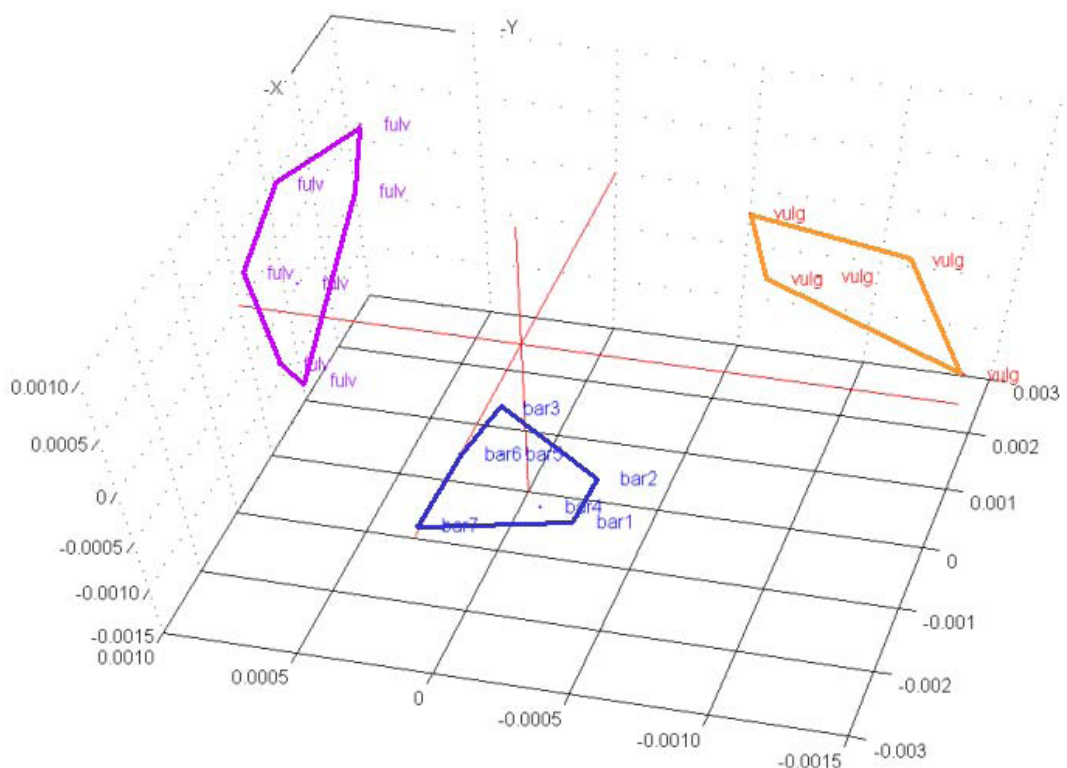


Figura17. Discriminação de três espécies de *Neodexiopsis*. Fulv=*N. fulvifrontis*; bar= *N. barviventris*; vulg=*N. vulgaris*. CP1=51%; CP2=11% e CP3=6%.

Com o incremento de espécies a visualização se faz menos clara (figura 17). Então usa-se a estatística Kappa que mede o grau de concordância estimada entre uma classificação observada e esperada.

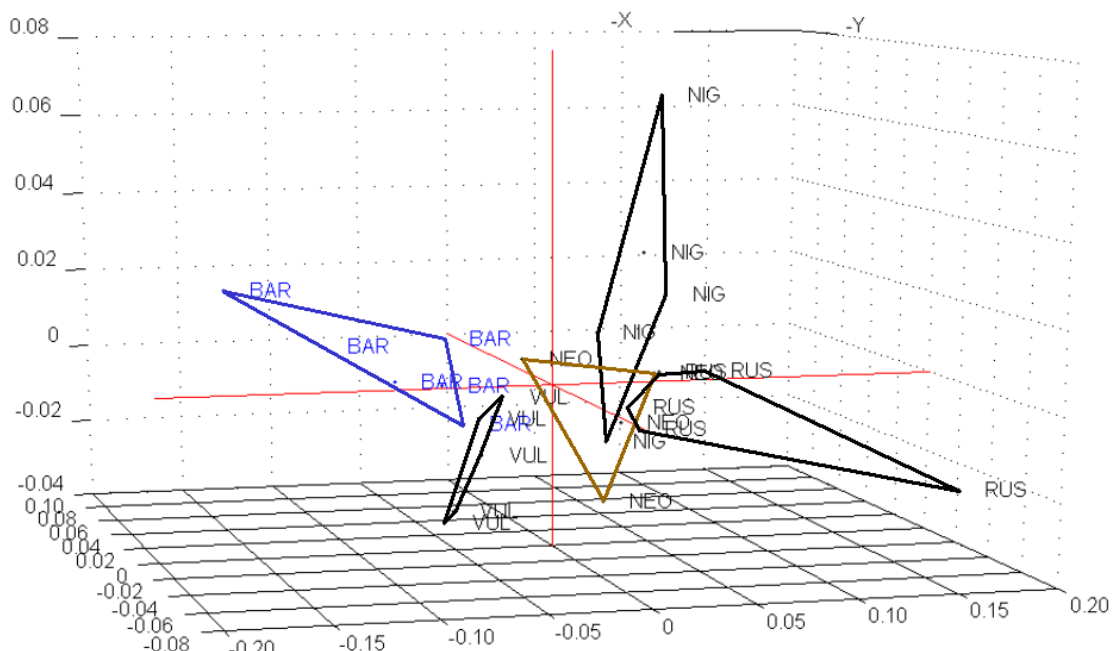


Figura 18. Discriminação de cinco espécies de *Neodexiopsis*. vulg=*N. vulgaris*; *N. nigerrima*; *N. rustica*; *N. neoaustralis* Snyder, 1957; *N. barviventris*.

Depois de usar a estatística Kappa para saber o grau de certeza na identificação simultânea das espécies de *Neodexiopsis* (*N. barviventris*, *N. emmesa* (Malloch, 1934), *N. facilis*, *N. fulvifrontis*, *N. neoaustralis*, *N. nigerrima*, *N. paranaensis*, *N. rustica* e *N. vulgaris*) foram obtidos os seguintes intervalos porcentuais de sucesso para a identificação de cada espécie: 83.33%, 50.00%, 83.33%, 80.00%, 100%, 75.00% 100%,

80% e 60% (tabela 1). A prova Kappa feita sobre os valores obtidos para a classificação das espécies feita apenas usando seu perfil espectral, obteve um valor de Kappa de 0,8081. Um valor entre 0,81 e 1 é considerado quase perfeito até perfeito (Landis & Koch, 1977).

Tabela 1. Congruência em número de indivíduos e porcentagem, entre a identificação observada (última linha) e a identificação predita pela NIRS (última coluna). bar=N. *barviventris*, emme=N. *emmesa*, fac=N. *facilis*, fulv=N. *fulvifrontis*, neo=N. *neoaustralis*, nige=N. *nigerrima*, para=N. *paranaensis* rus=N. *rustica*, vulg=N. *vulgaris*. O primeiro valor é o número de indivíduos e o segundo valor é a porcentagem de sucesso/error. Observar a linha diagonal com início na primeira linha e a primeira coluna.

| | bar | emme | fac | fulv | neo | nige | para | rust | vulg | |
|------|------------|------------|------------|------------|-------------|------------|-------------|------------|------------|----|
| bar | 5 83,33 | 0 0,00 | 0 0,00 | 0 0,00 | 0 0,00 | 0 0,00 | 0 0,00 | 0 0,00 | 0 0,00 | 5 |
| emme | 1 16,67 | 2 50,00 | 0 0,00 | 0 0,00 | 0 0,00 | 1 25,00 | 0 0,00 | 0 0,00 | 2 40,00 | 6 |
| fac | 0 0,00 | 1 25,00 | 5 83,33 | 1 20,00 | 0 0,00 | 0 0,00 | 0 0,00 | 0 0,00 | 0 0,00 | 7 |
| fulv | 0 0,00 | 0 0,00 | 1 16,67 | 4 80,00 | 0 0,00 | 0 0,00 | 0 0,00 | 0 0,00 | 0 0,00 | 5 |
| neo | 0 0,00 | 0 0,00 | 0 0,00 | 0 0,00 | 4 100,00 | 0 0,00 | 0 0,00 | 1 20,00 | 0 0,00 | 5 |
| nige | 0 0,00 | 0 0,00 | 0 0,00 | 0 0,00 | 0 0,00 | 3 75,00 | 0 0,00 | 0 0,00 | 0 0,00 | 3 |
| para | 0 0,00 | 0 0,00 | 0 0,00 | 0 0,00 | 0 0,00 | 0 0,00 | 5 100,00 | 0 0,00 | 0 0,00 | 5 |
| rust | 0 0,00 | 0 0,00 | 0 0,00 | 0 0,00 | 0 0,00 | 0 0,00 | 0 0,00 | 4 80,00 | 0 0,00 | 4 |
| vulg | 0 0,00 | 1 25,00 | 0 0,00 | 0 0,00 | 0 0,00 | 0 0,00 | 0 0,00 | 0 0,00 | 3 60,00 | 4 |
| | 6 | 4 | 6 | 5 | 4 | 4 | 5 | 5 | 5 | 44 |

Variabilidade geográfica

Na análise sobre a variabilidade geográfica de *N. flavipalpis* observa-se que a NIRS consegue reconstruir a origem geográfica de cada população. Outro fato que merece destaque, após orientar os eixos do mapa factorial, é a correspondência topológica entre a distribuição dos grupos dentro do diagrama e a relação espacial das localidades de origem.

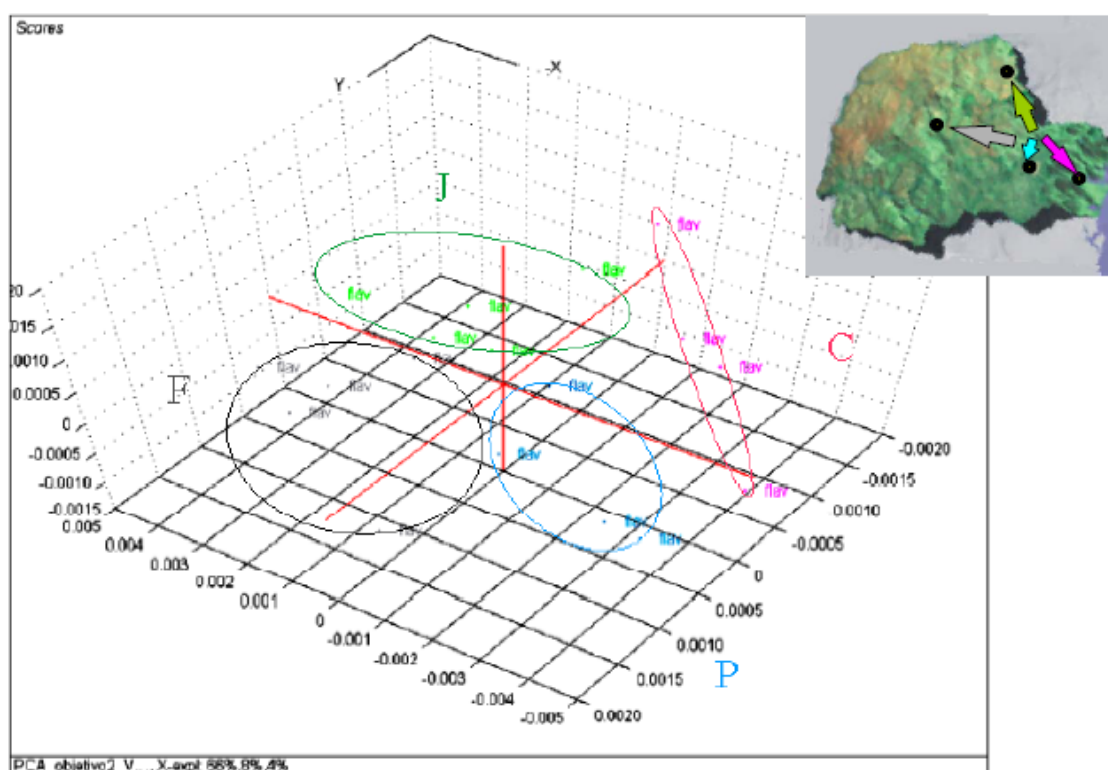


Figura 19. Diferenciação mediante NIRS de 4 populações de *N. flavipalpis*. C=Colombo; P=Ponta Grossa, F=Fênix e J=Jundiaí do Sul.

Quantificação do sinal filogenético

O teste de Mantel foi avaliado mediante 2000 aleatorizações. Obteve-se uma correlação matricial de -0.19462, $t=-0.9116$, com probabilidade aleatória de $Z < Z_{\text{obs.}}$; $p= 0.1810$. Isto indica um baixo nível de correlação inversamente proporcional entre as matrizes.

DISCUSSÃO

A literatura entomológica demonstra a importância dos hidrocarbonetos cuticulares para prevenir dessecação, como barreira para microorganismos e outras numerosas funções bioquímicas, fisiológicas e semioquímicas (Howard & Blomquist 2005). São também muito importantes nos sinais visuais e/ou químicos de reconhecimento intra e interespecífico (Howard e Blomquist 2005). A NIRS não só detectaria os hidrocarbonetos cuticulares, o que já seria muito importante, mas também o sinal de outro tipo de moléculas presentes em menor quantidade e que possuem os grupos O-H, C-H, N-H e C=O em alguma parte de sua estrutura (Kradjel, 1991).

O integumento, do ponto de vista de sua composição, é parte da expressão fenotípica de um inseto. Assim, sendo avaliado como um caráter, vai ter um comportamento similar a outros tipos de expressão fenotípica e/ou genotípica como por exemplo a etologia, a morfologia ou a biologia molecular.

Dependendo da pergunta, em genômica, geralmente tem sido usado o genoma mitocondrial para estudos de variações de médio prazo, enquanto que genes nucleares podem responder melhor a perguntas de longo prazo (Lin & Danforth 2004). Em morfologia, da mesma forma, caracteres que permitem distinguir espécies irmãs, provavelmente não serão relevantes se procura-se caracteres para distinguir as principais linhagens, como ordens.

Assim, para analisar os dados do NIRS não seria prudente analisar simultaneamente padrões gerados em escala evolutiva (milhões de anos) e em escala ecológica (desde poucas gerações até alguns milhares de anos). Dessa maneira, dá-se coerência entre o tipo de pergunta e as sucessivas análises escolhidas para responder estas perguntas. Por exemplo: se for incluído um grupo de nematóceros dentro da análise de diferenciação geográfica intraespecífica, perderia-se todo o sinal relevante gerado pelo isolamento geográfico.

Linhagens de Diptera

Sem entrar na discussão de que Nematocera não é monofilético e usando apenas este nome com fins práticos, a NIRS corrobora a distinção entre dípteros superiores e inferiores (Nematocera s.l. e Brachycera) já consagrada na literatura dipterológica desde Latreille (1802) até Yeates & Wiegmann (2005). Assim também é proposta mais uma evidência (os dados da NIRS) que poderia ser convertida em um ou vários caracteres que complementem os estudos filogenéticos entre as grandes linhagens de Diptera.

Dentro da mesma linha de raciocínio anterior, o fato de ter uma discriminação relativamente boa entre os Muscidae dentro do mesmo diagrama, com os Nematóceros, demonstra duas coisas: por um lado a diferenciação entre esses gêneros é significativa o suficiente para não ser ocultada pela influência de um grupo tão diferente como Nematocera e segundo, apesar da presença de Nematocera, os grupos de muscídeos mantêm-se como uma unidade relativamente natural.

Muscidae/Coenosiinae

Como esta é uma análise exploratória, apenas vai-se discutir as tendências gerais do resultado obtido para Muscidae. Em primeiro lugar observa-se que com os

perfis das subfamílias tem-se um espaço espectral em cujos extremos se dispõem *Muscinae* por um lado e *Coenosiinae* (*Coenosiini*) por outro.

Na figura 9 observa-se que se pode reconstruir a hipótese de Couri & Carvalho (2003). Também pode-se obter a separação das subfamílias chamadas de grupos basais (*Musciinae*, *Phaoniinae* e *Azeliinae*) e os grupos chamados de apicais (*Cyrtoneurininae*, *Mydaeinae*, *Coenosiinae*), segundo Carvalho (2002).

Em relação à proximidade de *Limnophorini* com *Mydaeinae* e *Phaoniinae*, Emden (1951) agrupou *Limnophoriini*, *Mydaeini* e *Phaoniinae* formando a subfamília *Phaoniinae*. Hennig (1965) não validou o agrupamento de Emden, mas mostrou que as características de *Phaoniinae* podem ser encontradas entre os *Mydaeinae* e *Coenosiini-Limnophorini*.

Quando se avalia a NIRS para discriminar as tribos de *Coenosiinae*, colocando apenas gêneros dessas duas subfamílias, pode-se separar perfeitamente as duas tribos. Isto, analogamente com as linhagens de Diptera e *Muscidae*, também corrobora as hipóteses prévias de Hennig (1965), Carvalho (1989) e Couri & Pont (2000) sobre a individualidade de cada uma dessas duas linhagens. Porém, foram considerados arbitrários por Skidmore (1985).

Um fato interessante surge quando incorpora-se exemplares da subfamília *Phaoniinae* na análise e eles posicionam-se no meio dos *Coenosiinae*. Pensando na idéia de inércia filogenética (Blomberg & Garland 2002), era de esperar que estes exemplares se posicionassem em algum ponto fora do perímetro formado pelos exemplares de *Coenosiinae* e não no meio deles pois, sendo *Coenosiini* e *Limnophorini* tribos irmãs, outras subfamílias teriam uma similaridade menor e ficariam numa área fora da influência destes grupos. Uma situação similar foi observada nas linhagens maiores de Diptera, pois os *Coenosiinae* ficaram “interruptos” por grupos de *Phaoniinae* e *Anthomyidae*. Tanto em um nível menor quanto em um nível mais abrangente observa-se que *Phaoniinae* altera as expectativas segundo as quais *Coenosiini* e *Limnophorini* teriam que ter um perfil muito

mais similar entre eles que com o resto de muscídeos. Um trabalho recente utilizando dados moleculares (Schueli et al. 2007) concluiu que poderia existir uma hipótese alternativa de relacionamento maior entre Coenosiini e Phaoniinae do que entre Coenosiini com Limnophorini. Se as hipóteses moleculares forem corroboradas pela hipótese a partir dos dados do NIRS, pode-se afirmar que o genótipo e o fenótipo estão sendo caracterizados diretamente pela NIRS. Jacobsen et al. (2005) e Munck (2007) desenvolveram esta mesma premissa trabalhando com trigo como sistema de estudo. Estes pesquisadores detectaram uma nova cepa de trigo com maior conteúdo de nutrientes observando as variações (*outlayers*) entre vários espectros convencionais.

Espécies de *Neodexiopsis*

A grande resolução na discriminação simultânea das espécies observada pelas análises multivariadas e quantificadas pelo índice Kappa, mostrando que a congruência entre a classificação observada e a classificação prevista pela NIRS estaria no intervalo de quase perfeito até perfeito. Isto apóia a idéia desenvolvida por alguns autores como Benedict (1955), Dowell et al. (1999), Stackebrandt et al. (2002), Ami et al. (2004), Cole et al. (2003), Paliwal et al (2004), Zhao et al (2006) e Aldrich et al. (2007), para conferir à NIRS um status particular como uma técnica viável para identificação de espécies não só de insetos mais de outros grupos biológicos. É pertinente mencionar que dentro das conclusões do comitê para a reavaliação da definição de espécies em bacteriologia (Stackebrandt et al. 2002), o desenvolvimento do uso da NIRS é de interesse particular entre as técnicas que têm provado novas oportunidades para a sistemática de procariontes. Observadno a literatura que reporta a aplicação da NIRS em taxonomia e sistemática fora de procariontes, poder-se-ia sugerir que a NIRS tem potencial em particular para propor novas estratégias na sistemática de eucariontes.

Variabilidade geográfica

A variabilidade geográfica dos exemplares estudados mostra-se refletida e significativamente quantificada no seu perfil espectrométrico e aparentemente correlacionada com a distribuição espacial das populações estudadas. Dharmaraj et al. (2006) conseguiram reproduzir os agrupamentos geográficos de uma espécie vegetal, *Phyllanthus niruri* Linnaeus, utilizando seu perfil espectral. Isto foi obtido depois de otimizar os resultados das análises multivariadas com algoritmos genéticos. Parte de sua área de estudo, comprendia populações insulares separadas pelo mar do sul da China. No caso de *Neodexiopsis*, a resolução obtida para discriminar as populações, sem usar metodologias mais sofisticadas sobre as análises multivariadas, como são os algoritmos genéticos, pode indicar que a intensidade deste isolamento é forte. Futuramente seria ideal pesquisar a natureza genética e/ou ambiental ou a interação de ambos mecanismos responsáveis pelas diferenças espetrais. Se a base for majoritariamente genética, podemos então falar de uma fitogeografia baseada no NIRS. Se a base for ambiental, o NIRS poderia ser uma ferramenta de avaliação da plasticidade fenotípico-adaptativa, sendo possível quantificar a norma de reação.

A delimitação de uma espécie é um tópico de permanente discussão e refinamento (Wiens, 2008 e outros artigos nesse volume). Se a NIRS tem a capacidade de reconhecer a identidade das espécies, como observado com as espécies de *Neodexiopsis*, a NIRS também poderia contribuir para definir até onde pode-se considerar a variabilidade no espectro como evidência de variabilidade intraespecífica ou interespecífica. Sendo assim, a NIRS seria também uma ferramenta preditiva que poderia descobrir espécies crípticas.

Na área de Biologia da Conservação poderia ser postulado que o NIRS pode ser uma ferramenta de avaliação da saúde de uma população ou de meta-populações (ao menos de insetos). A variabilidade intraespecífica pode refletir importantes diferenças ao nível individual devido a variação genética adaptativa (Wagner 2003, Foley 2007) ou variação

ambiental (Sgrò & Hoffman 2004). Como freqüentemente são usados os perfis moleculares para avaliar o estado de saúde de uma população, também pode-se observar os espectros obtidos de uma população e obter as mesmas respostas?

Sinal filogenético

O sinal filogenético parece estar presente na matriz de refletância mas sua intensidade é variável. Em grandes níveis, aparentemente podemos fazer uma correlação qualitativa. Em pequenos níveis (grupos de espécies), o sinal também será menos discreto pelo que é recomendável ter uma filogenia incluindo todos os grupos que fazem parte desse táxon.

Chopin et al. (1999) publicaram um artigo muito sugestivo: "Phycocolloid chemistry as a taxonomic indicator of phylogeny in the Gigartinales, Rhodophyceae: A review and current developments using Fourier transform infrared diffuse reflectance spectroscopy".

Na verdade o que eles discutem são as diferenças espectrais dentro de alguns grupos monofiléticos de algas. Essas diferenças são associadas com às moléculas específicas que fazem parte da composição daquelas algas. O que estão fazendo é uma otimização de caracteres (Gladstein 1997), avaliando a distribuição de um caráter dentro da topologia de uma filogenia conhecida e não uma reavaliação da filogenia baseada na NIRS. Ami et al. (2004) trabalhando com nematódeos, fazem o mais próximo de uma contraproposta filogenética baseada no NIRS. Estes autores fizeram a mesma aplicação com nematódeos que foi feita aqui com os grandes linhagens de Diptera. Discutem qualitativamente a similaridade das hipótese de relacionamento evolutivo com o relacionamento dos taxa baseado no NIRS. Eles tampouco têm uma abordagem quantitativa.

A espectroscopia no infravermelho próximo pode ser mais uma ferramenta dentro do arsenal de novas técnicas desenvolvidas que podem ter aplicações práticas e frutíferas na definição de espécies como por exemplo a microscopia confocal (Klaus & Schawaroch

2006), modelagem ecológica de nicho (Raxworthy et al. 2008), dessorção-ionização matricial assistida por laser (MALDI) (Cvacka et al. 2006), microdissecção digital por tomografia computarizada de raios X de muito alta resolução (VHR-CT) (Penney et al. 2007), espectroscopia Raman com levitação acústica (Puskar et al. 2007), dissecação online em 3D (Eichberger 2006) e citometria de fluxo (Kron et al. 2007). Entre estas técnicas, apenas a MALDI e a citometria são ainda invasivas ou destrutivas, enquanto o restante das técnicas, incluindo o NIRS, permitem a preservação da amostra intacta.

Geralmente têm sido postulado que o NIRS não tem efeitos sobre os organismos vivos (Koworoska et al. 2002), como pode ser observado em poucos trabalhos que estudaram os efeitos do NIRS sobre os organismos biológicos mostrando que pode existir algum tipo de resposta celular à radiação infravermelha próxima. No entanto, estudos posteriores dos mesmos autores mostram que essas respostas podem ser úteis como mecanismos de proteção frente a outros tipos de radiação como a de ozônio (Chludzińska et al. 2005).

É a NIRS uma técnica molecular? Segundo a divisão atual das “omicas” (Toyoda & Wada 2004), podemos afirmar que a NIRS está em um ponto dentro da metabolômica flutuando entre a fenômica e em menor proporção na proteômica.

Segundo os idealizadores do DNA barcoding:.....O DNA barcoding é uma técnica para caracterizar espécies de organismos usando pequenas seqüências de uma posição estandard no genoma. A metáfora “barcode” ou código de barras é útil, porém, não está certa em detalhe fino (CBOL 2008).

Usando um critério objetivo e não metafórico, pode-se postular, com base nos exemplos anteriores e na literatura disponível que, conceitualmente, a técnica NIRS é o verdadeiro *barcoding* da vida.

A técnica NIRS produz uma matriz de dados espetrais e, biologicamente, a história da matriz é a história da vida.

A técnica da NIRS combinada com ferramentas quimiométricas através da medida de refletância difusa de insetos intactos mostra-se uma alternativa promissora para estudos biológicos relacionados a determinação de espécies, identificação de padrões evolutivos e detecção de variabilidade geográfica em eucariontes.

A NIRS pode ser mais uma fonte que pode contribuir com dados além dos dados morfológicos ou de seqüências de DNA. Como Wheeler (2008) chamou a atenção, necessita-se de uma holomorfologia (*sensu* Hennig) ou seja, uma prática da taxonomia como uma área capaz de sintetizar evidência de todas as fontes comparativas relevantes.

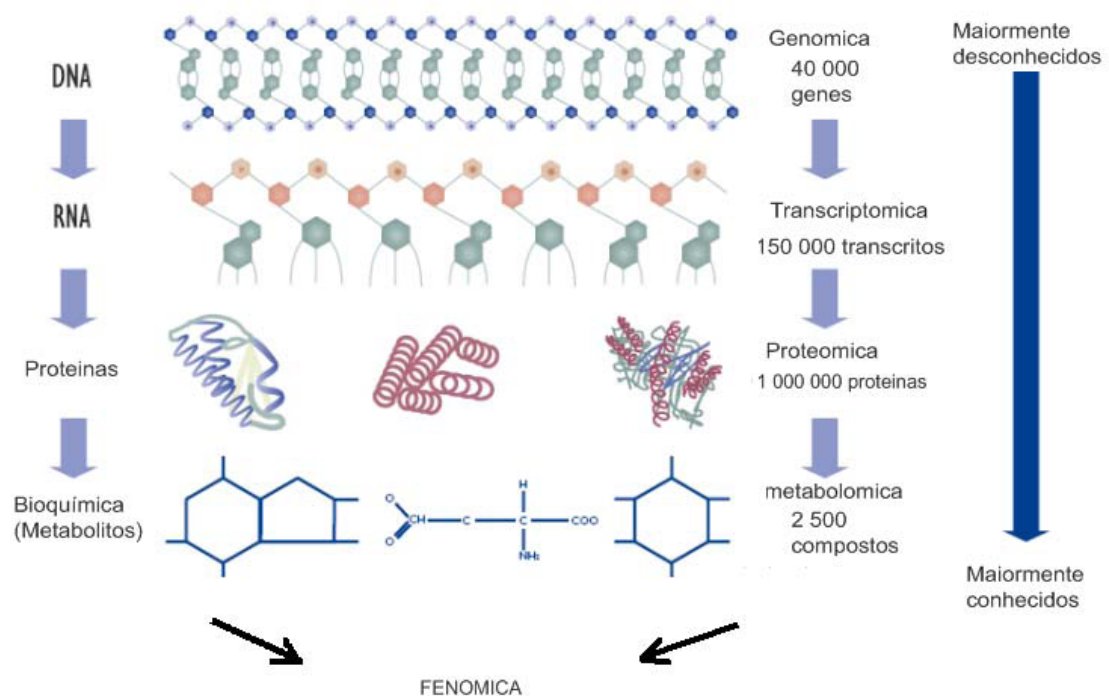


Figura 20. Representação dos distintos níveis “omicos”. Modificado de Toyoda & Wada (2004).

AGRADECIMENTOS

Ao Dr. Célio Pasquini e o doutorando Kássio Lima junto ao pessoal do laboratório de Instrumentação e Automação em Química Analítica do Instituto de Química da Universidade de Campinas pelo inestimável e imprescindível apoio para tornar realidade o presente trabalho. Ao doutorando Gregório Carvajal do Departamento de Química da Universidade Federal do Paraná pelo apoio incondicional para improvisar os primeiros testes com infravermelho. A Karem Lyca Haseyama da Universidade Federal do Paraná pela leitura crítica do manuscrito. Ao Cnpq pela bolsa de doutorado.

REFERÊNCIAS BIBLIOGRAFICAS

- Abrams, C.B. IR Tutor. 1993. Columbia University, Perkin Elmer Ltd., Beaconsfield, Bucks.
- Aldrich, B.T., E.B. Maghirang, F.E. Dowell & S. Kambhampati. 2007. Identification of termite species and subspecies of the genus *Zootermopsis* using near-infrared reflectance spectroscopy. Journal of Insect Science. 7:18.
- Ami, D., A. Natalello, A. Zullini & S.M. Dogli. 2004. Fourier transform infrared microspectroscopy as a new tool for nematode studies. FEBS letters 576: 297-300.
- Benedict, A.A. 1955. Group Classification of virus Preparations by infrared spectroscopy. Journal of Bacteriology. 69: 264-269.
- Blomberg, S.P., & T. Garland, Jr. 2002. Tempo and mode in evolution: phylogenetic inertia, adaptation and comparative methods. Journal of Evolutionary Biology. 15: 899–910.
- Carvalho, C.J.B. de. 1989. Classificação de Muscidae (Diptera): uma proposta através da análise cladística. Revista Brasileira de Zoologia. 6: 627-648.
- Carvalho, C.J.B. de (ed.). 2002. Muscidae (Diptera) of the Neotropical Region: Taxonomy. Curitiba, Editora Universidade Federal do Paraná, 287 p.,
- Carvalho, C.J.B. de; M.S. Couri; A.C. Pont; D.M. Pamplona & S.M. Lopes. 2005. A Catalogue of the Muscidae (Diptera) of the Neotropical Region. Zootaxa. 860: 1-282.

- CBOL. Consortium for the barcoding of the life [on line] Disponível na Internet via WWW.
URL: <http://barcode.sil.edu/DNAbarcode.htm>. Acessado em 28 de janeiro de 2008
- Chludzińska, L., E. Ananicz, A. Jarosawska & M. Komorowska. 2005. Near-infrared radiation protects the red cell membrane against oxidation. *Blood Cells, Molecules, and Diseases*. 35: 74-79.
- Chopin, T., B.F. Kerin & R. Mazerolle. 1999. Phycocolloid chemistry as a taxonomic indicator of phylogeny in the Gigartinales, Rhodophyceae: A review and current developments using Fourier transform infrared diffuse reflectance spectroscopy. *Phycological Research*. 47: 167–188.
- Cole, T.J., M.S. Ram, F.E. Dowell, C.O. Omwega, W.A. Overholt, & S.B. Ramaswamy. 2003. Near-infrared spectroscopic method to identify *Cotesia flavipes* and *Cotesia sesamiae* (Hymenoptera: Braconidae). *Annals of the Entomological Society of America*. 96: 865-869.
- Couri, M.S. & A. Pont. 2000. Cladistic analysis on Coenosiini (Diptera, Muscidae, Coenosiinae). *Systematic Entomology*. 25: 373-392.
- Couri, M.S. & Carvalho, C.J.B. de. 2003. Systematic relations among *Philornis meinert*, *Passeromyia* Rodhain & Villeneuve and allied genera (Diptera, Muscidae). *Brazilian Journal of Biology*. 63: 223-232.
- Cvacka, J., P. Jiros, J Obotnik, R. Hanus & A. Svatos. 2006. Analysis of insect cuticular hydrocarbons using matrix-assisted laser desorption/ionization mass spectrometry. *Journal of Chemical Ecology*. 32: 409-434.
- Dharmaraj, S., A. Suhaimi Jamaludin, H. Mohammad Razak, R. Valliappan, N. Atinah Ahmad, G. Lay Harn & Z. Ismail. 2006. The classification of *Phyllanthus niruri* Linn. according to location by infrared spectroscopy. *Vibrational Spectroscopy*. 41: 68–72.
- Dowell, F.E., A.G. Parker, M.Q. Benedict, A.S. Robinson, A.B. Broce & R.A. Wirtz. 2005. Sex separation of tsetse fly pupae using near-infrared spectroscopy. *Bulletin of Entomological Research*. 95: 249-57.
- Dowell, F.E., J.E. Throne, D. Wang & J.E. BAKER. 1999. Identifying stored-grain insects using near-infrared spectroscopy. *Journal of Economical Entomology*. 92: 165-169.
- Eichberger, G. 2006. Interactive 3D Graphics for Web-based Data Analysis and Visualization for the Digital Fish Library (DFL). In Perry, C.N., Walker, H.J., Hastings, P., Linsen, L. & L.R. Frank. 33rd International Conference and Exhibition on Computer Graphics and Interactive Technique Boston, MA .

- Emden, F.I.V. 1951. Muscidae: Part C. Scatophaginae, Anthomyiinae, Lispinae, Fanniinae and Phaoniinae. Ruwenzori Expedition II. 6. 325 p.
- Flinn, P. 2005. An average day (or how near infrared affects daily life). Nir News. 17 4: 4-8.
- Foley, B., S.F. Chenoweth, S.V. Nuzhdin & M.W. Blows. 2007. Natural genetic variation in cuticular hydrocarbon expression in male and female *Drosophila melanogaster*. Genetics. 175: 1465-1477.
- Gladstein, D.S. 1997. Efficient incremental character optimization. Cladistics. 13, 21-26.
- Hall, M.H., S.M. Dutro & M.J. Klowed. 1990. Determination by near-Infrared reflectance spectroscopy of mosquito (Diptera: Culicidae) bloodmeal size. Journal of Medical Entomology. 27: 76-79.
- Hennig, W. 1965 Vorarbeiten zu einem phylogenetischen System der Muscidae (Diptera, Cyclorrhapha). Stuttgarter Beiträge Zur Naturkunde. 141, 1–100.
- Howard, R.W. & G.J. Blomquist. 2005. Ecological, behavioral, and biochemical aspects of insect hydrocarbons. Annual Review of Entomology. 50: 371-93.
- Hubert, M. & S. Engelen. 2007. Fast cross-validation of high-breakdown resampling methods for PCA. Computational Statistics & Data Analysis. 51: 5013-5024.
- Jacobsen S., I. Søndergaard, B. Møller, T. Desler & L. Munck. 2005. A chemometric evaluation of the underlying physical and chemical patterns that support near Infrared spectroscopy of barley seeds as a tool for explorative classification of endosperm genes and gene combinations. Journal of Cereal Science. 42: 281-299.
- JMP. 1997. version 3.2.2. SAS Institute Inc.
- Kim, S.W., S.H. Ban, H. Chung, S. Cho, H.J. Chung, P.S. Choi, O.J. Yoo & J.R. Liu. 2004. Taxonomic discrimination of flowering plants by multivariate analysis of Fourier transform infrared spectroscopy data. Plant Cell Reports. 23: 246-250.
- Klaus, A. & V. Schawaroch. 2006. New methodology utilizing confocal laser scanning microscopy for systematic analysis in arthropods (Insecta). Integrative and Comparative Biology. 46: 207–214.
- Komorowska, M., A. Cuissot, A. Czarnoleski & W. Bialas. 2002. Erythrocyte response to near-infrared radiation. Journal of Photochemistry and Photobiology B: Biology. 68: 93–100.
- Kradjel, C. 1991. An overview of Near Infrared spectroscopy: from an application's point of view. Fresenius' Journal of Analytical Chemistry. 339: 65-67.

- Kron, P., J. Suda & B.C. Husband. 2007. Applications of flow cytometry to evolutionary and population biology. *Annual Review of Ecology Evolution and Systematics*. 2007 38:847–76.
- Lai, S., R. Goodacre & L.N. Manchester. 2004. Whole-organism fingerprinting of the Genus *Carnobacterium* using fourier transform infrared spectroscopy (FT-IR). *Systematic and Applied Microbiology*. 27: 186-191.
- Landis, J.R. & G.G. Koch. 1977. The measurement of observer agreement for categorical data. *Biometrics*. 33:159-74.
- Latreille, P.A. 1802. Historie naturelle, générale, et particulière, des crustaces et des Insectes.Tome troisième. In Sonnini, C.S. (ed.) *Historie naturelle par Buffon*. Paris.
- Lin, C.P. & B.N. Danforth. 2004. How do insect nuclear and mitochondrial gene substitution patterns differ? Insights from Bayesian analyses of combined datasets. *Molecular Phylogenetics and Evolution*. 30: 686–702
- Maquelin, K., L.P. Choo-Smith, C. Kirschner, N.A. Ngo-Thi, D. Naumann, G.J. Puppels. 2002. Vibrational spectroscopic studies of microorganisms. in: J.M. Chalmers and P.R. Griffiths (eds.): *Handbook of vibrational spectroscopy*, pp. 1-27, John Wiley & Sons Ltd., Chichester.
- Micks, D.W. & A.A. Benedict. 1953. Infrared spectrophotometry as a means for identification of mosquitoes. *Proceedings of the Society of Experimental Biology and Medicine*. 84:12–14.
- Micks, D. W. & F. Scrollini. 1954. An infrared spectrometric study of the *Culex pipiens* complex. *Rivista di Parasitologia*. XV: 161-165.
- Munck L., B. Møller, S. Jacobsen & I. Søndergaard. 2004. Near infrared spectra indicate specific mutant endosperm genes and reveal a new mechanism for substituting starch with (1-->3, 1--->4)- β -glucan in barley. *Journal of Cereal Science*. 40: 213-222.
- Munck, L. 2007. A new holistic exploratory approach to Systems Biology by Near Infrared Spectroscopy evaluated by chemometrics and data inspection. *Journal of Chemometrics*. 21: 406–426.
- Naumann, D. 2000. Infrared Spectroscopy in Microbiology. in: R.A. Meyers (ed.) "Encyclopedia of Analytical Chemistry", John Wiley & Sons, Ltd., Chichester.
- Paliwal, J., W. Wang, S.J. Symons & C. Karunakaran. 2004. Insect species and infestation level determination in stored wheat using near-infrared spectroscopy. *Canadian Biosystems Engineering*. 46: 717-724.

- Pasquini, C. 2003. Near infrared spectroscopy: fundamentals practical aspects and analytical applications. *Journal of the Brazilian Chemical Society*. 14: 138-219.
- Penney, D., M. Dierick, V. Cnudde, B Asschaele, J Vlassenbroeck, L.V. Hoorebeke & P. Jacobs. 2007. First fossil Micropholcommatidae (Araneae), imaged in Eocene using X-Ray computed tomography. *Zootaxa*. 1623: 47–53
- Perez-Mendoza, J, F.E. Dowell, A.B. Broce, J.E. Throne, R.A. Wirtz, X. Feng, J. A. Fabrick & J.E. Baker. 2002. Chronological age-grading of house flies by using near-infrared spectroscopy. *Journal of Medical Entomology*. 39: 499-508 .
- Perez-Mendoza, J., J.E. Throne, F.E. Dowell & J.E. Baker. 2003. Detection of insect fragments in wheat flour by near-infrared spectroscopy. *Journal of Stored Products Research*. 39: 305-312.
- Perez-Mendoza, J., J.E. Throne, F.E. Dowell & J.E. Baker. 2004. Chronological age-grading of three species of stored-product beetles by using near-infrared spectroscopy. *Journal of Economic Entomology*. 97: 1159-1167.
- Puskar, L., R. Tuckermann, T. Frosch, J. Popp, V. Ly, D. McNaughton & B.R. Wood. 2007. Raman acoustic levitation spectroscopy of red blood cells and *Plasmodium falciparum* trophozoites. *Lab Chip*. 7: 1125 - 1131
- Raxworthy, C.J., C.M. Ingram, N. Rabibisoa & R.G. Pearson. 2008. Applications of ecological niche modeling for species delimitation: A review and empirical evaluation using day geckos (*Phelsuma*) from Madagascar. *Systematic Biology*. 56: 907-923.
- Schuehli, G.S., C.J.B. de Carvalho & B.M. Wiegmann. 2007. Molecular phylogenetics of the Muscidae (Diptera:Calypratae): new ideas in a congruence context. *Invertebrate Systematics*. 21: 263–278.
- Séné, C.F.B., M.C. McCann, R.H. Wilson & R. Crinter. 1994. Fourier-transform raman and fourier-transform infrared spectroscopy. An investigation of five higher plant cell walls and their components. *Plant Physiology*. 106: 1623-1631.
- Skidmore, P. 1985. The biology of the Muscidae of the world. Dordrecht, Dordrecht Kunk Publishers, 550 pp.
- Sgrò, C.M., A.A. Hoffman. 2004. Genetic correlations, tradeoffs and environmental variation. *Heredity*. 93: 241-248.
- Stackebrandt, E., W. Frederiksen, G.M. Garrity, P.A.D. Grimont, P. Kämpfer, M.C.J. Maiden, X. Nesme, R. Rosselló-Mora, J. Swings, H.G. Truper, L. Vauterin, A.C. Ward & W.B. Whitman. 2002. Report of the ad hoc committee for the re-evaluation of the

- species definition in bacteriology. International Journal of Systematic and Evolutionary Microbiology. 52: 1043-1047.
- Timmins, E.M., S.A. Howell, B.K. Alsberg, W.C. Noble, & R. Goodacre. 1998. Rapid differentiation of closely related *Candida* species and strains by pyrolysis-mass spectrometry and fourier transform-infrared spectroscopy. Journal of Clinical Microbiology. 36: 367–374.
- Toyoda, T. & A. Wada. 2004. Omic space: coordinate-based integration and analysis of genomic phenomic interactions. Bioinformatics. 11: 1759–1765.
- Tominaga, Y. 1998. Comparative study of class data analysis with PCA-LDA, SIMCA, PLS, ANNs, and k-NN. Chemometrics and Intelligent Laboratory Systems. 49: 105-115.
- Wagner, G.P. 2003. Evolutionary Genetics: The nature of hidden genetic variation unveiled dispatch. Current Biology. 13: 958-960.
- Wenning, M., H. Seiler & S. Scherer. 2002. Fourier-Transform Infrared microspectroscopy, a novel and rapid tool for identification of yeasts. Applied and Environmental Microbiology. 10: 4717-4721.
- Wenning, M., V. Theilmann & S. Scherer. 2006. Rapid analysis of two food-borne microbial communities at the species level by Fourier-transform infrared microspectroscopy. Environmental Microbiology. 5: 848-857.
- Wheeler, Q.D. 2008. Undisciplined thinking: morphology and Hennig's unfinished revolution. Systematic Entomology. 33: 2-7.
- Wiens, J.J. 2008. Species delimitation: new approaches for discovering diversity. Systematic Biology. 56: 875-878.
- Winder, C. L., E. Carr, R. Goodacre & R. Seviour. 2004 The rapid identification of *Acinetobacter* species using Fourier transform infrared spectroscopy. Journal of Applied Microbiology. 96: 328–339.
- Yeates, D. K. & B.M. Wiegmann. 2005. Phylogeny and evolution of Diptera: recent insights and new perspectives. in Yeates, D. K. & B. M. Wiegmann (eds). The Evolutionary Biology of Flies. Columbia University Press.
- Zhao, H., R.L. Parry, D.I. Ellis, G.W. Griffith & R. Goodacre. 2006. The rapid differentiation of Streptomyces isolates using Fourier transform infrared spectroscopy. Vibrational Spectroscopy. 40: 213–218.

Tabela 2: Valores de comprimento de onda infravermelha utilizados. As unidades estão em nm.

| | | | | | | | |
|----------|----------|----------|----------|----------|----------|----------|----------|
| 714.1747 | 714.8640 | 715.5534 | 716.2428 | 716.9321 | 717.6215 | 718.3108 | 719.0002 |
| 719.6895 | 720.3789 | 721.0683 | 721.7576 | 722.4470 | 723.1364 | 723.8257 | 724.5150 |
| 725.2044 | 725.8938 | 726.5831 | 727.2725 | 727.9619 | 728.6512 | 729.3406 | 730.0299 |
| 730.7193 | 731.4086 | 732.0980 | 732.7874 | 733.4767 | 734.1661 | 734.8554 | 735.5448 |
| 736.2341 | 736.9235 | 737.6129 | 738.3022 | 738.9916 | 739.6809 | 740.3703 | 741.0596 |
| 741.7490 | 742.4384 | 743.1277 | 743.8171 | 744.5064 | 745.1958 | 745.8851 | 746.5745 |
| 747.2639 | 747.9532 | 748.6426 | 749.3319 | 750.0213 | 750.7106 | 751.4000 | 752.0894 |
| 752.7787 | 753.4681 | 754.1574 | 754.8468 | 755.5361 | 756.2255 | 756.9149 | 757.6043 |
| 758.2936 | 758.9829 | 759.6723 | 760.3616 | 761.0510 | 761.7404 | 762.4298 | 763.1191 |
| 763.8084 | 764.4978 | 765.1871 | 765.8765 | 766.5659 | 767.2553 | 767.9446 | 768.6340 |
| 769.3233 | 770.0127 | 770.7020 | 771.3914 | 772.0808 | 772.7701 | 773.4595 | 774.1488 |
| 774.8382 | 775.5275 | 776.2169 | 776.9063 | 777.5956 | 778.2850 | 778.9743 | 779.6637 |
| 780.3530 | 781.0424 | 781.7318 | 782.4211 | 783.1105 | 783.7998 | 784.4892 | 785.1785 |
| 785.8679 | 786.5573 | 787.2466 | 787.9360 | 788.6253 | 789.3147 | 790.0040 | 790.6934 |
| 791.3828 | 792.0721 | 792.7615 | 793.4508 | 794.1402 | 794.8295 | 795.5189 | 796.2083 |
| 796.8977 | 797.5870 | 798.2763 | 798.9657 | 799.6550 | 800.3444 | 801.0338 | 801.7232 |
| 802.4125 | 803.1018 | 803.7912 | 804.4805 | 805.1699 | 805.8593 | 806.5487 | 807.2380 |
| 807.9274 | 808.6167 | 809.3060 | 809.9954 | 810.6848 | 811.3742 | 812.0635 | 812.7529 |
| 813.4422 | 814.1316 | 814.8209 | 815.5103 | 816.1997 | 816.8890 | 817.5784 | 818.2677 |
| 818.9571 | 819.6464 | 820.3358 | 821.0252 | 821.7145 | 822.4039 | 823.0932 | 823.7826 |
| 824.4719 | 825.1613 | 825.8507 | 826.5400 | 827.2294 | 827.9187 | 828.6081 | 829.2974 |
| 829.9868 | 830.6762 | 831.3655 | 832.0549 | 832.7442 | 833.4336 | 834.1229 | 834.8123 |
| 835.5017 | 836.1911 | 836.8804 | 837.5697 | 838.2591 | 838.9484 | 839.6378 | 840.3272 |

| | | | | | | | |
|----------|----------|----------|----------|----------|----------|----------|----------|
| 841.0166 | 841.7059 | 842.3953 | 843.0846 | 843.7739 | 844.4633 | 845.1527 | 845.8421 |
| 846.5314 | 847.2208 | 847.9101 | 848.5994 | 849.2888 | 849.9782 | 850.6676 | 851.3569 |
| 852.0463 | 852.7356 | 853.4250 | 854.1143 | 854.8037 | 855.4931 | 856.1824 | 856.8718 |
| 857.5611 | 858.2505 | 858.9398 | 859.6292 | 860.3186 | 861.0079 | 861.6973 | 862.3866 |
| 863.0760 | 863.7653 | 864.4547 | 865.1441 | 865.8334 | 866.5228 | 867.2121 | 867.9015 |
| 868.5908 | 869.2802 | 869.9696 | 870.6590 | 871.3483 | 872.0376 | 872.7270 | 873.4163 |
| 874.1057 | 874.7951 | 875.4845 | 876.1738 | 876.8631 | 877.5525 | 878.2418 | 878.9312 |
| 879.6206 | 880.3100 | 880.9993 | 881.6887 | 882.3780 | 883.0673 | 883.7567 | 884.4461 |
| 885.1355 | 885.8248 | 886.5142 | 887.2035 | 887.8928 | 888.5822 | 889.2716 | 889.9610 |
| 890.6503 | 891.3397 | 892.0290 | 892.7184 | 893.4077 | 894.0971 | 894.7865 | 895.4758 |
| 896.1652 | 896.8545 | 897.5439 | 898.2332 | 898.9226 | 899.6120 | 900.3013 | 900.9907 |
| 901.6800 | 902.3694 | 903.0587 | 903.7481 | 904.4375 | 905.1268 | 905.8162 | 906.5055 |
| 907.1949 | 907.8842 | 908.5736 | 909.2630 | 909.9523 | 910.6417 | 911.3310 | 912.0204 |
| 912.7097 | 913.3991 | 914.0885 | 914.7778 | 915.4672 | 916.1565 | 916.8459 | 917.5352 |
| 918.2246 | 918.9140 | 919.6033 | 920.2927 | 920.9821 | 921.6714 | 922.3607 | 923.0501 |
| 923.7395 | 924.4288 | 925.1182 | 925.8076 | 926.4969 | 927.1863 | 927.8756 | 928.5650 |
| 929.2543 | 929.9437 | 930.6331 | 931.3224 | 932.0118 | 932.7011 | 933.3905 | 934.0799 |
| 934.7692 | 935.4586 | 936.1479 | 936.8373 | 937.5266 | 938.2160 | 938.9054 | 939.5947 |
| 940.2841 | 940.9734 | 941.6628 | 942.3521 | 943.0415 | 943.7309 | 944.4202 | 945.1096 |
| 945.7989 | 946.4883 | 947.1776 | 947.8670 | 948.5564 | 949.2457 | 949.9351 | 950.6244 |
| 951.3138 | 952.0031 | 952.6925 | 953.3819 | 954.0712 | 954.7606 | 955.4500 | 956.1393 |
| 956.8286 | 957.5180 | 958.2074 | 958.8967 | 959.5861 | 960.2755 | 960.9648 | 961.6541 |
| 962.3435 | 963.0329 | 963.7222 | 964.4116 | 965.1010 | 965.7903 | 966.4797 | 967.1690 |
| 967.8584 | 968.5477 | 969.2371 | 969.9265 | 970.6158 | 971.3052 | 971.9945 | 972.6839 |
| 973.3732 | 974.0626 | 974.7520 | 975.4413 | 976.1307 | 976.8200 | 977.5094 | 978.1987 |
| 978.8881 | 979.5775 | 980.2668 | 980.9562 | 981.6455 | 982.3349 | 983.0242 | 983.7136 |

| | | | | | | | |
|----------|----------|----------|----------|----------|----------|----------|----------|
| 984.4030 | 985.0923 | 985.7817 | 986.4710 | 987.1604 | 987.8497 | 988.5391 | 989.2285 |
| 989.9178 | 990.6072 | 991.2965 | 991.9859 | 992.6752 | 993.3646 | 994.0540 | 994.7434 |
| 995.4327 | 996.1220 | 996.8114 | 997.5007 | 998.1901 | 998.8795 | 999.5689 | 1.00026e |
| 1.00095e | 1.00164e | 1.00233e | 1.00302e | 1.00371e | 1.00439e | 1.00508e | 1.00577e |
| 1.00646e | 1.00715e | 1.00784e | 1.00853e | 1.00922e | 1.00991e | 1.01060e | 1.01129e |
| 1.01198e | 1.01267e | 1.01336e | 1.01405e | 1.01473e | 1.01542e | 1.01611e | 1.01680e |
| 1.01749e | 1.01818e | 1.01887e | 1.01956e | 1.02025e | 1.02094e | 1.02163e | 1.02232e |
| 1.02301e | 1.02370e | 1.02439e | 1.02508e | 1.02576e | 1.02645e | 1.02714e | 1.02783e |
| 1.02852e | 1.02921e | 1.02990e | 1.03059e | 1.03128e | 1.03197e | 1.03266e | 1.03335e |
| 1.03404e | 1.03473e | 1.03542e | 1.03610e | 1.03679e | 1.03748e | 1.03817e | 1.03886e |
| 1.03955e | 1.04024e | 1.04093e | 1.04162e | 1.04231e | 1.04300e | 1.04369e | 1.04438e |
| 1.04507e | 1.04576e | 1.04645e | 1.04713e | 1.04782e | 1.04851e | 1.04920e | 1.04989e |
| 1.05058e | 1.05127e | 1.05196e | 1.05265e | 1.05334e | 1.05403e | 1.05472e | 1.05541e |
| 1.05610e | 1.05679e | 1.05747e | 1.05816e | 1.05885e | 1.05954e | 1.06023e | 1.06092e |
| 1.06161e | 1.06230e | 1.06299e | 1.06368e | 1.06437e | 1.06506e | 1.06575e | 1.06644e |
| 1.06713e | 1.06782e | 1.06850e | 1.06919e | 1.06988e | 1.07057e | 1.07126e | 1.07195e |
| 1.07264e | 1.07333e | 1.07402e | 1.07471e | 1.07540e | 1.07609e | 1.07678e | 1.07747e |
| 1.07816e | 1.07885e | 1.07953e | 1.08022e | 1.08091e | 1.08160e | 1.08229e | 1.08298e |
| 1.08367e | 1.08436e | 1.08505e | 1.08574e | 1.08643e | 1.08712e | 1.08781e | 1.08850e |
| 1.08919e | 1.08987e | 1.09056e | 1.09125e | 1.09194e | 1.09263e | 1.09332e | 1.09401e |
| 1.09470e | 1.09539e | 1.09608e | 1.09677e | 1.09746e | 1.09815e | 1.09884e | 1.09953e |
| 1.10022e | 1.10090e | 1.10159e | 1.10228e | 1.10297e | 1.10366e | 1.10435e | 1.10504e |
| 1.10573e | 1.10642e | 1.10711e | 1.10780e | 1.10849e | 1.10918e | 1.10987e | 1.11056e |
| 1.11124e | 1.11193e | 1.11262e | 1.11331e | 1.11400e | 1.11469e | 1.11538e | 1.11607e |
| 1.11676e | 1.11745e | 1.11814e | 1.11883e | 1.11952e | 1.12021e | 1.12090e | 1.12159e |
| 1.12227e | 1.12296e | 1.12365e | 1.12434e | 1.12503e | 1.12572e | 1.12641e | 1.12710e |

| | | | | | | | |
|----------|----------|----------|----------|----------|----------|----------|----------|
| 1.12779e | 1.12848e | 1.12917e | 1.12986e | 1.13055e | 1.13124e | 1.13193e | 1.13261e |
| 1.13330e | 1.13399e | 1.13468e | 1.13537e | 1.13606e | 1.13675e | 1.13744e | 1.13813e |
| 1.13882e | 1.13951e | 1.14020e | 1.14089e | 1.14158e | 1.14227e | 1.14296e | 1.14364e |
| 1.14433e | 1.14502e | 1.14571e | 1.14640e | 1.14709e | 1.14778e | 1.14847e | 1.14916e |
| 1.14985e | 1.15054e | 1.15123e | 1.15192e | 1.15261e | 1.15330e | 1.15398e | 1.15467e |
| 1.15536e | 1.15605e | 1.15674e | 1.15743e | 1.15812e | 1.15881e | 1.15950e | 1.16019e |
| 1.16088e | 1.16157e | 1.16226e | 1.16295e | 1.16364e | 1.16433e | 1.16501e | 1.16570e |
| 1.16639e | 1.16708e | 1.16777e | 1.16846e | 1.16915e | 1.16984e | 1.17053e | 1.17122e |
| 1.17191e | 1.17260e | 1.17329e | 1.17398e | 1.17467e | 1.17536e | 1.17604e | 1.17673e |
| 1.17742e | 1.17811e | 1.17880e | 1.17949e | 1.18018e | 1.18087e | 1.18156e | 1.18225e |
| 1.18294e | 1.18363e | 1.18432e | 1.18501e | 1.18570e | 1.18638e | 1.18707e | 1.18776e |
| 1.18845e | 1.18914e | 1.18983e | 1.19052e | 1.19121e | 1.19190e | 1.19259e | 1.19328e |
| 1.19397e | 1.19466e | 1.19535e | 1.19604e | 1.19673e | 1.19741e | 1.19810e | 1.19879e |
| 1.19948e | 1.20017e | 1.20086e | 1.20155e | 1.20224e | 1.20293e | 1.20362e | 1.20431e |
| 1.20500e | 1.20569e | 1.20638e | 1.20707e | 1.20776e | 1.20844e | 1.20913e | 1.20982e |
| 1.21051e | 1.21120e | 1.21189e | 1.21258e | 1.21327e | 1.21396e | 1.21465e | 1.21534e |
| 1.21603e | 1.21672e | 1.21741e | 1.21810e | 1.21878e | 1.21947e | 1.22016e | 1.22085e |
| 1.22154e | 1.22223e | 1.22292e | 1.22361e | 1.22430e | 1.22499e | 1.22568e | 1.22637e |
| 1.22706e | 1.22775e | 1.22844e | 1.22913e | 1.22981e | 1.23050e | 1.23119e | 1.23188e |
| 1.23257e | 1.23326e | 1.23395e | 1.23464e | 1.23533e | 1.23602e | 1.23671e | 1.23740e |
| 1.23809e | 1.23878e | 1.23947e | 1.24015e | 1.24084e | 1.24153e | 1.24222e | 1.24291e |
| 1.24360e | 1.24429e | 1.24498e | 1.24567e | 1.24636e | 1.24705e | 1.24774e | 1.24843e |
| 1.24912e | 1.24981e | 1.25050e | 1.25118e | 1.25187e | 1.25256e | 1.25325e | 1.25394e |
| 1.25463e | 1.25532e | 1.25601e | 1.25670e | 1.25739e | 1.25808e | 1.25877e | 1.25946e |
| 1.26015e | 1.26084e | 1.26152e | 1.26221e | 1.26290e | 1.26359e | 1.26428e | 1.26497e |
| 1.26566e | 1.26635e | 1.26704e | 1.26773e | 1.26842e | 1.26911e | 1.26980e | 1.27049e |

| | | | | | | | |
|----------|----------|----------|----------|----------|----------|----------|----------|
| 1.27118e | 1.27187e | 1.27255e | 1.27324e | 1.27393e | 1.27462e | 1.27531e | 1.27600e |
| 1.27669e | 1.27738e | 1.27807e | 1.27876e | 1.27945e | 1.28014e | 1.28083e | 1.28152e |
| 1.28221e | 1.28290e | 1.28358e | 1.28427e | 1.28496e | 1.28565e | 1.28634e | 1.28703e |
| 1.28772e | 1.28841e | 1.28910e | 1.28979e | 1.29048e | 1.29117e | 1.29186e | 1.29255e |
| 1.29324e | 1.29392e | 1.29461e | 1.29530e | 1.29599e | 1.29668e | 1.29737e | 1.29806e |
| 1.29875e | 1.29944e | 1.30013e | 1.30082e | 1.30151e | 1.30220e | 1.30289e | 1.30358e |
| 1.30427e | 1.30495e | 1.30564e | 1.30633e | 1.30702e | 1.30771e | 1.30840e | 1.30909e |
| 1.30978e | 1.31047e | 1.31116e | 1.31185e | 1.31254e | 1.31323e | 1.31392e | 1.31461e |
| 1.31529e | 1.31598e | 1.31667e | 1.31736e | 1.31805e | 1.31874e | 1.31943e | 1.32012e |
| 1.32081e | 1.32150e | 1.32219e | 1.32288e | 1.32357e | 1.32426e | 1.32495e | 1.32564e |
| 1.32632e | 1.32701e | 1.32770e | 1.32839e | 1.32908e | 1.32977e | 1.33046e | 1.33115e |
| 1.33184e | 1.33253e | 1.33322e | 1.33391e | 1.33460e | 1.33529e | 1.33598e | 1.33666e |
| 1.33735e | 1.33804e | 1.33873e | 1.33942e | 1.34011e | 1.34080e | 1.34149e | 1.34218e |
| 1.34287e | 1.34356e | 1.34425e | 1.34494e | 1.34563e | 1.34632e | 1.34701e | 1.34769e |
| 1.34838e | 1.34907e | 1.34976e | 1.35045e | 1.35114e | 1.35183e | 1.35252e | 1.35321e |
| 1.35390e | 1.35459e | 1.35528e | 1.35597e | 1.35666e | 1.35735e | 1.35803e | 1.35872e |
| 1.35941e | 1.36010e | 1.36079e | 1.36148e | 1.36217e | 1.36286e | 1.36355e | 1.36424e |
| 1.36493e | 1.36562e | 1.36631e | 1.36700e | 1.36769e | 1.36838e | 1.36906e | 1.36975e |
| 1.37044e | 1.37113e | 1.37182e | 1.37251e | 1.37320e | 1.37389e | 1.37458e | 1.37527e |
| 1.37596e | 1.37665e | 1.37734e | 1.37803e | 1.37872e | 1.37941e | 1.38009e | 1.38078e |
| 1.38147e | 1.38216e | 1.38285e | 1.38354e | 1.38423e | 1.38492e | 1.38561e | 1.38630e |
| 1.38699e | 1.38768e | 1.38837e | 1.38906e | 1.38975e | 1.39043e | 1.39112e | 1.39181e |
| 1.39250e | 1.39319e | 1.39388e | 1.39457e | 1.39526e | 1.39595e | 1.39664e | 1.39733e |
| 1.39802e | 1.39871e | 1.39940e | 1.40009e | 1.40078e | 1.40146e | 1.40215e | 1.40284e |
| 1.40353e | 1.40422e | 1.40491e | 1.40560e | 1.40629e | 1.40698e | 1.40767e | 1.40836e |
| 1.40905e | 1.40974e | 1.41043e | 1.41112e | 1.41180e | 1.41249e | 1.41318e | 1.41387e |

| | | | | | | | |
|----------|----------|----------|----------|----------|----------|----------|----------|
| 1.41456e | 1.41525e | 1.41594e | 1.41663e | 1.41732e | 1.41801e | 1.41870e | 1.41939e |
| 1.42008e | 1.42077e | 1.42146e | 1.42215e | 1.42283e | 1.42352e | 1.42421e | 1.42490e |
| 1.42559e | 1.42628e | 1.42697e | 1.42766e | 1.42835e | 1.42904e | 1.42973e | 1.43042e |
| 1.43111e | 1.43180e | 1.43249e | 1.43317e | 1.43386e | 1.43455e | 1.43524e | 1.43593e |
| 1.43662e | 1.43731e | 1.43800e | 1.43869e | 1.43938e | 1.44007e | 1.44076e | 1.44145e |
| 1.44214e | 1.44283e | 1.44352e | 1.44420e | 1.44489e | 1.44558e | 1.44627e | 1.44696e |
| 1.44765e | 1.44834e | 1.44903e | 1.44972e | 1.45041e | 1.45110e | 1.45179e | 1.45248e |
| 1.45317e | 1.45386e | 1.45455e | 1.45523e | 1.45592e | 1.45661e | 1.45730e | 1.45799e |
| 1.45868e | 1.45937e | 1.46006e | 1.46075e | 1.46144e | 1.46213e | 1.46282e | 1.46351e |
| 1.46420e | 1.46489e | 1.46557e | 1.46626e | 1.46695e | 1.46764e | 1.46833e | 1.46902e |
| 1.46971e | 1.47040e | 1.47109e | 1.47178e | 1.47247e | 1.47316e | 1.47385e | 1.47454e |
| 1.47523e | 1.47592e | 1.47660e | 1.47729e | 1.47798e | 1.47867e | 1.47936e | 1.48005e |
| 1.48074e | 1.48143e | 1.48212e | 1.48281e | 1.48350e | 1.48419e | 1.48488e | 1.48557e |
| 1.48626e | 1.48694e | 1.48763e | 1.48832e | 1.48901e | 1.48970e | 1.49039e | 1.49108e |
| 1.49177e | 1.49246e | 1.49315e | 1.49384e | 1.49453e | 1.49522e | 1.49591e | 1.49660e |
| 1.49729e | 1.49797e | 1.49866e | 1.49935e | 1.50004e | 1.50073e | 1.50142e | 1.50211e |
| 1.50280e | 1.50349e | 1.50418e | 1.50487e | 1.50556e | 1.50625e | 1.50694e | 1.50763e |
| 1.50831e | 1.50900e | 1.50969e | 1.51038e | 1.51107e | 1.51176e | 1.51245e | 1.51314e |
| 1.51383e | 1.51452e | 1.51521e | 1.51590e | 1.51659e | 1.51728e | 1.51797e | 1.51866e |
| 1.51934e | 1.52003e | 1.52072e | 1.52141e | 1.52210e | 1.52279e | 1.52348e | 1.52417e |
| 1.52486e | 1.52555e | 1.52624e | 1.52693e | 1.52762e | 1.52831e | 1.52900e | 1.52969e |
| 1.53037e | 1.53106e | 1.53175e | 1.53244e | 1.53313e | 1.53382e | 1.53451e | 1.53520e |
| 1.53589e | 1.53658e | 1.53727e | 1.53796e | 1.53865e | 1.53934e | 1.54003e | 1.54071e |
| 1.54140e | 1.54209e | 1.54278e | 1.54347e | 1.54416e | 1.54485e | 1.54554e | 1.54623e |
| 1.54692e | 1.54761e | 1.54830e | 1.54899e | 1.54968e | 1.55037e | 1.55106e | 1.55174e |
| 1.55243e | 1.55312e | 1.55381e | 1.55450e | 1.55519e | 1.55588e | 1.55657e | 1.55726e |

| | | | | | | | |
|----------|----------|----------|----------|----------|----------|----------|----------|
| 1.55795e | 1.55864e | 1.55933e | 1.56002e | 1.56071e | 1.56140e | 1.56208e | 1.56277e |
| 1.56346e | 1.56415e | 1.56484e | 1.56553e | 1.56622e | 1.56691e | 1.56760e | 1.56829e |
| 1.56898e | 1.56967e | 1.57036e | 1.57105e | 1.57174e | 1.57243e | 1.57311e | 1.57380e |
| 1.57449e | 1.57518e | 1.57587e | 1.57656e | 1.57725e | 1.57794e | 1.57863e | 1.57932e |
| 1.58001e | 1.58070e | 1.58139e | 1.58208e | 1.58277e | 1.58345e | 1.58414e | 1.58483e |
| 1.58552e | 1.58621e | 1.58690e | 1.58759e | 1.58828e | 1.58897e | 1.58966e | 1.59035e |
| 1.59104e | 1.59173e | 1.59242e | 1.59311e | 1.59380e | 1.59448e | 1.59517e | 1.59586e |
| 1.59655e | 1.59724e | 1.59793e | 1.59862e | 1.59931e | 1.60000e | 1.60069e | 1.60138e |
| 1.60207e | 1.60276e | 1.60345e | 1.60414e | 1.60483e | 1.60551e | 1.60620e | 1.60689e |
| 1.60758e | 1.60827e | 1.60896e | 1.60965e | 1.61034e | 1.61103e | 1.61172e | 1.61241e |
| 1.61310e | 1.61379e | 1.61448e | 1.61517e | 1.61585e | 1.61654e | 1.61723e | 1.61792e |
| 1.61861e | 1.61930e | 1.61999e | 1.62068e | 1.62137e | 1.62206e | 1.62275e | 1.62344e |
| 1.62413e | 1.62482e | 1.62551e | 1.62620e | 1.62688e | 1.62757e | 1.62826e | 1.62895e |
| 1.62964e | 1.63033e | 1.63102e | 1.63171e | 1.63240e | 1.63309e | 1.63378e | 1.63447e |
| 1.63516e | 1.63585e | 1.63654e | 1.63722e | 1.63791e | 1.63860e | 1.63929e | 1.63998e |
| 1.64067e | 1.64136e | 1.64205e | 1.64274e | 1.64343e | 1.64412e | 1.64481e | 1.64550e |
| 1.64619e | 1.64688e | 1.64757e | 1.64825e | 1.64894e | 1.64963e | 1.65032e | 1.65101e |
| 1.65170e | 1.65239e | 1.65308e | 1.65377e | 1.65446e | 1.65515e | 1.65584e | 1.65653e |
| 1.65722e | 1.65791e | 1.65859e | 1.65928e | 1.65997e | 1.66066e | 1.66135e | 1.66204e |
| 1.66273e | 1.66342e | 1.66411e | 1.66480e | 1.66549e | 1.66618e | 1.66687e | 1.66756e |
| 1.66825e | 1.66894e | 1.66962e | 1.67031e | 1.67100e | 1.67169e | 1.67238e | 1.67307e |
| 1.67376e | 1.67445e | 1.67514e | 1.67583e | 1.67652e | 1.67721e | 1.67790e | 1.67859e |
| 1.67928e | 1.67997e | 1.68065e | 1.68134e | 1.68203e | 1.68272e | 1.68341e | 1.68410e |
| 1.68479e | 1.68548e | 1.68617e | 1.68686e | 1.68755e | 1.68824e | 1.68893e | 1.68962e |
| 1.69031e | 1.69099e | 1.69168e | 1.69237e | 1.69306e | 1.69375e | 1.69444e | 1.69513e |
| 1.69582e | 1.69651e | 1.69720e | 1.69789e | 1.69858e | 1.69927e | 1.69996e | 1.70065e |

| | | | | | | | |
|----------|----------|----------|----------|----------|----------|----------|----------|
| 1.70134e | 1.70202e | 1.70271e | 1.70340e | 1.70409e | 1.70478e | 1.70547e | 1.70616e |
| 1.70685e | 1.70754e | 1.70823e | 1.70892e | 1.70961e | 1.71030e | 1.71099e | 1.71168e |
| 1.71236e | 1.71305e | 1.71374e | 1.71443e | 1.71512e | 1.71581e | 1.71650e | 1.71719e |
| 1.71788e | 1.71857e | 1.71926e | 1.71995e | 1.72064e | 1.72133e | 1.72202e | 1.72271e |
| 1.72339e | 1.72408e | 1.72477e | 1.72546e | 1.72615e | 1.72684e | 1.72753e | 1.72822e |
| 1.72891e | 1.72960e | 1.73029e | 1.73098e | 1.73167e | 1.73236e | 1.73305e | 1.73373e |
| 1.73442e | 1.73511e | 1.73580e | 1.73649e | 1.73718e | 1.73787e | 1.73856e | 1.73925e |
| 1.73994e | 1.74063e | 1.74132e | 1.74201e | 1.74270e | 1.74339e | 1.74408e | 1.74476e |
| 1.74545e | 1.74614e | 1.74683e | 1.74752e | 1.74821e | 1.74890e | 1.74959e | 1.75028e |
| 1.75097e | 1.75166e | 1.75235e | 1.75304e | 1.75373e | 1.75442e | 1.75511e | 1.75579e |
| 1.75648e | 1.75717e | 1.75786e | 1.75855e | 1.75924e | 1.75993e | 1.76062e | 1.76131e |
| 1.76200e | 1.76269e | 1.76338e | 1.76407e | 1.76476e | 1.76545e | 1.76613e | 1.76682e |
| 1.76751e | 1.76820e | 1.76889e | 1.76958e | 1.77027e | 1.77096e | 1.77165e | 1.77234e |
| 1.77303e | 1.77372e | 1.77441e | 1.77510e | 1.77579e | 1.77648e | 1.77716e | 1.77785e |
| 1.77854e | 1.77923e | 1.77992e | 1.78061e | 1.78130e | 1.78199e | 1.78268e | 1.78337e |
| 1.78406e | 1.78475e | 1.78544e | 1.78613e | 1.78682e | 1.78750e | 1.78819e | 1.78888e |
| 1.78957e | 1.79026e | 1.79095e | 1.79164e | 1.79233e | 1.79302e | 1.79371e | 1.79440e |
| 1.79509e | 1.79578e | 1.79647e | 1.79716e | 1.79785e | 1.79853e | 1.79922e | 1.79991e |
| 1.80060e | 1.80129e | 1.80198e | 1.80267e | 1.80336e | 1.80405e | 1.80474e | 1.80543e |
| 1.80612e | 1.80681e | 1.80750e | 1.80819e | 1.80888e | 1.80956e | 1.81025e | 1.81094e |
| 1.81163e | 1.81232e | 1.81301e | 1.81370e | 1.81439e | 1.81508e | 1.81577e | 1.81646e |
| 1.81715e | 1.81784e | 1.81853e | 1.81922e | 1.81990e | 1.82059e | 1.82128e | 1.82197e |
| 1.82266e | 1.82335e | 1.82404e | 1.82473e | 1.82542e | 1.82611e | 1.82680e | 1.82749e |
| 1.82818e | 1.82887e | 1.82956e | 1.83025e | 1.83093e | 1.83162e | 1.83231e | 1.83300e |
| 1.83369e | 1.83438e | 1.83507e | 1.83576e | 1.83645e | 1.83714e | 1.83783e | 1.83852e |
| 1.83921e | 1.83990e | 1.84059e | 1.84127e | 1.84196e | 1.84265e | 1.84334e | 1.84403e |

| | | | | | | | |
|----------|----------|----------|----------|----------|----------|----------|----------|
| 1.84472e | 1.84541e | 1.84610e | 1.84679e | 1.84748e | 1.84817e | 1.84886e | 1.84955e |
| 1.85024e | 1.85093e | 1.85162e | 1.85230e | 1.85299e | 1.85368e | 1.85437e | 1.85506e |
| 1.85575e | 1.85644e | 1.85713e | 1.85782e | 1.85851e | 1.85920e | 1.85989e | 1.86058e |
| 1.86127e | 1.86196e | 1.86264e | 1.86333e | 1.86402e | 1.86471e | 1.86540e | 1.86609e |
| 1.86678e | 1.86747e | 1.86816e | 1.86885e | 1.86954e | 1.87023e | 1.87092e | 1.87161e |
| 1.87230e | 1.87299e | 1.87367e | 1.87436e | 1.87505e | 1.87574e | 1.87643e | 1.87712e |
| 1.87781e | 1.87850e | 1.87919e | 1.87988e | 1.88057e | 1.88126e | 1.88195e | 1.88264e |
| 1.88333e | 1.88402e | 1.88470e | 1.88539e | 1.88608e | 1.88677e | 1.88746e | 1.88815e |
| 1.88884e | 1.88953e | 1.89022e | 1.89091e | 1.89160e | 1.89229e | 1.89298e | 1.89367e |
| 1.89436e | 1.89504e | 1.89573e | 1.89642e | 1.89711e | 1.89780e | 1.89849e | 1.89918e |
| 1.89987e | 1.90056e | 1.90125e | 1.90194e | 1.90263e | 1.90332e | 1.90401e | 1.90470e |
| 1.90539e | 1.90607e | 1.90676e | 1.90745e | 1.90814e | 1.90883e | 1.90952e | 1.91021e |
| 1.91090e | 1.91159e | 1.91228e | 1.91297e | 1.91366e | 1.91435e | 1.91504e | 1.91573e |
| 1.91641e | 1.91710e | 1.91779e | 1.91848e | 1.91917e | 1.91986e | 1.92055e | 1.92124e |
| 1.92193e | 1.92262e | 1.92331e | 1.92400e | 1.92469e | 1.92538e | 1.92607e | 1.92676e |
| 1.92744e | 1.92813e | 1.92882e | 1.92951e | 1.93020e | 1.93089e | 1.93158e | 1.93227e |
| 1.93296e | 1.93365e | 1.93434e | 1.93503e | 1.93572e | 1.93641e | 1.93710e | 1.93778e |
| 1.93847e | 1.93916e | 1.93985e | 1.94054e | 1.94123e | 1.94192e | 1.94261e | 1.94330e |
| 1.94399e | 1.94468e | 1.94537e | 1.94606e | 1.94675e | 1.94744e | 1.94813e | 1.94881e |
| 1.94950e | 1.95019e | 1.95088e | 1.95157e | 1.95226e | 1.95295e | 1.95364e | 1.95433e |
| 1.95502e | 1.95571e | 1.95640e | 1.95709e | 1.95778e | 1.95847e | 1.95916e | 1.95984e |
| 1.96053e | 1.96122e | 1.96191e | 1.96260e | 1.96329e | 1.96398e | 1.96467e | 1.96536e |
| 1.96605e | 1.96674e | 1.96743e | 1.96812e | 1.96881e | 1.96950e | 1.97018e | 1.97087e |
| 1.97156e | 1.97225e | 1.97294e | 1.97363e | 1.97432e | 1.97501e | 1.97570e | 1.97639e |
| 1.97708e | 1.97777e | 1.97846e | 1.97915e | 1.97984e | 1.98053e | 1.98121e | 1.98190e |
| 1.98259e | 1.98328e | 1.98397e | 1.98466e | 1.98535e | 1.98604e | 1.98673e | 1.98742e |

| | | | | | | | |
|----------|----------|----------|----------|----------|----------|----------|----------|
| 1.98811e | 1.98880e | 1.98949e | 1.99018e | 1.99087e | 1.99155e | 1.99224e | 1.99293e |
| 1.99362e | 1.99431e | 1.99500e | 1.99569e | 1.99638e | 1.99707e | 1.99776e | 1.99845e |
| 1.99914e | 1.99983e | 2.00052e | 2.00121e | 2.00190e | 2.00258e | 2.00327e | 2.00396e |
| 2.00465e | 2.00534e | 2.00603e | 2.00672e | 2.00741e | 2.00810e | 2.00879e | 2.00948e |
| 2.01017e | 2.01086e | 2.01155e | 2.01224e | 2.01292e | 2.01361e | 2.01430e | 2.01499e |
| 2.01568e | 2.01637e | 2.01706e | 2.01775e | 2.01844e | 2.01913e | 2.01982e | 2.02051e |
| 2.02120e | 2.02189e | 2.02258e | 2.02327e | 2.02395e | 2.02464e | 2.02533e | 2.02602e |
| 2.02671e | 2.02740e | 2.02809e | 2.02878e | 2.02947e | 2.03016e | 2.03085e | 2.03154e |
| 2.03223e | 2.03292e | 2.03361e | 2.03430e | 2.03498e | 2.03567e | 2.03636e | 2.03705e |
| 2.03774e | 2.03843e | 2.03912e | 2.03981e | 2.04050e | 2.04119e | 2.04188e | 2.04257e |
| 2.04326e | 2.04395e | 2.04464e | 2.04532e | 2.04601e | 2.04670e | 2.04739e | 2.04808e |
| 2.04877e | 2.04946e | 2.05015e | 2.05084e | 2.05153e | 2.05222e | 2.05291e | 2.05360e |
| 2.05429e | 2.05498e | 2.05567e | 2.05635e | 2.05704e | 2.05773e | 2.05842e | 2.05911e |
| 2.05980e | 2.06049e | 2.06118e | 2.06187e | 2.06256e | 2.06325e | 2.06394e | 2.06463e |
| 2.06532e | 2.06601e | 2.06669e | 2.06738e | 2.06807e | 2.06876e | 2.06945e | 2.07014e |
| 2.07083e | 2.07152e | 2.07221e | 2.07290e | 2.07359e | 2.07428e | 2.07497e | 2.07566e |
| 2.07635e | 2.07704e | 2.07772e | 2.07841e | 2.07910e | 2.07979e | 2.08048e | 2.08117e |
| 2.08186e | 2.08255e | 2.08324e | 2.08393e | 2.08462e | 2.08531e | 2.08600e | 2.08669e |
| 2.08738e | 2.08806e | 2.08875e | 2.08944e | 2.09013e | 2.09082e | 2.09151e | 2.09220e |
| 2.09289e | 2.09358e | 2.09427e | 2.09496e | 2.09565e | 2.09634e | 2.09703e | 2.09772e |
| 2.09841e | 2.09909e | 2.09978e | 2.10047e | 2.10116e | 2.10185e | 2.10254e | 2.10323e |
| 2.10392e | 2.10461e | 2.10530e | 2.10599e | 2.10668e | 2.10737e | 2.10806e | 2.10875e |
| 2.10944e | 2.11012e | 2.11081e | 2.11150e | 2.11219e | 2.11288e | 2.11357e | 2.11426e |
| 2.11495e | 2.11564e | 2.11633e | 2.11702e | 2.11771e | 2.11840e | 2.11909e | 2.11978e |
| 2.12046e | 2.12115e | 2.12184e | 2.12253e | 2.12322e | 2.12391e | 2.12460e | 2.12529e |
| 2.12598e | 2.12667e | 2.12736e | 2.12805e | 2.12874e | 2.12943e | 2.13012e | 2.13081e |

| | | | | | | | |
|----------|----------|----------|----------|----------|----------|----------|----------|
| 2.13149e | 2.13218e | 2.13287e | 2.13356e | 2.13425e | 2.13494e | 2.13563e | 2.13632e |
| 2.13701e | 2.13770e | 2.13839e | 2.13908e | 2.13977e | 2.14046e | 2.14115e | 2.14183e |
| 2.14252e | 2.14321e | 2.14390e | 2.14459e | 2.14528e | 2.14597e | 2.14666e | 2.14735e |
| 2.14804e | 2.14873e | 2.14942e | 2.15011e | 2.15080e | 2.15149e | 2.15218e | 2.15286e |
| 2.15355e | 2.15424e | 2.15493e | 2.15562e | 2.15631e | 2.15700e | 2.15769e | 2.15838e |
| 2.15907e | 2.15976e | 2.16045e | 2.16114e | 2.16183e | 2.16252e | 2.16320e | 2.16389e |
| 2.16458e | 2.16527e | 2.16596e | 2.16665e | 2.16734e | 2.16803e | 2.16872e | 2.16941e |
| 2.17010e | 2.17079e | 2.17148e | 2.17217e | 2.17286e | 2.17355e | 2.17423e | 2.17492e |
| 2.17561e | 2.17630e | 2.17699e | 2.17768e | 2.17837e | 2.17906e | 2.17975e | 2.18044e |
| 2.18113e | 2.18182e | 2.18251e | 2.18320e | 2.18389e | 2.18457e | 2.18526e | 2.18595e |
| 2.18664e | 2.18733e | 2.18802e | 2.18871e | 2.18940e | 2.19009e | 2.19078e | 2.19147e |
| 2.19216e | 2.19285e | 2.19354e | 2.19423e | 2.19492e | 2.19560e | 2.19629e | 2.19698e |
| 2.19767e | 2.19836e | 2.19905e | 2.19974e | 2.20043e | 2.20112e | 2.20181e | 2.20250e |
| 2.20319e | 2.20388e | 2.20457e | 2.20526e | 2.20595e | 2.20663e | 2.20732e | 2.20801e |
| 2.20870e | 2.20939e | 2.21008e | 2.21077e | 2.21146e | 2.21215e | 2.21284e | 2.21353e |
| 2.21422e | 2.21491e | 2.21560e | 2.21629e | 2.21697e | 2.21766e | 2.21835e | 2.21904e |
| 2.21973e | 2.22042e | 2.22111e | 2.22180e | 2.22249e | 2.22318e | 2.22387e | 2.22456e |
| 2.22525e | 2.22594e | 2.22663e | 2.22732e | 2.22800e | 2.22869e | 2.22938e | 2.23007e |
| 2.23076e | 2.23145e | 2.23214e | 2.23283e | 2.23352e | 2.23421e | 2.23490e | 2.23559e |
| 2.23628e | 2.23697e | 2.23766e | 2.23834e | 2.23903e | 2.23972e | 2.24041e | 2.24110e |
| 2.24179e | 2.24248e | 2.24317e | 2.24386e | 2.24455e | 2.24524e | 2.24593e | 2.24662e |
| 2.24731e | 2.24800e | 2.24869e | 2.24937e | 2.25006e | 2.25075e | 2.25144e | 2.25213e |
| 2.25282e | 2.25351e | 2.25420e | 2.25489e | 2.25558e | 2.25627e | 2.25696e | 2.25765e |
| 2.25834e | 2.25903e | 2.25972e | 2.26040e | 2.26109e | 2.26178e | 2.26247e | 2.26316e |
| 2.26385e | 2.26454e | 2.26523e | 2.26592e | 2.26661e | 2.26730e | 2.26799e | 2.26868e |
| 2.26937e | 2.27006e | 2.27074e | 2.27143e | 2.27212e | 2.27281e | 2.27350e | 2.27419e |

| | | | | | | | |
|----------|----------|----------|----------|----------|----------|----------|----------|
| 2.27488e | 2.27557e | 2.27626e | 2.27695e | 2.27764e | 2.27833e | 2.27902e | 2.27971e |
| 2.28040e | 2.28109e | 2.28177e | 2.28246e | 2.28315e | 2.28384e | 2.28453e | 2.28522e |
| 2.28591e | 2.28660e | 2.28729e | 2.28798e | 2.28867e | 2.28936e | 2.29005e | 2.29074e |
| 2.29143e | 2.29211e | 2.29280e | 2.29349e | 2.29418e | 2.29487e | 2.29556e | 2.29625e |
| 2.29694e | 2.29763e | 2.29832e | 2.29901e | 2.29970e | 2.30039e | 2.30108e | 2.30177e |
| 2.30246e | 2.30314e | 2.30383e | 2.30452e | 2.30521e | 2.30590e | 2.30659e | 2.30728e |
| 2.30797e | 2.30866e | 2.30935e | 2.31004e | 2.31073e | 2.31142e | 2.31211e | 2.31280e |
| 2.31348e | 2.31417e | 2.31486e | 2.31555e | 2.31624e | 2.31693e | 2.31762e | 2.31831e |
| 2.31900e | 2.31969e | 2.32038e | 2.32107e | 2.32176e | 2.32245e | 2.32314e | 2.32383e |
| 2.32451e | 2.32520e | 2.32589e | 2.32658e | 2.32727e | 2.32796e | 2.32865e | 2.32934e |
| 2.33003e | 2.33072e | 2.33141e | 2.33210e | 2.33279e | 2.33348e | 2.33417e | 2.33485e |
| 2.33554e | 2.33623e | 2.33692e | 2.33761e | 2.33830e | 2.33899e | 2.33968e | 2.34037e |
| 2.34106e | 2.34175e | 2.34244e | 2.34313e | 2.34382e | 2.34451e | 2.34520e | 2.34588e |
| 2.34657e | 2.34726e | 2.34795e | 2.34864e | 2.34933e | 2.35002e | 2.35071e | 2.35140e |
| 2.35209e | 2.35278e | 2.35347e | 2.35416e | 2.35485e | 2.35554e | 2.35623e | 2.35691e |
| 2.35760e | 2.35829e | 2.35898e | 2.35967e | 2.36036e | 2.36105e | 2.36174e | 2.36243e |
| 2.36312e | 2.36381e | 2.36450e | 2.36519e | 2.36588e | 2.36657e | 2.36725e | 2.36794e |
| 2.36863e | 2.36932e | 2.37001e | 2.37070e | 2.37139e | 2.37208e | 2.37277e | 2.37346e |
| 2.37415e | 2.37484e | 2.37553e | 2.37622e | 2.37691e | 2.37760e | 2.37828e | 2.37897e |
| 2.37966e | 2.38035e | 2.38104e | 2.38173e | 2.38242e | 2.38311e | 2.38380e | 2.38449e |
| 2.38518e | 2.38587e | 2.38656e | 2.38725e | 2.38794e | 2.38863e | 2.38931e | 2.39000e |
| 2.39069e | 2.39138e | 2.39207e | 2.39276e | 2.39345e | 2.39414e | 2.39483e | 2.39552e |
| 2.39621e | 2.39690e | 2.39759e | 2.39828e | 2.39897e | 2.39965e | 2.40034e | 2.40103e |
| 2.40172e | 2.40241e | 2.40310e | 2.40379e | 2.40448e | 2.40517e | 2.40586e | 2.40655e |
| 2.40724e | 2.40793e | 2.40862e | 2.40931e | 2.41000e | 2.41068e | 2.41137e | 2.41206e |
| 2.41275e | 2.41344e | 2.41413e | 2.41482e | 2.41551e | 2.41620e | 2.41689e | 2.41758e |

| | | | | | | | |
|----------|----------|----------|----------|----------|----------|----------|----------|
| 2.41827e | 2.41896e | 2.41965e | 2.42034e | 2.42102e | 2.42171e | 2.42240e | 2.42309e |
| 2.42378e | 2.42447e | 2.42516e | 2.42585e | 2.42654e | 2.42723e | 2.42792e | 2.42861e |
| 2.42930e | 2.42999e | 2.43068e | 2.43137e | 2.43205e | 2.43274e | 2.43343e | 2.43412e |
| 2.43481e | 2.43550e | 2.43619e | 2.43688e | 2.43757e | 2.43826e | 2.43895e | 2.43964e |
| 2.44033e | 2.44102e | 2.44171e | 2.44239e | 2.44308e | 2.44377e | 2.44446e | 2.44515e |
| 2.44584e | 2.44653e | 2.44722e | 2.44791e | 2.44860e | 2.44929e | 2.44998e | 2.45067e |
| 2.45136e | 2.45205e | 2.45274e | 2.45342e | 2.45411e | 2.45480e | 2.45549e | 2.45618e |
| 2.45687e | 2.45756e | 2.45825e | 2.45894e | 2.45963e | 2.46032e | 2.46101e | 2.46170e |
| 2.46239e | 2.46308e | 2.46376e | 2.46445e | 2.46514e | 2.46583e | 2.46652e | 2.46721e |
| 2.46790e | 2.46859e | 2.46928e | 2.46997e | 2.47066e | 2.47135e | 2.47204e | 2.47273e |
| 2.47342e | 2.47411e | 2.47479e | 2.47548e | 2.47617e | 2.47686e | 2.47755e | 2.47824e |
| 2.47893e | 2.47962e | 2.48031e | 2.48100e | 2.48169e | 2.48238e | 2.48307e | 2.48376e |
| 2.48445e | 2.48514e | 2.48582e | 2.48651e | 2.48720e | 2.48789e | 2.48858e | 2.48927e |
| 2.48996e | 2.49065e | 2.49134e | 2.49203e | 2.49272e | 2.49341e | 2.49410e | 2.49479e |
| 2.49548e | 2.49616e | 2.49685e | 2.49754e | 2.49823e | 2.49892e | 2.49961e | 2.50030e |
| 2.50099e | 2.50168e | 2.50237e | | | | | |

Tabela 3. Valores de reflectância registrados para um exemplar de *N. paranaensis* nos comprimentos de onda infravermelha da tabela 2.

| | | | | |
|---------------|---------------|---------------|---------------|---------------|
| 0.1512454E+01 | 0.2191381E+01 | 0.1506689E+01 | 0.1357632E+01 | 0.1503511E+01 |
| 0.1485115E+01 | 0.1279246E+01 | 0.1654166E+01 | 0.1426871E+01 | 0.1497519E+01 |
| 0.1320238E+01 | 0.1283464E+01 | 0.1292720E+01 | 0.1800559E+01 | 0.1343702E+01 |
| 0.1425428E+01 | 0.1381400E+01 | 0.1488328E+01 | 0.1664685E+01 | 0.1525387E+01 |
| 0.1481108E+01 | 0.1276441E+01 | 0.1402325E+01 | 0.1338916E+01 | 0.1860426E+01 |
| 0.1534380E+01 | 0.1577854E+01 | 0.1803632E+01 | 0.1583450E+01 | 0.1710116E+01 |
| 0.1465706E+01 | 0.1510427E+01 | 0.1479615E+01 | 0.1656841E+01 | 0.1386037E+01 |
| 0.1665224E+01 | 0.1539363E+01 | 0.1497831E+01 | 0.1572693E+01 | 0.1638764E+01 |
| 0.1656475E+01 | 0.1433627E+01 | 0.1483325E+01 | 0.1390016E+01 | 0.1500348E+01 |
| 0.1393358E+01 | 0.1429073E+01 | 0.1666166E+01 | 0.1551002E+01 | 0.1680089E+01 |
| 0.1377087E+01 | 0.1398314E+01 | 0.1367655E+01 | 0.1389774E+01 | 0.1435425E+01 |
| 0.1502223E+01 | 0.1426965E+01 | 0.1350626E+01 | 0.1567000E+01 | 0.1349860E+01 |
| 0.1449770E+01 | 0.1423759E+01 | 0.1463054E+01 | 0.1386659E+01 | 0.1530358E+01 |
| 0.1490426E+01 | 0.1645992E+01 | 0.1544144E+01 | 0.1400636E+01 | 0.1384198E+01 |
| 0.1615136E+01 | 0.1697488E+01 | 0.1489680E+01 | 0.1429338E+01 | 0.1550611E+01 |
| 0.1433834E+01 | 0.1430705E+01 | 0.1568747E+01 | 0.1536505E+01 | 0.1558527E+01 |
| 0.1477780E+01 | 0.1422529E+01 | 0.1484239E+01 | 0.1317708E+01 | 0.1382139E+01 |
| 0.1437361E+01 | 0.1510689E+01 | 0.1358616E+01 | 0.1382048E+01 | 0.1520534E+01 |
| 0.1541621E+01 | 0.1528784E+01 | 0.1471205E+01 | 0.1502513E+01 | 0.1569318E+01 |
| 0.1496178E+01 | 0.1413578E+01 | 0.1619971E+01 | 0.1513607E+01 | 0.1394423E+01 |
| 0.1515590E+01 | 0.1451837E+01 | 0.1450801E+01 | 0.1559727E+01 | 0.1443362E+01 |
| 0.1523540E+01 | 0.1435862E+01 | 0.1359642E+01 | 0.1453593E+01 | 0.1517788E+01 |
| 0.1449853E+01 | 0.1616312E+01 | 0.1377905E+01 | 0.1339363E+01 | 0.1282095E+01 |
| 0.1441159E+01 | 0.1419026E+01 | 0.1425769E+01 | 0.1416370E+01 | 0.1448182E+01 |
| 0.1384202E+01 | 0.1423141E+01 | 0.1305239E+01 | 0.1336305E+01 | 0.1459875E+01 |
| 0.1487978E+01 | 0.1448466E+01 | 0.1349419E+01 | 0.1348833E+01 | 0.1330927E+01 |
| 0.1517950E+01 | 0.1508732E+01 | 0.1511787E+01 | 0.1439461E+01 | 0.1335474E+01 |
| 0.1468704E+01 | 0.1407207E+01 | 0.1359841E+01 | 0.1442321E+01 | 0.1361077E+01 |
| 0.1397571E+01 | 0.1378543E+01 | 0.1385262E+01 | 0.1429941E+01 | 0.1375115E+01 |
| 0.1392974E+01 | 0.1402230E+01 | 0.1404182E+01 | 0.1393824E+01 | 0.1436354E+01 |
| 0.1347637E+01 | 0.1347255E+01 | 0.1311073E+01 | 0.1450337E+01 | 0.1461688E+01 |
| 0.1373918E+01 | 0.1333732E+01 | 0.1385348E+01 | 0.1396731E+01 | 0.1353336E+01 |
| 0.1393013E+01 | 0.1508136E+01 | 0.1378671E+01 | 0.1387013E+01 | 0.1332111E+01 |
| 0.1376263E+01 | 0.1329373E+01 | 0.1425159E+01 | 0.1405680E+01 | 0.1398806E+01 |
| 0.1338459E+01 | 0.1464452E+01 | 0.1421115E+01 | 0.1344307E+01 | 0.1331293E+01 |
| 0.1356832E+01 | 0.1339550E+01 | 0.1373340E+01 | 0.1405514E+01 | 0.1423956E+01 |
| 0.1413175E+01 | 0.1416532E+01 | 0.1274220E+01 | 0.1318279E+01 | 0.1325648E+01 |
| 0.1431543E+01 | 0.1321860E+01 | 0.1392333E+01 | 0.1361487E+01 | 0.1315529E+01 |
| 0.1420054E+01 | 0.1320956E+01 | 0.1375040E+01 | 0.1434465E+01 | 0.1395822E+01 |
| 0.1373145E+01 | 0.1345726E+01 | 0.1377744E+01 | 0.1398957E+01 | 0.1344551E+01 |
| 0.1363076E+01 | 0.1344581E+01 | 0.1333091E+01 | 0.1354635E+01 | 0.1299432E+01 |
| 0.1386232E+01 | 0.1377202E+01 | 0.1389057E+01 | 0.1341822E+01 | 0.1313265E+01 |
| 0.1249901E+01 | 0.1295753E+01 | 0.1368901E+01 | 0.1309518E+01 | 0.1316730E+01 |
| 0.1342001E+01 | 0.1346295E+01 | 0.1336029E+01 | 0.1305277E+01 | 0.1359391E+01 |
| 0.1317001E+01 | 0.1299485E+01 | 0.1316223E+01 | 0.1303761E+01 | 0.1360733E+01 |

| | | | | |
|---------------|---------------|---------------|---------------|---------------|
| 0.1321302E+01 | 0.1317677E+01 | 0.1307538E+01 | 0.1273468E+01 | 0.1318390E+01 |
| 0.1327011E+01 | 0.1369517E+01 | 0.1327030E+01 | 0.1339995E+01 | 0.1344696E+01 |
| 0.1282266E+01 | 0.1303309E+01 | 0.1304618E+01 | 0.1355481E+01 | 0.1348683E+01 |
| 0.1300439E+01 | 0.1320996E+01 | 0.1324166E+01 | 0.1284776E+01 | 0.1286315E+01 |
| 0.1291859E+01 | 0.1297007E+01 | 0.1288722E+01 | 0.1299646E+01 | 0.1294152E+01 |
| 0.1295442E+01 | 0.1294116E+01 | 0.1303228E+01 | 0.1354295E+01 | 0.1282632E+01 |
| 0.1318983E+01 | 0.1276516E+01 | 0.1283331E+01 | 0.1292835E+01 | 0.1276330E+01 |
| 0.1279610E+01 | 0.1299169E+01 | 0.1293585E+01 | 0.1322140E+01 | 0.1284658E+01 |
| 0.1290083E+01 | 0.1302400E+01 | 0.1299052E+01 | 0.1285123E+01 | 0.1266946E+01 |
| 0.1275800E+01 | 0.1277633E+01 | 0.1285725E+01 | 0.1277968E+01 | 0.1298145E+01 |
| 0.1259686E+01 | 0.1266440E+01 | 0.1279434E+01 | 0.1256050E+01 | 0.1283436E+01 |
| 0.1275229E+01 | 0.1281212E+01 | 0.1288858E+01 | 0.1281616E+01 | 0.1254954E+01 |
| 0.1266034E+01 | 0.1278575E+01 | 0.1284146E+01 | 0.1258771E+01 | 0.1282354E+01 |
| 0.1277050E+01 | 0.1258210E+01 | 0.1255000E+01 | 0.1276955E+01 | 0.1278284E+01 |
| 0.1267402E+01 | 0.1248352E+01 | 0.1247849E+01 | 0.1261957E+01 | 0.1267595E+01 |
| 0.1266878E+01 | 0.1264992E+01 | 0.1232329E+01 | 0.1241596E+01 | 0.1258174E+01 |
| 0.1248871E+01 | 0.1231904E+01 | 0.1245764E+01 | 0.1255768E+01 | 0.1234995E+01 |
| 0.1247963E+01 | 0.1242927E+01 | 0.1222623E+01 | 0.1253411E+01 | 0.1255841E+01 |
| 0.1246283E+01 | 0.1227404E+01 | 0.1245664E+01 | 0.1266625E+01 | 0.1251643E+01 |
| 0.1242757E+01 | 0.1227307E+01 | 0.1238084E+01 | 0.1244982E+01 | 0.1253309E+01 |
| 0.1238873E+01 | 0.1247709E+01 | 0.1236323E+01 | 0.1240882E+01 | 0.1230380E+01 |
| 0.1235788E+01 | 0.1228269E+01 | 0.1218295E+01 | 0.1244872E+01 | 0.1227505E+01 |
| 0.1229431E+01 | 0.1222028E+01 | 0.1232111E+01 | 0.1221063E+01 | 0.1225576E+01 |
| 0.1233592E+01 | 0.1230388E+01 | 0.1216455E+01 | 0.1219198E+01 | 0.1220526E+01 |
| 0.1224315E+01 | 0.1224133E+01 | 0.1227083E+01 | 0.1226855E+01 | 0.1221254E+01 |
| 0.1225064E+01 | 0.1230904E+01 | 0.1214845E+01 | 0.1212497E+01 | 0.1217469E+01 |
| 0.1211104E+01 | 0.1214659E+01 | 0.1215109E+01 | 0.1212484E+01 | 0.1206999E+01 |
| 0.1212326E+01 | 0.1203867E+01 | 0.1201601E+01 | 0.1210847E+01 | 0.1218686E+01 |
| 0.1210622E+01 | 0.1213691E+01 | 0.1209149E+01 | 0.1202606E+01 | 0.1203391E+01 |
| 0.1205137E+01 | 0.1200277E+01 | 0.1208850E+01 | 0.1195923E+01 | 0.1197631E+01 |
| 0.1213381E+01 | 0.1208951E+01 | 0.1201148E+01 | 0.1199196E+01 | 0.1196151E+01 |
| 0.1195009E+01 | 0.1191296E+01 | 0.1195053E+01 | 0.1200913E+01 | 0.1199290E+01 |
| 0.1199661E+01 | 0.1192645E+01 | 0.1186452E+01 | 0.1189720E+01 | 0.1199140E+01 |
| 0.1196106E+01 | 0.1188306E+01 | 0.1188281E+01 | 0.1188480E+01 | 0.1184920E+01 |
| 0.1186656E+01 | 0.1185294E+01 | 0.1180915E+01 | 0.1187129E+01 | 0.1186655E+01 |
| 0.1188236E+01 | 0.1186562E+01 | 0.1185642E+01 | 0.1180815E+01 | 0.1178244E+01 |
| 0.1176673E+01 | 0.1177027E+01 | 0.1177841E+01 | 0.1178283E+01 | 0.1177396E+01 |
| 0.1177043E+01 | 0.1178512E+01 | 0.1174779E+01 | 0.1179303E+01 | 0.1177601E+01 |
| 0.1176128E+01 | 0.1173134E+01 | 0.1174444E+01 | 0.1176684E+01 | 0.1174953E+01 |
| 0.1171759E+01 | 0.1170598E+01 | 0.1176896E+01 | 0.1171296E+01 | 0.1168873E+01 |
| 0.1166093E+01 | 0.1169015E+01 | 0.1169276E+01 | 0.1173421E+01 | 0.1171367E+01 |
| 0.1174678E+01 | 0.1168886E+01 | 0.1168263E+01 | 0.1169248E+01 | 0.1163428E+01 |
| 0.1165077E+01 | 0.1161536E+01 | 0.1164419E+01 | 0.1170023E+01 | 0.1161691E+01 |
| 0.1152651E+01 | 0.1157987E+01 | 0.1162484E+01 | 0.1163255E+01 | 0.1162826E+01 |
| 0.1157506E+01 | 0.1154584E+01 | 0.1154222E+01 | 0.1154698E+01 | 0.1153508E+01 |
| 0.1155241E+01 | 0.1152241E+01 | 0.1158960E+01 | 0.1155732E+01 | 0.1154308E+01 |
| 0.1157723E+01 | 0.1154405E+01 | 0.1151627E+01 | 0.1153110E+01 | 0.1152666E+01 |
| 0.1150553E+01 | 0.1149952E+01 | 0.1146968E+01 | 0.1149757E+01 | 0.1149257E+01 |
| 0.1151003E+01 | 0.1150246E+01 | 0.1144162E+01 | 0.1142943E+01 | 0.1144646E+01 |
| 0.1144714E+01 | 0.1148010E+01 | 0.1145749E+01 | 0.1147040E+01 | 0.1146662E+01 |
| 0.1145509E+01 | 0.1146308E+01 | 0.1144029E+01 | 0.1142681E+01 | 0.1141227E+01 |

| | | | | |
|---------------|---------------|---------------|---------------|---------------|
| 0.1140376E+01 | 0.1141109E+01 | 0.1145836E+01 | 0.1145041E+01 | 0.1140146E+01 |
| 0.1138391E+01 | 0.1139470E+01 | 0.1136196E+01 | 0.1137873E+01 | 0.1141483E+01 |
| 0.1139696E+01 | 0.1136727E+01 | 0.1135110E+01 | 0.1136482E+01 | 0.1130108E+01 |
| 0.1132289E+01 | 0.1137320E+01 | 0.1135375E+01 | 0.1132583E+01 | 0.1131211E+01 |
| 0.1132294E+01 | 0.1134555E+01 | 0.1135982E+01 | 0.1131628E+01 | 0.1129073E+01 |
| 0.1130076E+01 | 0.1129563E+01 | 0.1130358E+01 | 0.1131950E+01 | 0.1129594E+01 |
| 0.1129466E+01 | 0.1128616E+01 | 0.1124048E+01 | 0.1123501E+01 | 0.1123363E+01 |
| 0.1123234E+01 | 0.1123473E+01 | 0.1125869E+01 | 0.1124245E+01 | 0.1123734E+01 |
| 0.1124301E+01 | 0.1125610E+01 | 0.1124687E+01 | 0.1120288E+01 | 0.1121823E+01 |
| 0.1119920E+01 | 0.1119948E+01 | 0.1118461E+01 | 0.1117325E+01 | 0.1115433E+01 |
| 0.1119357E+01 | 0.1118858E+01 | 0.1119264E+01 | 0.1116982E+01 | 0.1115990E+01 |
| 0.1114007E+01 | 0.1113128E+01 | 0.1115649E+01 | 0.1113675E+01 | 0.1111831E+01 |
| 0.1113735E+01 | 0.1112866E+01 | 0.1112474E+01 | 0.1114393E+01 | 0.1112634E+01 |
| 0.1110118E+01 | 0.1109731E+01 | 0.1109715E+01 | 0.1108523E+01 | 0.1110612E+01 |
| 0.1110979E+01 | 0.1111038E+01 | 0.1110300E+01 | 0.1110153E+01 | 0.1111209E+01 |
| 0.1109162E+01 | 0.1107679E+01 | 0.1109382E+01 | 0.1108622E+01 | 0.1104857E+01 |
| 0.1106970E+01 | 0.1104416E+01 | 0.1104339E+01 | 0.1104178E+01 | 0.1104835E+01 |
| 0.1106111E+01 | 0.1104459E+01 | 0.1104041E+01 | 0.1102238E+01 | 0.1103323E+01 |
| 0.1104642E+01 | 0.1103077E+01 | 0.1102685E+01 | 0.1102979E+01 | 0.1104060E+01 |
| 0.1101228E+01 | 0.1100068E+01 | 0.1102479E+01 | 0.1100381E+01 | 0.1098606E+01 |
| 0.1098821E+01 | 0.1099882E+01 | 0.1100136E+01 | 0.1099746E+01 | 0.1098324E+01 |
| 0.1100322E+01 | 0.1097980E+01 | 0.1098088E+01 | 0.1094997E+01 | 0.1094696E+01 |
| 0.1096254E+01 | 0.1096637E+01 | 0.1098073E+01 | 0.1096122E+01 | 0.1096552E+01 |
| 0.1097301E+01 | 0.1094374E+01 | 0.1092829E+01 | 0.1095239E+01 | 0.1095088E+01 |
| 0.1093439E+01 | 0.1092387E+01 | 0.1091693E+01 | 0.1093626E+01 | 0.1092857E+01 |
| 0.1090894E+01 | 0.1093727E+01 | 0.1093888E+01 | 0.1092025E+01 | 0.1092541E+01 |
| 0.1090070E+01 | 0.1087556E+01 | 0.1085581E+01 | 0.1086724E+01 | 0.1088024E+01 |
| 0.1087964E+01 | 0.1088823E+01 | 0.1088511E+01 | 0.1087705E+01 | 0.1089120E+01 |
| 0.1089381E+01 | 0.1086963E+01 | 0.1085803E+01 | 0.1086723E+01 | 0.1086970E+01 |
| 0.1087166E+01 | 0.1086817E+01 | 0.1085415E+01 | 0.1085350E+01 | 0.1084497E+01 |
| 0.1083632E+01 | 0.1082863E+01 | 0.1084091E+01 | 0.1086063E+01 | 0.1085473E+01 |
| 0.1084325E+01 | 0.1083241E+01 | 0.1084736E+01 | 0.1085349E+01 | 0.1084801E+01 |
| 0.1082763E+01 | 0.1079713E+01 | 0.1078845E+01 | 0.1080346E+01 | 0.1081035E+01 |
| 0.1081365E+01 | 0.1079271E+01 | 0.1079957E+01 | 0.1080558E+01 | 0.1078553E+01 |
| 0.1078034E+01 | 0.1079347E+01 | 0.1081043E+01 | 0.1080647E+01 | 0.1080420E+01 |
| 0.1078350E+01 | 0.1076482E+01 | 0.1075793E+01 | 0.1076556E+01 | 0.1076834E+01 |
| 0.1076734E+01 | 0.1077659E+01 | 0.1077909E+01 | 0.1077125E+01 | 0.1078618E+01 |
| 0.1078514E+01 | 0.1078054E+01 | 0.1075367E+01 | 0.1073235E+01 | 0.1072903E+01 |
| 0.1074615E+01 | 0.1075480E+01 | 0.1074116E+01 | 0.1073405E+01 | 0.1074287E+01 |
| 0.1074937E+01 | 0.1075259E+01 | 0.1074748E+01 | 0.1072867E+01 | 0.1072981E+01 |
| 0.1073971E+01 | 0.1072891E+01 | 0.1072116E+01 | 0.1072981E+01 | 0.1072373E+01 |
| 0.1071351E+01 | 0.1071366E+01 | 0.1071754E+01 | 0.1072431E+01 | 0.1072992E+01 |
| 0.1071974E+01 | 0.1070963E+01 | 0.1070133E+01 | 0.1069607E+01 | 0.1069536E+01 |
| 0.1069927E+01 | 0.1068472E+01 | 0.1066712E+01 | 0.1066611E+01 | 0.1065916E+01 |
| 0.1066174E+01 | 0.1065970E+01 | 0.1066559E+01 | 0.1067317E+01 | 0.1066317E+01 |
| 0.1065767E+01 | 0.1065670E+01 | 0.1064935E+01 | 0.1064161E+01 | 0.1063933E+01 |
| 0.1063860E+01 | 0.1063502E+01 | 0.1063604E+01 | 0.1063114E+01 | 0.1063430E+01 |
| 0.1062993E+01 | 0.1062266E+01 | 0.1062190E+01 | 0.1061995E+01 | 0.1061917E+01 |
| 0.1061942E+01 | 0.1061726E+01 | 0.1060751E+01 | 0.1060866E+01 | 0.1060392E+01 |
| 0.1059615E+01 | 0.1059863E+01 | 0.1059797E+01 | 0.1059534E+01 | 0.1058555E+01 |
| 0.1058715E+01 | 0.1058325E+01 | 0.1057117E+01 | 0.1056781E+01 | 0.1057294E+01 |

| | | | | |
|---------------|---------------|---------------|---------------|---------------|
| 0.1057513E+01 | 0.1057363E+01 | 0.1058014E+01 | 0.1058326E+01 | 0.1057455E+01 |
| 0.1056587E+01 | 0.1055671E+01 | 0.1055424E+01 | 0.1056225E+01 | 0.1056070E+01 |
| 0.1054523E+01 | 0.1054673E+01 | 0.1055147E+01 | 0.1054256E+01 | 0.1053245E+01 |
| 0.1053120E+01 | 0.1053298E+01 | 0.1053350E+01 | 0.1053576E+01 | 0.1053033E+01 |
| 0.1052021E+01 | 0.1050828E+01 | 0.1050981E+01 | 0.1052698E+01 | 0.1053779E+01 |
| 0.1053555E+01 | 0.1052629E+01 | 0.1051687E+01 | 0.1050664E+01 | 0.1050501E+01 |
| 0.1050982E+01 | 0.1050759E+01 | 0.1050375E+01 | 0.1050094E+01 | 0.1049607E+01 |
| 0.1049230E+01 | 0.1048901E+01 | 0.1048867E+01 | 0.1049490E+01 | 0.1050295E+01 |
| 0.1050315E+01 | 0.1049560E+01 | 0.1048316E+01 | 0.1047775E+01 | 0.1048368E+01 |
| 0.1047746E+01 | 0.1047067E+01 | 0.1047594E+01 | 0.1047842E+01 | 0.1046902E+01 |
| 0.1046038E+01 | 0.1045638E+01 | 0.1045421E+01 | 0.1045856E+01 | 0.1046371E+01 |
| 0.1046096E+01 | 0.1044999E+01 | 0.1044757E+01 | 0.1045338E+01 | 0.1045072E+01 |
| 0.1044462E+01 | 0.1044238E+01 | 0.1043617E+01 | 0.1043271E+01 | 0.1043741E+01 |
| 0.1043858E+01 | 0.1043275E+01 | 0.1042912E+01 | 0.1043313E+01 | 0.1043573E+01 |
| 0.1042931E+01 | 0.1042415E+01 | 0.1042885E+01 | 0.1043001E+01 | 0.1041809E+01 |
| 0.1041454E+01 | 0.1041662E+01 | 0.1040500E+01 | 0.1040161E+01 | 0.1040671E+01 |
| 0.1040517E+01 | 0.1040491E+01 | 0.1041231E+01 | 0.1041256E+01 | 0.1040148E+01 |
| 0.1039983E+01 | 0.1039936E+01 | 0.1039786E+01 | 0.1039692E+01 | 0.1039047E+01 |
| 0.1039053E+01 | 0.1038641E+01 | 0.1037968E+01 | 0.1037914E+01 | 0.1038133E+01 |
| 0.1038275E+01 | 0.1038481E+01 | 0.1038690E+01 | 0.1038700E+01 | 0.1037929E+01 |
| 0.1036721E+01 | 0.1036223E+01 | 0.1036342E+01 | 0.1036768E+01 | 0.1037190E+01 |
| 0.1036750E+01 | 0.1036037E+01 | 0.1036388E+01 | 0.1036734E+01 | 0.1036283E+01 |
| 0.1036017E+01 | 0.1035864E+01 | 0.1035564E+01 | 0.1035637E+01 | 0.1035889E+01 |
| 0.1035775E+01 | 0.1035123E+01 | 0.1034257E+01 | 0.1034133E+01 | 0.1034194E+01 |
| 0.1034117E+01 | 0.1034135E+01 | 0.1033652E+01 | 0.1033420E+01 | 0.1033732E+01 |
| 0.1033747E+01 | 0.1033526E+01 | 0.1033322E+01 | 0.1033114E+01 | 0.1033045E+01 |
| 0.1032985E+01 | 0.1032841E+01 | 0.1032822E+01 | 0.1032777E+01 | 0.1032683E+01 |
| 0.1032230E+01 | 0.1031617E+01 | 0.1031572E+01 | 0.1031265E+01 | 0.1030778E+01 |
| 0.1030603E+01 | 0.1030486E+01 | 0.1031085E+01 | 0.1031607E+01 | 0.1031247E+01 |
| 0.1030862E+01 | 0.1031033E+01 | 0.1031232E+01 | 0.1030959E+01 | 0.1030420E+01 |
| 0.1029847E+01 | 0.1029791E+01 | 0.1030080E+01 | 0.1030196E+01 | 0.1030175E+01 |
| 0.1030072E+01 | 0.1029954E+01 | 0.1030022E+01 | 0.1030184E+01 | 0.1030223E+01 |
| 0.1030143E+01 | 0.1029999E+01 | 0.1029808E+01 | 0.1029736E+01 | 0.1030054E+01 |
| 0.1030362E+01 | 0.1030364E+01 | 0.1030281E+01 | 0.1029796E+01 | 0.1029225E+01 |
| 0.1029261E+01 | 0.1029371E+01 | 0.1029189E+01 | 0.1029187E+01 | 0.1029459E+01 |
| 0.1029449E+01 | 0.1029236E+01 | 0.1029383E+01 | 0.1029417E+01 | 0.1028936E+01 |
| 0.1028442E+01 | 0.1028265E+01 | 0.1028444E+01 | 0.1028697E+01 | 0.1028675E+01 |
| 0.1028463E+01 | 0.1028445E+01 | 0.1028883E+01 | 0.1029288E+01 | 0.1029513E+01 |
| 0.1029919E+01 | 0.1029992E+01 | 0.1029871E+01 | 0.1030434E+01 | 0.1031030E+01 |
| 0.1030601E+01 | 0.1029817E+01 | 0.1029819E+01 | 0.1029975E+01 | 0.1029481E+01 |
| 0.1029991E+01 | 0.1030943E+01 | 0.1031073E+01 | 0.1031633E+01 | 0.1032301E+01 |
| 0.1031381E+01 | 0.1029099E+01 | 0.1028716E+01 | 0.1030271E+01 | 0.1030349E+01 |
| 0.1029046E+01 | 0.1028842E+01 | 0.1030048E+01 | 0.1030746E+01 | 0.1029992E+01 |
| 0.1029075E+01 | 0.1029207E+01 | 0.1029777E+01 | 0.1029835E+01 | 0.1029353E+01 |
| 0.1028738E+01 | 0.1028365E+01 | 0.1028384E+01 | 0.1028194E+01 | 0.1027901E+01 |
| 0.1028494E+01 | 0.1029154E+01 | 0.1029047E+01 | 0.1028820E+01 | 0.1028484E+01 |
| 0.1028840E+01 | 0.1029897E+01 | 0.1029935E+01 | 0.1029770E+01 | 0.1031281E+01 |
| 0.1032386E+01 | 0.1031054E+01 | 0.1030377E+01 | 0.1030706E+01 | 0.1030151E+01 |
| 0.1029229E+01 | 0.1029498E+01 | 0.1030421E+01 | 0.1030598E+01 | 0.1030592E+01 |
| 0.1030639E+01 | 0.1030312E+01 | 0.1030160E+01 | 0.1030768E+01 | 0.1031174E+01 |
| 0.1030536E+01 | 0.1030668E+01 | 0.1032257E+01 | 0.1033156E+01 | 0.1032937E+01 |

| | | | | |
|---------------|---------------|---------------|---------------|---------------|
| 0.1031996E+01 | 0.1031204E+01 | 0.1031437E+01 | 0.1032629E+01 | 0.1034187E+01 |
| 0.1035300E+01 | 0.1035357E+01 | 0.1034471E+01 | 0.1033404E+01 | 0.1032894E+01 |
| 0.1033926E+01 | 0.1035557E+01 | 0.1035727E+01 | 0.1035264E+01 | 0.1035496E+01 |
| 0.1035867E+01 | 0.1035789E+01 | 0.1036116E+01 | 0.1037288E+01 | 0.1037271E+01 |
| 0.1036230E+01 | 0.1036308E+01 | 0.1036623E+01 | 0.1036826E+01 | 0.1037426E+01 |
| 0.1038279E+01 | 0.1038706E+01 | 0.1038558E+01 | 0.1038660E+01 | 0.1039087E+01 |
| 0.1039096E+01 | 0.1039350E+01 | 0.1040256E+01 | 0.1040902E+01 | 0.1040679E+01 |
| 0.1040031E+01 | 0.1039879E+01 | 0.1040309E+01 | 0.1040823E+01 | 0.1041128E+01 |
| 0.1041136E+01 | 0.1041224E+01 | 0.1041259E+01 | 0.1041200E+01 | 0.1041331E+01 |
| 0.1041905E+01 | 0.1042208E+01 | 0.1041954E+01 | 0.1042020E+01 | 0.1042441E+01 |
| 0.1042721E+01 | 0.1042678E+01 | 0.1042601E+01 | 0.1042872E+01 | 0.1043069E+01 |
| 0.1042633E+01 | 0.1042355E+01 | 0.1042541E+01 | 0.1043033E+01 | 0.1043449E+01 |
| 0.1043494E+01 | 0.1043239E+01 | 0.1042984E+01 | 0.1042733E+01 | 0.1042524E+01 |
| 0.1042459E+01 | 0.1042549E+01 | 0.1042678E+01 | 0.1042704E+01 | 0.1043071E+01 |
| 0.1043648E+01 | 0.1043845E+01 | 0.1043735E+01 | 0.1043614E+01 | 0.1043686E+01 |
| 0.1043828E+01 | 0.1043765E+01 | 0.1043768E+01 | 0.1043658E+01 | 0.1043424E+01 |
| 0.1043311E+01 | 0.1043560E+01 | 0.1043938E+01 | 0.1044010E+01 | 0.1043950E+01 |
| 0.1043841E+01 | 0.1043869E+01 | 0.1044124E+01 | 0.1044467E+01 | 0.1044412E+01 |
| 0.1044214E+01 | 0.1044213E+01 | 0.1044377E+01 | 0.1044504E+01 | 0.1044401E+01 |
| 0.1044394E+01 | 0.1044554E+01 | 0.1044443E+01 | 0.1044297E+01 | 0.1044340E+01 |
| 0.1044633E+01 | 0.1044913E+01 | 0.1045083E+01 | 0.1045208E+01 | 0.1045257E+01 |
| 0.1045277E+01 | 0.1045346E+01 | 0.1045268E+01 | 0.1044893E+01 | 0.1044930E+01 |
| 0.1045254E+01 | 0.1045562E+01 | 0.1045576E+01 | 0.1045595E+01 | 0.1045426E+01 |
| 0.1045316E+01 | 0.1045418E+01 | 0.1045700E+01 | 0.1045703E+01 | 0.1045636E+01 |
| 0.1045909E+01 | 0.1046303E+01 | 0.1046598E+01 | 0.1046663E+01 | 0.1046523E+01 |
| 0.1046279E+01 | 0.1046215E+01 | 0.1046419E+01 | 0.1046854E+01 | 0.1047350E+01 |
| 0.1047607E+01 | 0.1047540E+01 | 0.1047383E+01 | 0.1047345E+01 | 0.1047403E+01 |
| 0.1047250E+01 | 0.1047292E+01 | 0.1047544E+01 | 0.1047869E+01 | 0.1047937E+01 |
| 0.1047840E+01 | 0.1047912E+01 | 0.1048169E+01 | 0.1048523E+01 | 0.1048745E+01 |
| 0.1048670E+01 | 0.1048395E+01 | 0.1048108E+01 | 0.1047929E+01 | 0.1047867E+01 |
| 0.1047795E+01 | 0.1047896E+01 | 0.1048025E+01 | 0.1048049E+01 | 0.1047910E+01 |
| 0.1047787E+01 | 0.1047662E+01 | 0.1047589E+01 | 0.1047591E+01 | 0.1047424E+01 |
| 0.1047141E+01 | 0.1046962E+01 | 0.1046881E+01 | 0.1046787E+01 | 0.1046771E+01 |
| 0.1046642E+01 | 0.1046475E+01 | 0.1046395E+01 | 0.1046697E+01 | 0.1046789E+01 |
| 0.1046598E+01 | 0.1046269E+01 | 0.1045979E+01 | 0.1045710E+01 | 0.1045451E+01 |
| 0.1045301E+01 | 0.1045249E+01 | 0.1045136E+01 | 0.1044890E+01 | 0.1044773E+01 |
| 0.1044703E+01 | 0.1044542E+01 | 0.1044186E+01 | 0.1044045E+01 | 0.1044091E+01 |
| 0.1044243E+01 | 0.1044170E+01 | 0.1044010E+01 | 0.1043918E+01 | 0.1043817E+01 |
| 0.1043436E+01 | 0.1043135E+01 | 0.1043102E+01 | 0.1043158E+01 | 0.1043052E+01 |
| 0.1043041E+01 | 0.1043171E+01 | 0.1043215E+01 | 0.1042987E+01 | 0.1042445E+01 |
| 0.1042053E+01 | 0.1041841E+01 | 0.1041777E+01 | 0.1041508E+01 | 0.1041256E+01 |
| 0.1041143E+01 | 0.1041157E+01 | 0.1041016E+01 | 0.1040797E+01 | 0.1040586E+01 |
| 0.1040396E+01 | 0.1040173E+01 | 0.1040091E+01 | 0.1040054E+01 | 0.1039982E+01 |
| 0.1039642E+01 | 0.1039332E+01 | 0.1039209E+01 | 0.1039247E+01 | 0.1039171E+01 |
| 0.1038748E+01 | 0.1038338E+01 | 0.1038066E+01 | 0.1038045E+01 | 0.1037899E+01 |
| 0.1037697E+01 | 0.1037480E+01 | 0.1037387E+01 | 0.1037217E+01 | 0.1037007E+01 |
| 0.1036789E+01 | 0.1036839E+01 | 0.1036806E+01 | 0.1036651E+01 | 0.1036330E+01 |
| 0.1036020E+01 | 0.1035876E+01 | 0.1035851E+01 | 0.1035873E+01 | 0.1035707E+01 |
| 0.1035668E+01 | 0.1035781E+01 | 0.1035994E+01 | 0.1036099E+01 | 0.1036127E+01 |
| 0.1036092E+01 | 0.1036083E+01 | 0.1036191E+01 | 0.1036260E+01 | 0.1036126E+01 |
| 0.1035996E+01 | 0.1036017E+01 | 0.1036127E+01 | 0.1036093E+01 | 0.1036107E+01 |

| | | | | |
|---------------|---------------|---------------|---------------|---------------|
| 0.1036086E+01 | 0.1035994E+01 | 0.1035648E+01 | 0.1035498E+01 | 0.1035548E+01 |
| 0.1035868E+01 | 0.1036007E+01 | 0.1035848E+01 | 0.1035419E+01 | 0.1035187E+01 |
| 0.1035265E+01 | 0.1035383E+01 | 0.1035272E+01 | 0.1034916E+01 | 0.1034657E+01 |
| 0.1034538E+01 | 0.1034567E+01 | 0.1034660E+01 | 0.1034788E+01 | 0.1034932E+01 |
| 0.1034860E+01 | 0.1034684E+01 | 0.1034422E+01 | 0.1034117E+01 | 0.1033938E+01 |
| 0.1033880E+01 | 0.1033993E+01 | 0.1033897E+01 | 0.1033635E+01 | 0.1033200E+01 |
| 0.1033036E+01 | 0.1033105E+01 | 0.1033308E+01 | 0.1033333E+01 | 0.1033121E+01 |
| 0.1032852E+01 | 0.1032645E+01 | 0.1032405E+01 | 0.1032128E+01 | 0.1031813E+01 |
| 0.1031573E+01 | 0.1031316E+01 | 0.1031081E+01 | 0.1031014E+01 | 0.1031088E+01 |
| 0.1031178E+01 | 0.1031176E+01 | 0.1031059E+01 | 0.1030947E+01 | 0.1030874E+01 |
| 0.1031034E+01 | 0.1031183E+01 | 0.1031285E+01 | 0.1031028E+01 | 0.1030652E+01 |
| 0.1030270E+01 | 0.1030206E+01 | 0.1030272E+01 | 0.1030311E+01 | 0.1030138E+01 |
| 0.1029992E+01 | 0.1029863E+01 | 0.1029754E+01 | 0.1029689E+01 | 0.1029709E+01 |
| 0.1029835E+01 | 0.1029819E+01 | 0.1029725E+01 | 0.1029571E+01 | 0.1029635E+01 |
| 0.1029737E+01 | 0.1029835E+01 | 0.1029651E+01 | 0.1029473E+01 | 0.1029319E+01 |
| 0.1029275E+01 | 0.1029125E+01 | 0.1028971E+01 | 0.1028982E+01 | 0.1029189E+01 |
| 0.1029397E+01 | 0.1029392E+01 | 0.1029266E+01 | 0.1029142E+01 | 0.1029114E+01 |
| 0.1028976E+01 | 0.1028767E+01 | 0.1028463E+01 | 0.1028287E+01 | 0.1028193E+01 |
| 0.1028209E+01 | 0.1028145E+01 | 0.1028056E+01 | 0.1027952E+01 | 0.1027936E+01 |
| 0.1027922E+01 | 0.1027873E+01 | 0.1027881E+01 | 0.1027922E+01 | 0.1028006E+01 |
| 0.1028047E+01 | 0.1028043E+01 | 0.1027963E+01 | 0.1027815E+01 | 0.1027698E+01 |
| 0.1027691E+01 | 0.1027704E+01 | 0.1027668E+01 | 0.1027485E+01 | 0.1027361E+01 |
| 0.1027309E+01 | 0.1027429E+01 | 0.1027452E+01 | 0.1027431E+01 | 0.1027395E+01 |
| 0.1027472E+01 | 0.1027591E+01 | 0.1027615E+01 | 0.1027699E+01 | 0.1027821E+01 |
| 0.1027942E+01 | 0.1028015E+01 | 0.1028051E+01 | 0.1028342E+01 | 0.1028615E+01 |
| 0.1028867E+01 | 0.1029043E+01 | 0.1029245E+01 | 0.1029496E+01 | 0.1029670E+01 |
| 0.1029804E+01 | 0.1029877E+01 | 0.1030086E+01 | 0.1030367E+01 | 0.1030764E+01 |
| 0.1031056E+01 | 0.1031300E+01 | 0.1031589E+01 | 0.1031891E+01 | 0.1032203E+01 |
| 0.1032310E+01 | 0.1032444E+01 | 0.1032613E+01 | 0.1033043E+01 | 0.1033554E+01 |
| 0.1034165E+01 | 0.1034724E+01 | 0.1035251E+01 | 0.1035711E+01 | 0.1036123E+01 |
| 0.1036503E+01 | 0.1036823E+01 | 0.1037126E+01 | 0.1037410E+01 | 0.1037694E+01 |
| 0.1038032E+01 | 0.1038480E+01 | 0.1039087E+01 | 0.1039720E+01 | 0.1040219E+01 |
| 0.1040603E+01 | 0.1040905E+01 | 0.1041362E+01 | 0.1041827E+01 | 0.1042301E+01 |
| 0.1042701E+01 | 0.1043112E+01 | 0.1043616E+01 | 0.1044012E+01 | 0.1044328E+01 |
| 0.1044211E+01 | 0.1044055E+01 | 0.1043849E+01 | 0.1043945E+01 | 0.1044138E+01 |
| 0.1044457E+01 | 0.1044620E+01 | 0.1044691E+01 | 0.1044621E+01 | 0.1044533E+01 |
| 0.1044423E+01 | 0.1044437E+01 | 0.1044482E+01 | 0.1044546E+01 | 0.1044472E+01 |
| 0.1044304E+01 | 0.1044224E+01 | 0.1044206E+01 | 0.1044294E+01 | 0.1044419E+01 |
| 0.1044534E+01 | 0.1044479E+01 | 0.1044309E+01 | 0.1044024E+01 | 0.1043962E+01 |
| 0.1044020E+01 | 0.1044356E+01 | 0.1044636E+01 | 0.1044880E+01 | 0.1044835E+01 |
| 0.1044794E+01 | 0.1044775E+01 | 0.1044953E+01 | 0.1045220E+01 | 0.1045559E+01 |
| 0.1045815E+01 | 0.1045958E+01 | 0.1046066E+01 | 0.1046198E+01 | 0.1046546E+01 |
| 0.1046957E+01 | 0.1047435E+01 | 0.1047714E+01 | 0.1047928E+01 | 0.1048036E+01 |
| 0.1048253E+01 | 0.1048569E+01 | 0.1048934E+01 | 0.1049268E+01 | 0.1049458E+01 |
| 0.1049631E+01 | 0.1049789E+01 | 0.1049915E+01 | 0.1050013E+01 | 0.1050025E+01 |
| 0.1050115E+01 | 0.1050270E+01 | 0.1050536E+01 | 0.1050783E+01 | 0.1050899E+01 |
| 0.1050924E+01 | 0.1050869E+01 | 0.1050778E+01 | 0.1050698E+01 | 0.1050698E+01 |
| 0.1050774E+01 | 0.1050926E+01 | 0.1050982E+01 | 0.1050989E+01 | 0.1050818E+01 |
| 0.1050702E+01 | 0.1050656E+01 | 0.1050679E+01 | 0.1050721E+01 | 0.1050659E+01 |
| 0.1050582E+01 | 0.1050477E+01 | 0.1050331E+01 | 0.1050166E+01 | 0.1050005E+01 |
| 0.1049844E+01 | 0.1049683E+01 | 0.1049498E+01 | 0.1049292E+01 | 0.1049232E+01 |

| | | | | |
|---------------|---------------|---------------|---------------|---------------|
| 0.1049202E+01 | 0.1049200E+01 | 0.1049094E+01 | 0.1048851E+01 | 0.1048603E+01 |
| 0.1048353E+01 | 0.1048218E+01 | 0.1048074E+01 | 0.1047905E+01 | 0.1047785E+01 |
| 0.1047702E+01 | 0.1047725E+01 | 0.1047754E+01 | 0.1047679E+01 | 0.1047566E+01 |
| 0.1047392E+01 | 0.1047237E+01 | 0.1047092E+01 | 0.1046970E+01 | 0.1046855E+01 |
| 0.1046758E+01 | 0.1046661E+01 | 0.1046565E+01 | 0.1046505E+01 | 0.1046460E+01 |
| 0.1046436E+01 | 0.1046386E+01 | 0.1046250E+01 | 0.1046113E+01 | 0.1045975E+01 |
| 0.1045840E+01 | 0.1045706E+01 | 0.1045470E+01 | 0.1045254E+01 | 0.1045110E+01 |
| 0.1045040E+01 | 0.1045050E+01 | 0.1045011E+01 | 0.1044951E+01 | 0.1044905E+01 |
| 0.1044876E+01 | 0.1044916E+01 | 0.1044893E+01 | 0.1044784E+01 | 0.1044595E+01 |
| 0.1044366E+01 | 0.1044230E+01 | 0.1044128E+01 | 0.1044198E+01 | 0.1044304E+01 |
| 0.1044479E+01 | 0.1044602E+01 | 0.1044684E+01 | 0.1044638E+01 | 0.1044555E+01 |
| 0.1044354E+01 | 0.1044177E+01 | 0.1044086E+01 | 0.1044087E+01 | 0.1044214E+01 |
| 0.1044328E+01 | 0.1044435E+01 | 0.1044557E+01 | 0.1044679E+01 | 0.1044751E+01 |
| 0.1044791E+01 | 0.1044737E+01 | 0.1044736E+01 | 0.1044797E+01 | 0.1044870E+01 |
| 0.1044948E+01 | 0.1044937E+01 | 0.1044912E+01 | 0.1044944E+01 | 0.1045016E+01 |
| 0.1045222E+01 | 0.1045414E+01 | 0.1045586E+01 | 0.1045541E+01 | 0.1045352E+01 |
| 0.1045033E+01 | 0.1044679E+01 | 0.1044732E+01 | 0.1044832E+01 | 0.1045116E+01 |
| 0.1045275E+01 | 0.1045164E+01 | 0.1045058E+01 | 0.1044958E+01 | 0.1045076E+01 |
| 0.1045308E+01 | 0.1045343E+01 | 0.1045336E+01 | 0.1044972E+01 | 0.1044677E+01 |
| 0.1044775E+01 | 0.1045007E+01 | 0.1045531E+01 | 0.1045762E+01 | 0.1045665E+01 |
| 0.1045417E+01 | 0.1045079E+01 | 0.1045333E+01 | 0.1045756E+01 | 0.1046378E+01 |
| 0.1046945E+01 | 0.1046622E+01 | 0.1046167E+01 | 0.1045233E+01 | 0.1044618E+01 |
| 0.1044572E+01 | 0.1044912E+01 | 0.1045642E+01 | 0.1045835E+01 | 0.1045719E+01 |
| 0.1045464E+01 | 0.1045167E+01 | 0.1045454E+01 | 0.1045802E+01 | 0.1045956E+01 |
| 0.1046004E+01 | 0.1045469E+01 | 0.1044968E+01 | 0.1044559E+01 | 0.1044509E+01 |
| 0.1045009E+01 | 0.1045604E+01 | 0.1046290E+01 | 0.1046449E+01 | 0.1046297E+01 |
| 0.1045820E+01 | 0.1045229E+01 | 0.1045093E+01 | 0.1045036E+01 | 0.1045259E+01 |
| 0.1045440E+01 | 0.1044795E+01 | 0.1044110E+01 | 0.1043217E+01 | 0.1042630E+01 |
| 0.1042897E+01 | 0.1043520E+01 | 0.1044777E+01 | 0.1045606E+01 | 0.1045919E+01 |
| 0.1045467E+01 | 0.1044374E+01 | 0.1043575E+01 | 0.1042948E+01 | 0.1043004E+01 |
| 0.1043329E+01 | 0.1043861E+01 | 0.1044446E+01 | 0.1044386E+01 | 0.1044238E+01 |
| 0.1044340E+01 | 0.1044455E+01 | 0.1044602E+01 | 0.1044736E+01 | 0.1044748E+01 |
| 0.1044841E+01 | 0.1045321E+01 | 0.1045583E+01 | 0.1045148E+01 | 0.1044756E+01 |
| 0.1044465E+01 | 0.1044467E+01 | 0.1044984E+01 | 0.1045323E+01 | 0.1045419E+01 |
| 0.1045756E+01 | 0.1046358E+01 | 0.1047159E+01 | 0.1048138E+01 | 0.1048762E+01 |
| 0.1049124E+01 | 0.1049694E+01 | 0.1050389E+01 | 0.1051026E+01 | 0.1051635E+01 |
| 0.1051873E+01 | 0.1051959E+01 | 0.1051891E+01 | 0.1051770E+01 | 0.1052074E+01 |
| 0.1052497E+01 | 0.1052930E+01 | 0.1053366E+01 | 0.1053465E+01 | 0.1053501E+01 |
| 0.1054175E+01 | 0.1054945E+01 | 0.1055996E+01 | 0.1057080E+01 | 0.1058198E+01 |
| 0.1059318E+01 | 0.1060425E+01 | 0.1061530E+01 | 0.1062409E+01 | 0.1063276E+01 |
| 0.1064454E+01 | 0.1065645E+01 | 0.1067333E+01 | 0.1069034E+01 | 0.1070986E+01 |
| 0.1072943E+01 | 0.1074749E+01 | 0.1076550E+01 | 0.1078160E+01 | 0.1079765E+01 |
| 0.1081277E+01 | 0.1082785E+01 | 0.1084291E+01 | 0.1085795E+01 | 0.1087735E+01 |
| 0.1089691E+01 | 0.1092111E+01 | 0.1094552E+01 | 0.1096899E+01 | 0.1099238E+01 |
| 0.1100845E+01 | 0.1102390E+01 | 0.1103866E+01 | 0.1105334E+01 | 0.1107334E+01 |
| 0.1109405E+01 | 0.1111780E+01 | 0.1114204E+01 | 0.1116184E+01 | 0.1118068E+01 |
| 0.1119071E+01 | 0.1119845E+01 | 0.1120864E+01 | 0.1121960E+01 | 0.1123560E+01 |
| 0.1125353E+01 | 0.1127192E+01 | 0.1129051E+01 | 0.1130665E+01 | 0.1132138E+01 |
| 0.1133225E+01 | 0.1134043E+01 | 0.1134812E+01 | 0.1135539E+01 | 0.1136349E+01 |
| 0.1137248E+01 | 0.1138488E+01 | 0.1140178E+01 | 0.1141804E+01 | 0.1143324E+01 |
| 0.1144305E+01 | 0.1144097E+01 | 0.1144027E+01 | 0.1144381E+01 | 0.1144816E+01 |

| | | | | |
|---------------|---------------|---------------|---------------|---------------|
| 0.1145624E+01 | 0.1146392E+01 | 0.1146828E+01 | 0.1147272E+01 | 0.1147959E+01 |
| 0.1148645E+01 | 0.1149161E+01 | 0.1149669E+01 | 0.1149969E+01 | 0.1150240E+01 |
| 0.1150347E+01 | 0.1150412E+01 | 0.1150441E+01 | 0.1150455E+01 | 0.1150686E+01 |
| 0.1151053E+01 | 0.1151383E+01 | 0.1151677E+01 | 0.1151812E+01 | 0.1151733E+01 |
| 0.1151650E+01 | 0.1151558E+01 | 0.1151423E+01 | 0.1151139E+01 | 0.1150831E+01 |
| 0.1150352E+01 | 0.1149876E+01 | 0.1149734E+01 | 0.1149592E+01 | 0.1149520E+01 |
| 0.1149456E+01 | 0.1149108E+01 | 0.1148684E+01 | 0.1148200E+01 | 0.1147687E+01 |
| 0.1147166E+01 | 0.1146639E+01 | 0.1146079E+01 | 0.1145472E+01 | 0.1144930E+01 |
| 0.1144544E+01 | 0.1144179E+01 | 0.1143920E+01 | 0.1143658E+01 | 0.1143267E+01 |
| 0.1142876E+01 | 0.1142438E+01 | 0.1141994E+01 | 0.1141502E+01 | 0.1140994E+01 |
| 0.1140522E+01 | 0.1140074E+01 | 0.1139681E+01 | 0.1139352E+01 | 0.1139014E+01 |
| 0.1138656E+01 | 0.1138289E+01 | 0.1137880E+01 | 0.1137470E+01 | 0.1137082E+01 |
| 0.1136693E+01 | 0.1136493E+01 | 0.1136328E+01 | 0.1136126E+01 | 0.1135907E+01 |
| 0.1135573E+01 | 0.1135129E+01 | 0.1134709E+01 | 0.1134337E+01 | 0.1133972E+01 |
| 0.1133639E+01 | 0.1133307E+01 | 0.1132941E+01 | 0.1132574E+01 | 0.1132162E+01 |
| 0.1131738E+01 | 0.1131332E+01 | 0.1130936E+01 | 0.1130593E+01 | 0.1130319E+01 |
| 0.1130029E+01 | 0.1129690E+01 | 0.1129337E+01 | 0.1128739E+01 | 0.1128141E+01 |
| 0.1127509E+01 | 0.1126872E+01 | 0.1126400E+01 | 0.1126011E+01 | 0.1125600E+01 |
| 0.1125160E+01 | 0.1124697E+01 | 0.1124167E+01 | 0.1123646E+01 | 0.1123312E+01 |
| 0.1122978E+01 | 0.1122681E+01 | 0.1122391E+01 | 0.1122020E+01 | 0.1121597E+01 |
| 0.1121159E+01 | 0.1120699E+01 | 0.1120255E+01 | 0.1119894E+01 | 0.1119532E+01 |
| 0.1119172E+01 | 0.1118813E+01 | 0.1118488E+01 | 0.1118176E+01 | 0.1117891E+01 |
| 0.1117635E+01 | 0.1117358E+01 | 0.1117011E+01 | 0.1116664E+01 | 0.1116374E+01 |
| 0.1116085E+01 | 0.1115866E+01 | 0.1115670E+01 | 0.1115447E+01 | 0.1115199E+01 |
| 0.1114965E+01 | 0.1114769E+01 | 0.1114573E+01 | 0.1114464E+01 | 0.1114355E+01 |
| 0.1114260E+01 | 0.1114170E+01 | 0.1114143E+01 | 0.1114184E+01 | 0.1114249E+01 |
| 0.1114403E+01 | 0.1114558E+01 | 0.1114642E+01 | 0.1114722E+01 | 0.1114696E+01 |
| 0.1114618E+01 | 0.1114569E+01 | 0.1114560E+01 | 0.1114571E+01 | 0.1114720E+01 |
| 0.1114869E+01 | 0.1115072E+01 | 0.1115284E+01 | 0.1115505E+01 | 0.1115733E+01 |
| 0.1115951E+01 | 0.1116140E+01 | 0.1116329E+01 | 0.1116668E+01 | 0.1117013E+01 |
| 0.1117437E+01 | 0.1117900E+01 | 0.1118327E+01 | 0.1118692E+01 | 0.1119060E+01 |
| 0.1119465E+01 | 0.1119869E+01 | 0.1120387E+01 | 0.1120940E+01 | 0.1121474E+01 |
| 0.1121984E+01 | 0.1122496E+01 | 0.1123024E+01 | 0.1123550E+01 | 0.1124207E+01 |
| 0.1124892E+01 | 0.1125530E+01 | 0.1126117E+01 | 0.1126695E+01 | 0.1127227E+01 |
| 0.1127759E+01 | 0.1128507E+01 | 0.1129297E+01 | 0.1130134E+01 | 0.1131017E+01 |
| 0.1131863E+01 | 0.1132523E+01 | 0.1133183E+01 | 0.1133825E+01 | 0.1134462E+01 |
| 0.1135119E+01 | 0.1135797E+01 | 0.1136446E+01 | 0.1136909E+01 | 0.1137372E+01 |
| 0.1137728E+01 | 0.1138054E+01 | 0.1138318E+01 | 0.1138497E+01 | 0.1138665E+01 |
| 0.1138670E+01 | 0.1138674E+01 | 0.1138676E+01 | 0.1138678E+01 | 0.1138617E+01 |
| 0.1138433E+01 | 0.1138249E+01 | 0.1137736E+01 | 0.1137211E+01 | 0.1136657E+01 |
| 0.1136083E+01 | 0.1135494E+01 | 0.1134846E+01 | 0.1134199E+01 | 0.1133412E+01 |
| 0.1132596E+01 | 0.1131835E+01 | 0.1131143E+01 | 0.1130453E+01 | 0.1129781E+01 |
| 0.1129109E+01 | 0.1128305E+01 | 0.1127433E+01 | 0.1126574E+01 | 0.1125746E+01 |
| 0.1124919E+01 | 0.1124258E+01 | 0.1123625E+01 | 0.1123000E+01 | 0.1122384E+01 |
| 0.1121769E+01 | 0.1121147E+01 | 0.1120526E+01 | 0.1119977E+01 | 0.1119469E+01 |
| 0.1118981E+01 | 0.1118565E+01 | 0.1118149E+01 | 0.1117793E+01 | 0.1117454E+01 |
| 0.1117121E+01 | 0.1116799E+01 | 0.1116478E+01 | 0.1116112E+01 | 0.1115744E+01 |
| 0.1115454E+01 | 0.1115238E+01 | 0.1115032E+01 | 0.1114954E+01 | 0.1114876E+01 |
| 0.1114758E+01 | 0.1114619E+01 | 0.1114487E+01 | 0.1114390E+01 | 0.1114293E+01 |
| 0.1114217E+01 | 0.1114148E+01 | 0.1114059E+01 | 0.1113923E+01 | 0.1113787E+01 |
| 0.1113701E+01 | 0.1113624E+01 | 0.1113572E+01 | 0.1113562E+01 | 0.1113551E+01 |

| | | | | |
|----------------|---------------|---------------|---------------|---------------|
| 0.1113535E+01 | 0.1113518E+01 | 0.1113498E+01 | 0.1113473E+01 | 0.1113449E+01 |
| 0.1113377E+01 | 0.1113304E+01 | 0.1113217E+01 | 0.1113115E+01 | 0.1113018E+01 |
| 0.1113117E+01 | 0.1113215E+01 | 0.1113412E+01 | 0.1113693E+01 | 0.1113968E+01 |
| 0.1114114E+01 | 0.1114261E+01 | 0.1114413E+01 | 0.1114570E+01 | 0.1114733E+01 |
| 0.1114986E+01 | 0.1115239E+01 | 0.1115454E+01 | 0.1115640E+01 | 0.1115821E+01 |
| 0.1115929E+01 | 0.1116036E+01 | 0.1116161E+01 | 0.1116299E+01 | 0.1116440E+01 |
| 0.1116665E+01 | 0.1116891E+01 | 0.1117136E+01 | 0.1117399E+01 | 0.1117661E+01 |
| 0.1118039E+01 | 0.1118417E+01 | 0.1118768E+01 | 0.1119090E+01 | 0.1119413E+01 |
| 0.1119686E+01 | 0.1119957E+01 | 0.1120289E+01 | 0.1120708E+01 | 0.1121126E+01 |
| 0.1121572E+01 | 0.1122022E+01 | 0.1122494E+01 | 0.1123010E+01 | 0.1123526E+01 |
| 0.1124226E+01 | 0.1124975E+01 | 0.1125732E+01 | 0.1126516E+01 | 0.1127299E+01 |
| 0.1127921E+01 | 0.1128469E+01 | 0.1129012E+01 | 0.1129529E+01 | 0.1130045E+01 |
| 0.1130640E+01 | 0.1131296E+01 | 0.1131951E+01 | 0.1132668E+01 | 0.1133386E+01 |
| 0.1134110E+01 | 0.1134844E+01 | 0.1135578E+01 | 0.1136249E+01 | 0.1136910E+01 |
| 0.1137570E+01 | 0.1138228E+01 | 0.1138885E+01 | 0.1139593E+01 | 0.1140322E+01 |
| 0.1141047E+01 | 0.1141738E+01 | 0.1142429E+01 | 0.1143119E+01 | 0.1143808E+01 |
| 0.1144497E+01 | 0.1145244E+01 | 0.1145996E+01 | 0.1146744E+01 | 0.1147484E+01 |
| 0.1148224E+01 | 0.1148894E+01 | 0.1149535E+01 | 0.1150161E+01 | 0.1150660E+01 |
| 0.1151159E+01 | 0.1151625E+01 | 0.1152056E+01 | 0.1152486E+01 | 0.1152885E+01 |
| 0.1153278E+01 | 0.1153659E+01 | 0.1153998E+01 | 0.1154338E+01 | 0.1154697E+01 |
| 0.1155070E+01 | 0.1155442E+01 | 0.1155862E+01 | 0.1156284E+01 | 0.1156674E+01 |
| 0.1157007E+01 | 0.1157340E+01 | 0.1157536E+01 | 0.1157677E+01 | 0.1157813E+01 |
| 0.1157875E+01 | 0.1157937E+01 | 0.1158000E+01 | 0.1158064E+01 | 0.1158129E+01 |
| 0.1158161E+01 | 0.1158184E+01 | 0.1158206E+01 | 0.1158227E+01 | 0.1158248E+01 |
| 0.1158270E+01 | 0.1158293E+01 | 0.1158316E+01 | 0.1158334E+01 | 0.1158352E+01 |
| 0.1158374E+01 | 0.1158430E+01 | 0.1158486E+01 | 0.1158527E+01 | 0.1158548E+01 |
| 0.1158568E+01 | 0.1158532E+01 | 0.1158477E+01 | 0.1158423E+01 | 0.1158383E+01 |
| 0.1158343E+01 | 0.1158336E+01 | 0.1158383E+01 | 0.1158430E+01 | 0.1158501E+01 |
| 0.1158582E+01 | 0.1158663E+01 | 0.1158718E+01 | 0.1158772E+01 | 0.1158767E+01 |
| 0.1158608E+01 | 0.1158450E+01 | 0.1158171E+01 | 0.1157801E+01 | 0.1157431E+01 |
| 0.1157167E+01 | 0.1156920E+01 | 0.1156691E+01 | 0.1156566E+01 | 0.1156440E+01 |
| 0.1156321E+01 | 0.1156211E+01 | 0.1156100E+01 | 0.1155944E+01 | 0.1155768E+01 |
| 0.1155592E+01 | 0.1155341E+01 | 0.1155087E+01 | 0.1154834E+01 | 0.1154582E+01 |
| 0.1154330E+01 | 0.1154042E+01 | 0.1153718E+01 | 0.1153394E+01 | 0.1153065E+01 |
| 0.1152735E+01 | 0.1152406E+01 | 0.1152094E+01 | 0.1151783E+01 | 0.1151447E+01 |
| 0.1151029E+01 | 0.1150612E+01 | 0.1150222E+01 | 0.1149863E+01 | 0.1149504E+01 |
| 0.1149189E+01 | 0.1148893E+01 | 0.1148597E+01 | 0.1148253E+01 | 0.1147906E+01 |
| 0.1147574E+01 | 0.1147308E+01 | 0.1147041E+01 | 0.1146809E+01 | 0.1146630E+01 |
| 0.1146450E+01 | 0.1146301E+01 | 0.1146171E+01 | 0.1146042E+01 | 0.1145996E+01 |
| 0.1145968E+01 | 0.1145943E+01 | 0.1146024E+01 | 0.1146105E+01 | 0.1146215E+01 |
| 0.1146420E+01 | 0.1146624E+01 | 0.1146929E+01 | 0.1147365E+01 | 0.1147801E+01 |
| 0.1148407E+01 | 0.1149112E+01 | 0.1149817E+01 | 0.1150550E+01 | 0.1151289E+01 |
| 0.1152028E+01 | 0.1152481E+01 | 0.1152933E+01 | 0.1153396E+01 | 0.1153906E+01 |
| 0.11544416E+01 | 0.1155080E+01 | 0.1156028E+01 | 0.1156974E+01 | 0.1158005E+01 |
| 0.1159112E+01 | 0.1160218E+01 | 0.1161308E+01 | 0.1162390E+01 | 0.1163472E+01 |
| 0.1164467E+01 | 0.1165445E+01 | 0.1166424E+01 | 0.1167269E+01 | 0.1168114E+01 |
| 0.1168944E+01 | 0.1169689E+01 | 0.1170433E+01 | 0.1171142E+01 | 0.1171764E+01 |
| 0.1172386E+01 | 0.1173025E+01 | 0.1173685E+01 | 0.1174346E+01 | 0.1174989E+01 |
| 0.1175618E+01 | 0.1176247E+01 | 0.1176650E+01 | 0.1176954E+01 | 0.1177257E+01 |
| 0.1177487E+01 | 0.1177700E+01 | 0.1177913E+01 | 0.1178183E+01 | 0.1178457E+01 |
| 0.1178727E+01 | 0.1178922E+01 | 0.1179116E+01 | 0.1179319E+01 | 0.1179567E+01 |

| | | | | |
|---------------|---------------|---------------|---------------|---------------|
| 0.1179815E+01 | 0.1180072E+01 | 0.1180356E+01 | 0.1180639E+01 | 0.1180882E+01 |
| 0.1181053E+01 | 0.1181225E+01 | 0.1181374E+01 | 0.1181495E+01 | 0.1181616E+01 |
| 0.1181831E+01 | 0.1182126E+01 | 0.1182420E+01 | 0.1182799E+01 | 0.1183227E+01 |
| 0.1183655E+01 | 0.1183964E+01 | 0.1184224E+01 | 0.1184483E+01 | 0.1184631E+01 |
| 0.1184747E+01 | 0.1184862E+01 | 0.1185021E+01 | 0.1185188E+01 | 0.1185354E+01 |
| 0.1185637E+01 | 0.1185932E+01 | 0.1186226E+01 | 0.1186507E+01 | 0.1186786E+01 |
| 0.1187060E+01 | 0.1186997E+01 | 0.1186934E+01 | 0.1186856E+01 | 0.1186571E+01 |
| 0.1186285E+01 | 0.1186003E+01 | 0.1185744E+01 | 0.1185486E+01 | 0.1185217E+01 |
| 0.1184888E+01 | 0.1184559E+01 | 0.1184240E+01 | 0.1183972E+01 | 0.1183703E+01 |
| 0.1183453E+01 | 0.1183277E+01 | 0.1183101E+01 | 0.1182904E+01 | 0.1182633E+01 |
| 0.1182362E+01 | 0.1182101E+01 | 0.1181872E+01 | 0.1181644E+01 | 0.1181401E+01 |
| 0.1181111E+01 | 0.1180821E+01 | 0.1180481E+01 | 0.1179989E+01 | 0.1179497E+01 |
| 0.1179058E+01 | 0.1178780E+01 | 0.1178503E+01 | 0.1178286E+01 | 0.1178258E+01 |
| 0.1178231E+01 | 0.1178216E+01 | 0.1178241E+01 | 0.1178267E+01 | 0.1178306E+01 |
| 0.1178393E+01 | 0.1178480E+01 | 0.1178526E+01 | 0.1178399E+01 | 0.1178272E+01 |
| 0.1178149E+01 | 0.1178048E+01 | 0.1177946E+01 | 0.1177886E+01 | 0.1178094E+01 |
| 0.1178302E+01 | 0.1178493E+01 | 0.1178526E+01 | 0.1178558E+01 | 0.1178577E+01 |
| 0.1178337E+01 | 0.1178097E+01 | 0.1177858E+01 | 0.1177756E+01 | 0.1177654E+01 |
| 0.1177553E+01 | 0.1177735E+01 | 0.1177934E+01 | 0.1178133E+01 | 0.1178305E+01 |
| 0.1178472E+01 | 0.1178640E+01 | 0.1178563E+01 | 0.1178432E+01 | 0.1178301E+01 |
| 0.1178061E+01 | 0.1177785E+01 | 0.1177509E+01 | 0.1177338E+01 | 0.1177219E+01 |
| 0.1177100E+01 | 0.1177087E+01 | 0.1177150E+01 | 0.1177212E+01 | 0.1177195E+01 |
| 0.1177100E+01 | 0.1177004E+01 | 0.1176839E+01 | 0.1176571E+01 | 0.1176303E+01 |
| 0.1176089E+01 | 0.1175996E+01 | 0.1175902E+01 | 0.1175839E+01 | 0.1175897E+01 |
| 0.1175954E+01 | 0.1175988E+01 | 0.1175780E+01 | 0.1175572E+01 | 0.1175364E+01 |
| 0.1175000E+01 | 0.1174632E+01 | 0.1174264E+01 | 0.1174052E+01 | 0.1173867E+01 |
| 0.1173682E+01 | 0.1173530E+01 | 0.1173391E+01 | 0.1173252E+01 | 0.1173138E+01 |
| 0.1173040E+01 | 0.1172943E+01 | 0.1172898E+01 | 0.1172917E+01 | 0.1172936E+01 |
| 0.1172924E+01 | 0.1172842E+01 | 0.1172760E+01 | 0.1172647E+01 | 0.1172366E+01 |
| 0.1172086E+01 | 0.1171806E+01 | 0.1171441E+01 | 0.1171076E+01 | 0.1170712E+01 |
| 0.1170523E+01 | 0.1170368E+01 | 0.1170214E+01 | 0.1170206E+01 | 0.1170271E+01 |
| 0.1170336E+01 | 0.1170359E+01 | 0.1170340E+01 | 0.1170320E+01 | 0.1170318E+01 |
| 0.1170355E+01 | 0.1170392E+01 | 0.1170435E+01 | 0.1170513E+01 | 0.1170592E+01 |
| 0.1170671E+01 | 0.1170674E+01 | 0.1170673E+01 | 0.1170671E+01 | 0.1170820E+01 |
| 0.1171024E+01 | 0.1171227E+01 | 0.1171386E+01 | 0.1171506E+01 | 0.1171627E+01 |
| 0.1171655E+01 | 0.1171490E+01 | 0.1171325E+01 | 0.1171179E+01 | 0.1171193E+01 |
| 0.1171206E+01 | 0.1171219E+01 | 0.1171430E+01 | 0.1171666E+01 | 0.1171901E+01 |
| 0.1172119E+01 | 0.1172329E+01 | 0.1172539E+01 | 0.1172742E+01 | 0.1172936E+01 |
| 0.1173130E+01 | 0.1173342E+01 | 0.1173630E+01 | 0.1173917E+01 | 0.1174205E+01 |
| 0.1174460E+01 | 0.1174712E+01 | 0.1174965E+01 | 0.1175237E+01 | 0.1175517E+01 |
| 0.1175797E+01 | 0.1176133E+01 | 0.1176543E+01 | 0.1176952E+01 | 0.1177347E+01 |
| 0.1177673E+01 | 0.1178000E+01 | 0.1178326E+01 | 0.1178533E+01 | 0.1178727E+01 |
| 0.1178921E+01 | 0.1179224E+01 | 0.1179590E+01 | 0.1179956E+01 | 0.1180430E+01 |
| 0.1181110E+01 | 0.1181790E+01 | 0.1182456E+01 | 0.1182900E+01 | 0.1183345E+01 |
| 0.1183789E+01 | 0.1183962E+01 | 0.1184052E+01 | 0.1184142E+01 | 0.1184351E+01 |
| 0.1184698E+01 | 0.1185044E+01 | 0.1185448E+01 | 0.1186166E+01 | 0.1186883E+01 |
| 0.1187600E+01 | 0.1188348E+01 | 0.1189102E+01 | 0.1189855E+01 | 0.1190551E+01 |
| 0.1191194E+01 | 0.1191837E+01 | 0.1192490E+01 | 0.1193182E+01 | 0.1193874E+01 |
| 0.1194565E+01 | 0.1195445E+01 | 0.1196352E+01 | 0.1197259E+01 | 0.1198207E+01 |
| 0.1199191E+01 | 0.1200175E+01 | 0.1201123E+01 | 0.1201922E+01 | 0.1202719E+01 |
| 0.1203517E+01 | 0.1204217E+01 | 0.1204898E+01 | 0.1205579E+01 | 0.1206278E+01 |

| | | | | |
|---------------|---------------|---------------|---------------|---------------|
| 0.1206997E+01 | 0.1207715E+01 | 0.1208417E+01 | 0.1209002E+01 | 0.1209587E+01 |
| 0.1210172E+01 | 0.1210851E+01 | 0.1211561E+01 | 0.1212270E+01 | 0.1213052E+01 |
| 0.1213953E+01 | 0.1214853E+01 | 0.1215753E+01 | 0.1216354E+01 | 0.1216952E+01 |
| 0.1217549E+01 | 0.1217989E+01 | 0.1218326E+01 | 0.1218663E+01 | 0.1218998E+01 |
| 0.1219329E+01 | 0.1219660E+01 | 0.1219991E+01 | 0.1220447E+01 | 0.1220931E+01 |
| 0.1221416E+01 | 0.1221907E+01 | 0.1222410E+01 | 0.1222912E+01 | 0.1223414E+01 |
| 0.1223732E+01 | 0.1224047E+01 | 0.1224362E+01 | 0.1224583E+01 | 0.1224730E+01 |
| 0.1224878E+01 | 0.1225029E+01 | 0.1225209E+01 | 0.1225390E+01 | 0.1225570E+01 |
| 0.1226023E+01 | 0.1226591E+01 | 0.1227158E+01 | 0.1227725E+01 | 0.1228291E+01 |
| 0.1228856E+01 | 0.1229421E+01 | 0.1229711E+01 | 0.1229939E+01 | 0.1230168E+01 |
| 0.1230401E+01 | 0.1230645E+01 | 0.1230889E+01 | 0.1231132E+01 | 0.1231347E+01 |
| 0.1231558E+01 | 0.1231769E+01 | 0.1232028E+01 | 0.1232349E+01 | 0.1232669E+01 |
| 0.1232990E+01 | 0.1233624E+01 | 0.1234270E+01 | 0.1234916E+01 | 0.1235642E+01 |
| 0.1236456E+01 | 0.1237269E+01 | 0.1238082E+01 | 0.1238467E+01 | 0.1238850E+01 |
| 0.1239232E+01 | 0.1239233E+01 | 0.1238854E+01 | 0.1238474E+01 | 0.1238095E+01 |